



**CÁLCULOS EM TEORIA DE TRANSPORTE DE NÊUTRONS DE DOIS GRUPOS,
COM ESPALHAMENTO ISOTRÓPICO E LINEARMENTE ANISOTRÓPICO**

Elizabete Jorge Passine

**DISSERTAÇÃO E TESE - IEA 086
IEA - DT - 086**

AGOSTO/1978

CONSELHO DELIBERATIVO

MEMBROS

Klaus Reinach — Presidente
Roberto D'Utra Vaz
Helcio Modesto da Costa
Ivano Humbert Marchesi
Admar Cervellini

PARTICIPANTES

Regina Elisabete Azevedo Beretta
Flávio Gori

SUPERINTENDENTE

Rômulo Ribeiro Pironi

**CÁLCULOS EM TEORIA DE TRANSPORTE DE NÊUTRONS DE DOIS GRUPOS,
COM ESPALHAMENTO ISOTRÓPICO E LINEARMENTE ANISOTRÓPICO**

Elisabete Jorge Pessine

Dissertação para obtenção do Título de "Mestre em Ciências e Tecnologias Nucleares" - Orientador Prof. Dr. Yuji Ishiguro. Apresentada e defendida em 10 de janeiro de 1977, à Escola Politécnica da Universidade de São Paulo.

Série DISSERTAÇÃO E TESE IEA

Nota: A redação, ortografia e conceitos são de responsabilidade dos autores.

ÍNDICE

	Página
1 – INTRODUÇÃO	1
1.2 – Estudos Anteriores	2
1.3 – Objetivo	4
2 – DESENVOLVIMENTO ANALÍTICO	4
2.1 – Introdução	4
2.2 – Solução da Equação de Transporte	4
2.3 – As Relações de Ortogonalidade	9
2.4 – Aplicações no Semi-Espaço, não Multiplicador	16
2.4.1 – Problema de Milne	16
2.4.2 – Problema da Fonte Constante	17
2.4.3 – Problema do Albedo	19
3 – CÁLCULO NUMÉRICO DOS CASOS ESTUDADOS	20
3.1 – Introdução	20
3.2 – Cálculo dos Autovalores Discretos	21
3.3 – Cálculo das Funções Matriciais	22
3.4 – Solução Numérica dos Casos Estudados	25
4 – RESULTADOS NUMÉRICOS E COMPARAÇÕES	27
4.1 – Introdução	27
4.2 – Parâmetros Básicos	27
4.3 – Soluções Numéricas	33
4.3.1 – Problema do Albedo	33
4.3.2 – Problema da Fonte Constante	57
4.3.3 – Problema de Milne	57
5 – CONCLUSÕES	66
APÊNDICE A – Função de Dispersão e Integrais de Normalização	68
APÊNDICE B – Relação dos Programas e Subprogramas Utilizados	71

	Página
APÊNDICE C – Listagens: Cálculo dos Autovalores, Funções Matriciais e Problema de Milne . . .	73
REFERÊNCIAS BIBLIOGRÁFICAS	109

ÍNDICE DAS FIGURAS

	Página
4-3.1 – Distribuição do Fluxo Angular, Albedo $\underline{F} = \begin{pmatrix} 1 \\ 0 \end{pmatrix}$, Grupo 1	36
4-3.2 – Distribuição do Fluxo Angular, Albedo $\underline{F} = \begin{pmatrix} 1 \\ 0 \end{pmatrix}$, Grupo 1	37
4-3.3 – Distribuição do Fluxo Angular, Albedo $\underline{F} = \begin{pmatrix} 1 \\ 0 \end{pmatrix}$, Grupo 1	38
4-3.4 – Distribuição do Fluxo Angular, Albedo $\underline{F} = \begin{pmatrix} 1 \\ 0 \end{pmatrix}$, Grupo 2	39
4-3.5 – Fluxo Total, Grupo 1, Albedo, $\underline{F} = \begin{pmatrix} 1 \\ 0 \end{pmatrix}$	40
4-3.6 – Corrente, Grupo 1, Albedo $\underline{F} = \begin{pmatrix} 1 \\ 0 \end{pmatrix}$	41
4-3.7 – Fluxo Total, Grupo 2, Albedo $\underline{F} = \begin{pmatrix} 1 \\ 0 \end{pmatrix}$	42
4-3.8 – Corrente, Grupo 2, Albedo $\underline{F} = \begin{pmatrix} 1 \\ 0 \end{pmatrix}$	43
4-3.9 – Fluxo Total, Grupo 1, Albedo $\underline{F} = \begin{pmatrix} 1 \\ 0 \end{pmatrix}$, Expansão P – 1	44
4-3.10 – Fluxo Total, Grupo 2, Albedo, $\underline{F} = \begin{pmatrix} 1 \\ 0 \end{pmatrix}$, Expansão P – 1	45
4-3.11 – Distribuição do Fluxo Angular, Albedo $\underline{F} = \begin{pmatrix} 1 \\ 0 \end{pmatrix}$, Grupo 1	47
4-3.12 – Distribuição do Fluxo Angular, Albedo $\underline{F} = \begin{pmatrix} 1 \\ 0 \end{pmatrix}$, Grupo 1	48
4-3.13 – Distribuição do Fluxo Angular, Albedo $\underline{F} = \begin{pmatrix} 1 \\ 0 \end{pmatrix}$, Grupo 2	49
4-3.14 – Distribuição do Fluxo Angular, Albedo $\underline{F} = \begin{pmatrix} 1 \\ 0 \end{pmatrix}$, Grupo 2	50
4-3.15 – Fluxo Total, Grupo 1, Albedo, $\underline{F} = \begin{pmatrix} 1 \\ 0 \end{pmatrix}$	51
4-3.16 – Fluxo Total, Grupo 2, Albedo, $\underline{F} = \begin{pmatrix} 1 \\ 0 \end{pmatrix}$	52
4-3.17 – Corrente, Grupo 1 – Albedo, $\underline{F} = \begin{pmatrix} 1 \\ 0 \end{pmatrix}$	53
4-3.18 – Corrente, Grupo 2 Albedo, $\underline{F} = \begin{pmatrix} 1 \\ 0 \end{pmatrix}$	54
4-3.19 – Fluxo Total, Grupo 1 Albedo, $\underline{F} = \begin{pmatrix} 1 \\ 0 \end{pmatrix}$ Expansão P – 1	55
4-3.20 – Fluxo Total, Grupo 2 Albedo, $\underline{F} = \begin{pmatrix} 1 \\ 0 \end{pmatrix}$ Expansão P – 1	56
4-3.21 – Fonte Constante, Distribuição do Fluxo Angular, Grupo 1	58
4-3.22 – Fonte Constante, Distribuição do Fluxo Angular, Grupo 1	59
4-3.23 – Fluxo Total, Grupo 1 Fonte Constante	60
4-3.24 – Corrente, Grupo 1 Fonte Constante	61
4-3.25 – Fluxo Total, Grupo 1 Fonte Constante, Expansão P – 1	62
4-3.26 – Milne Distribuição do Fluxo Angular, Grupo 1	63
4-3.27 – Fluxo Total, Grupo 1, Milne	64
4-3.28 – Corrente, Grupo 1, Milne	65

CÁLCULOS EM TEORIA DE TRANSPORTE DE NÊUTRONS DE DOIS GRUPOS, COM ESPALHAMENTO ISOTRÓPICO E LINEARMENTE ANISOTRÓPICO

Elisabete Jorge Pessine

RESUMO

Problemas típicos de semi-espaço, em teoria de transporte de nêutrons de dois grupos, são resolvidos numericamente através do método de expansão em autofunções singulares, assumindo espalhamento isotrópico e linearmente anisotrópico. *admitido-se*

Utilizando-se secções de choque de espalhamento isotrópico fornecidas por Metcalf e Zweifel apresentam-se os resultados numéricos para os problemas do Albedo, Milne e Fonte Constante para um semi-espaço de água leve pura considerando-se vários graus de anisotropia.

1- INTRODUÇÃO

Como é notório, a demanda futura de energia mobilizará recursos até hoje não exaustivamente utilizados. Sabe-se, também, que a quantidade de combustível fóssil, hoje responsável pela demanda quase completa de energia do mundo, é limitada; segundo cálculos mais otimistas, as reservas deste tipo de combustível, ao nível de crescimento de consumo energético atual, não durariam mais que meio século.

A energia provinda de combustíveis fósseis, na geração de energia elétrica, vem sendo substituída gradativamente, com sucesso, pela energia nuclear.

Assim, a importância do reator nuclear, como fonte de energia, já é hoje reconhecida e responderá no futuro pela maior parcela da energia mundial a ser consumida.

O conhecimento do comportamento dos nêutrons dentro de um reator nuclear constitui um dos requisitos fundamentais necessários ao desenvolvimento do sistema. Entretanto, tal comportamento (movimento, distribuição, ...) não foi ainda bem estabelecido, embora existam complexas teorias a respeito e numerosos reatores tenham sido projetados com sucesso.

À procura de sistemas cada vez mais eficientes, a tecnologia se desenvolve tornando-se mais complexa, exigindo detalhes específicos sobre a movimentação e distribuição da população neutrônica dentro dos reatores; torna-se, pois, imperativo obter soluções mais rigorosas da equação de transporte de nêutrons.

Entretanto, a estrutura das equações de transporte é bem diferente e mais complicada do que as de física matemática clássica; por conseguinte suas soluções só são possíveis para problemas bem simples ou situações ideais.

Porém, a teoria de transporte é capaz de fornecer soluções exatas para vários problemas básicos, apesar de ter aplicação restrita na engenharia nuclear, em cálculos práticos. O conhecimento das soluções teóricas pode ser utilizado como padrão de comparação entre os métodos aproximativos.

Aprovado para publicação em julho/1977.

Um reator nuclear é um sistema dinâmico composto de vários elementos de diferentes propriedades. Durante sua operação, devido às reações que nele ocorrem, sua composição varia com o tempo. A energia dos nêutrons dentro do sistema também é um parâmetro que varia, podendo-se ter ao mesmo tempo nêutrons desde altas energias, nêutrons de fissão, até nêutrons de energia em torno de alguns elétrons volt (eV). Nota-se pois, que um reator nuclear é um sistema complexo. Um modelo matemático que o descreva e produza soluções satisfatórias só é mesmo possível se se fizer ou simplificações ou tratá-lo como um sistema ideal. Dentre as várias filosofias existentes, preferiu-se neste trabalho, dedicar-se à obtenção de soluções exatas de problemas ideais, para melhor compreensão do reator nuclear; e que, aquelas soluções possam servir como base de teste entre os vários métodos aproximativos existentes.

Assim, quando se considera o reator nuclear operando sob condições normais, admitindo-se que as propriedades do sistema não se modificam, a dependência temporal da distribuição dos nêutrons pode ser desprezada.

Quanto à dependência energética dos nêutrons nas secções de choque, considera-se que os nêutrons pertencem a um intervalo selecionado de energia, como um grupo, e define-se secções de choque para cada grupo como uma idéia apropriada sobre a energia considerada.

Quanto ao comportamento da distribuição dos nêutrons, sabe-se que em geral o espalhamento é anisotrópico, porém, quando se trabalha com nêutrons de fissão, admite-se que sua emissão é isotrópica; e que o espalhamento de nêutrons lentos por núcleos pesados é aproximadamente isotrópico.

Deste modo, admitindo-se o espalhamento isotrópico consegue-se obter um significado real deste comportamento.

Entretanto, faz-se necessário que se aprofunde no estudo do comportamento da distribuição dos nêutrons quando se incorporam altos graus de espalhamento anisotrópico na teoria de transporte.

Assim, considera-se neste trabalho a teoria de transporte de nêutrons de dois grupos, independente do tempo, em geometria plana com espalhamento isotrópico e linearmente anisotrópico.

1.2 – Estudos Anteriores

Desde a identificação do nêutron verificada em 1932 por Chadwick, muitos trabalhos e pesquisas sobre o fenômeno de transporte dos nêutrons tiveram lugar entre 1932 e 1939, sendo a fissão evidenciada neste período.

Não foi, porém, antes de 2 de dezembro de 1942 que Enrico Fermi e colaboradores obtiveram êxito na produção de fissão contínua e auto-sustentada em uma pilha atômica.

A reação em cadeia de Fermi foi o evento que marcou o amanhecer da era nuclear.

Os primeiros trabalhos apresentados na teoria de transporte de nêutrons foram baseados em técnicas desenvolvidas para o estudo de problemas astrofísicos, uma vez que a equação de transporte de nêutrons de uma velocidade é matematicamente equivalente à equação que descreve a transferência radiativa cinzenta. Embora a maior parte dos primeiros trabalhos em teoria de transporte terem sido resolvidos através de métodos aproximativos, Chandrasekhar⁽⁷⁾ foi capaz de obter soluções exatas para vários problemas astrofísicos aplicando uma técnica baseada no princípio da invariância.

Um grande progresso foi alcançado, quando em 1960 Case⁽⁵⁾ introduziu a técnica de expansão em autofunções singulares, como um recurso da teoria de transporte para obter soluções rigorosas da equação de transporte de nêutrons de uma velocidade.

Este método é semelhante à aproximação de expansão em autofunções utilizada no estudo de problemas de contorno relacionado com equações diferenciais parciais.

Através dele é possível escrever a solução de um determinado problema numa soma linear dos modos normais da equação de transporte homogênea. Esta soma contém um conjunto de coeficientes de expansão arbitrários, que são determinados através de condições de contorno apropriadas.

A seguir, deve-se demonstrar que este conjunto de auto-funções é completo, sobre o intervalo da variável independente; e também deve-se estabelecer relações de ortogonalidade e normalização relativas àquele conjunto.

Estabelecidos estes conceitos, a solução de um determinado problema descrito através deste método é imediata.

Os primeiros pesquisadores a se utilizarem deste método na solução da equação de transporte em multigrupos foram: Zelazny e Kuzell⁽³⁴⁾ para um modelo de dois grupos, com espalhamento isotrópico e independente do tempo. Estes autores demonstraram o teorema da completividade estabelecendo que os modos normais são adequados para solucionar problemas de meio e infinito.

Mais tarde, Siewert e Zweifel^(28,29) estabeleceram de forma rigorosa o teorema da completividade tanto para o semi-intervalo como para o intervalo total, bem como as relações de ortogonalidade, obtendo soluções analíticas para um caso especial da equação de transporte de dois grupos (determinante da matriz de transferência nulo) aplicada no estudo de transferência radiativa.

Porém, devido às restrições sobre os parâmetros envolvidos, as soluções não são aplicáveis no caso do transporte de nêutrons.

Siewert e Shieh⁽²⁷⁾ demonstraram, para o problema de dois grupos com espalhamento isotrópico, a completividade no intervalo total e a ortogonalidade das autofunções, porém, seus resultados são somente aplicados em problemas de meio infinito.

Metcalf e Zweifel^(16,17) considerando problemas de semi-espaco, apresentaram resultados numéricos para os problemas de Milne e Fonte Constante assumindo espalhamento isotrópico e dois grupos.

Yoshimura e Katsuragi⁽³³⁾ aplicando Siewert et al⁽²⁷⁾, estenderam os estudos para o tratamento da equação de transporte em multi-grupos, demonstrando a completividade das auto-soluções através do uso da relação de ortogonalidade da solução adjunta.

Entretanto, a maior parte destes trabalhos são restritos ao espalhamento isotrópico e suas aplicações em problemas de transporte se tornam limitados, uma vez que não são demonstradas para o semi-intervalo a completividade e ortogonalidade das autofunções.

Deste modo, nos últimos anos procurou-se ampliar o estudo, investigando-se problemas de semi-espaco^(18-21,24) para multi-grupos incluindo os efeitos de espalhamento anisotrópico^(15,22,24,32). Estes trabalhos desenvolveram-se ora através do método de Case, ora através do princípio da invariância de Chandrasekhar em conjunto com o método de Case^(18,21).

Entretanto, foi no trabalho de Siewert⁽²⁵⁾ que se propôs uma nova técnica para tratar de problemas de semi-espaco em multigrupo. Através dele Siewert e Ishiguro⁽²⁶⁾, estabeleceram relações de ortogonalidade para o semi-espaco, num modelo de dois grupos e espalhamento isotrópico.

Embora, este trabalho fosse baseado no princípio da invariância, restrito a meios não multiplicadores, os trabalhos de Siewert, Burniston e Kriese⁽³⁰⁾ e Burniston, Mullikin e Siewert⁽⁴⁾

estabelecem que o teorema demonstrado por Ishiguro⁽²⁶⁾ pode ser colocado tanto para o caso de meio multiplicador ou não multiplicador em base matemática sólida⁽⁴⁾.

Através da mesma técnica, Ishiguro⁽⁹⁾ ampliou o estudo para um modelo de espalhamento anisotrópico.

Em outros trabalhos citados, utilizou-se de geometria plana; para outras geometrias (esférica) tem-se o trabalho de Schnatz⁽²³⁾ e Kaper⁽¹²⁾.

1.3 – Objetivo

Utilizando-se a teoria de transporte de nêutrons de dois grupos, o método de Case e as relações de ortogonalidade para semi-intervalo de Ishiguro, propõe-se obter resultados numéricos precisos para três problemas clássicos de transporte – Milne, Fonte Constante e Albedo – considerando-se espalhamento anisotrópico num sistema vácuo-água leve pura.

Embora vários problemas tenham sido resolvidos para o espalhamento isotrópico e resultados numéricos apresentados^(17,26,14) porém são pouco conhecidos os resultados numéricos quando se assume espalhamento anisotrópico^(9,10,1).

Os resultados obtidos por Bosler e Metcalf⁽¹⁾ são baseados na resolução de equações integrais singulares assim como os resultados de Metcalf e Zweifel⁽¹⁷⁾.

Acredita-se que com o atual desenvolvimento de modernos computadores, aquele tipo de encaminhamento possa realmente conduzir a resultados precisos e de rápida convergência.

Entretanto, preferiu-se conduzir os cálculos deste trabalho, a despeito da nova tecnologia, à resolução numérica de equações regulares convencionais, e mostrar que:

- a) realmente é possível, através do uso de relações de ortogonalidade⁽⁹⁾;
- b) o cálculo do sistema em que as equações são conduzidas é facilmente elaborado, fornecendo boa precisão e rápida convergência e,
- c) a obtenção através do esquema proposto, de resultados numéricos que possam ser utilizados em conjunto com os resultados dos diversos métodos aproximativos.

2 – DESENVOLVIMENTO ANALÍTICO

2.1 – Introdução

A partir do método de expansão em autofunções singulares estabelece-se a solução geral da equação de transporte de nêutrons de dois grupos com espalhamento anisotrópico.

Demonstra-se relações de ortogonalidade concernentes às soluções da equação de transporte e faz-se aplicações através de problemas clássicos da teoria de transporte.

2.2 – Solução Geral da Equação de Transporte

A equação de transporte de nêutrons de dois grupos, estacionária, com espalhamento anisotrópico com simetria azimutal para geometria plana.

$$\begin{aligned} \mu \frac{\partial}{\partial z} \psi_1(z, \mu) + \sigma_1 \psi_1(z, \mu) &= \int_{-1}^1 f_{11}(\mu, \mu') \psi_1(z, \mu') d\mu' \\ &+ \int_{-1}^1 f_{12}(\mu, \mu') \psi_2(z, \mu') d\mu' \end{aligned} \quad (2.2.1)$$

$$\begin{aligned} \mu \frac{\partial}{\partial z} \psi_2(z, \mu) + \sigma_2 \psi_2(z, \mu) &= \int_{-1}^1 f_{21}(\mu, \mu') \psi_1(z, \mu') d\mu' \\ &+ \int_{-1}^1 f_{22}(\mu, \mu') \psi_2(z, \mu') d\mu' \end{aligned} \quad (2.2.2)$$

$\psi_1(z, \mu)$ e $\psi_2(z, \mu)$ são os fluxos angulares nos grupos 1 e 2 respectivamente; σ_1 e σ_2 são as secções de choque total macroscópicas para cada grupo.

Considera-se o meio homogêneo e as funções de transferência $f_{ij}(\mu, \mu')$ para $i, j = 1, 2$ para quando se assume espalhamento linearmente anisotrópico fornecidas pela seguinte equação,

$$f_{ij} = \frac{1}{2} [\sigma_{ij}^{(0)} + \chi_i \bar{\nu}_j \sigma_{ij}^{(1)}] + \frac{3}{2} \sigma_{ij}^{(1)} \mu \mu' \quad (2.2.3)$$

$\sigma_{ij}^{(0)}$ e $\sigma_{ij}^{(1)}$ são as secções de choque de espalhamento macroscópicas que descrevem a transferência dos nêutrons do grupo j para o grupo i quando se toma os ter.nos de ordem 0 e 1 da função $f(\mu, \mu')$ expandida em polinômios de Legendre; $\sigma_{ij}^{(1)}$ representa a secção de choque de fissão macroscópica para o grupo j ; $\bar{\nu}_j$ é o número médio de nêutrons produzidos por fissão no grupo j e, χ_i representa a probabilidade que os nêutrons de fissão possuam energias no grupo i ($\chi_1 + \chi_2 = 1$).

Assume-se, sem restrições, que $\sigma_2 < \sigma_1$ e dividem-se as equações (2.2.1) e (2.2.2) por σ_2 . Define-se $\sigma = \sigma_1/\sigma_2$ e, fazendo-se uso de $x = \sigma_2 z$ escrevem-se as equações resultantes em uma forma matricial conveniente, a mesma utilizada na referência⁽²²⁾.

Deste modo tem-se:

$$\begin{aligned} \mu \frac{\partial}{\partial x} \Psi(x, \mu) + \Sigma \Psi(x, \mu) &= C \int_{-1}^1 \Psi(x, \mu') d\mu' \\ &+ \mu B \int_{-1}^1 \Psi(x, \mu') \mu' d\mu' \end{aligned} \quad (2.2.4)$$

A matriz Σ representa,

$$\Sigma = \begin{bmatrix} \sigma & 0 \\ 0 & 1 \end{bmatrix} \quad (2.2.5a)$$

O vetor fluxo angular, $\Psi(x, \mu)$ é definido como,

$$\Psi(x, \mu) = \begin{bmatrix} \psi_1(x, \mu) \\ \psi_2(x, \mu) \end{bmatrix} = \begin{bmatrix} \psi_1(\sigma_2 z, \mu) \\ \psi_2(\sigma_2 z, \mu) \end{bmatrix} \quad (2.2.5b)$$

e as matrizes das secções de choque macroscópicas de transferência por,

$$C = \begin{bmatrix} c_{11} & c_{12} \\ c_{21} & c_{22} \end{bmatrix}, \text{ de elementos } C_{ij} = \frac{1}{2\sigma_2} [\sigma_{ij}^{(0)} + \chi_i \bar{\nu}_j \sigma_{ij}^{(1)}], \quad (2.2.5c)$$

e

$$B = \begin{bmatrix} b_{11} & b_{12} \\ b_{21} & b_{22} \end{bmatrix}, \text{ de elementos } b_{ij} = \frac{3}{2\sigma_2} u_{ij}^{(1)}. \quad (2.2.5d)$$

Ter-se-á espalhamento isotrópico quando se tomar $b_{ij} = 0$.

Reith e Siewert⁽²²⁾ obtiveram um conjunto de auto-soluções da equação (2.2.4) apresentando, no intervalo total, as propriedades de completividade e ortogonalidade das soluções.

Ishiguro⁽⁹⁾ considerando o semi-intervalo estabeleceu a propriedade de ortogonalidade das soluções da equação (2.2.4).

A solução numérica dos problemas propostos neste trabalho, é obtido utilizando-se o mesmo formalismo e notação apresentados por Ishiguro⁽⁹⁾, visto tratar-se de problemas típicos de semi-espaço.

O método empregado é descrito sucintamente a seguir:

$$\mu \frac{\partial}{\partial x} \Psi(x, \mu) + \sum_{\mu'} \Psi(x, \mu) = Q(\mu) D \int_{-1}^1 \tilde{Q}(\mu') \Psi(x, \mu') d\mu', \quad (2.2.6)$$

onde se definem as matrizes $Q(\mu)$, (2 x 4) e D , (4 x 4) como sendo:

$$Q(\mu) = \begin{bmatrix} I & \mu I \end{bmatrix}, \quad (2.2.7)$$

sendo a matriz I unitária (2 x 2),

e

$$D = \begin{bmatrix} C & Q \\ Q & B \end{bmatrix}, \quad (2.2.8)$$

A solução que se propõe para a equação (2.2.6) é da seguinte forma;

$$\Psi(x, \mu) = F(\nu, \mu) \exp(-x/\nu). \quad (2.2.9)$$

Aplicando a equação (2.2.9) na equação (2.2.6) obtém-se a equação das autofunções após cancelar a dependência espacial,

$$\left[\sum - \frac{\mu}{\nu} I \right] \cdot F(\nu, \mu) = Q(\mu) D \Gamma(\nu) M(\nu), \quad (2.2.10)$$

onde se definiu:

$$\underline{M}(\nu) = \int_{-1}^1 \underline{E}(\nu, \mu) d\mu, \quad (2.2.11)$$

e

$$\underline{\Gamma}(\nu) = \left[\begin{array}{c} \underline{I} \\ \nu | \underline{\Sigma} - 2 \underline{C} | \end{array} \right]. \quad (2.2.12)$$

A solução da equação (2.2.10) é escrita como sendo,

$$\underline{F}(\nu, \mu) = \underline{E}(\nu, \mu) \underline{Q}(\mu) \underline{D} \underline{\Gamma}(\nu) \underline{M}(\nu), \quad (2.2.13)$$

onde

$$\underline{E}(\pm \nu, \mu) = \left[\begin{array}{cc} \nu_i & 0 \\ \sigma \nu_i \pm \mu & \nu_i \\ 0 & \nu_i \pm \mu \end{array} \right], \quad \pm \nu_i \notin (-1, 1), \quad i = 1, 2, \dots, \kappa, \quad (2.2.14a)$$

$$\underline{E}_\alpha^{(1)}(\nu, \mu) = \nu \underline{K}_\alpha(\nu, \mu) + \omega_\alpha^{(1)}(\nu) \delta(\nu, \mu), \quad \nu \in \left(-\frac{1}{\sigma}, \frac{1}{\sigma}\right) \text{ e} \quad (2.2.14b)$$

$$\alpha = 1, 2,$$

$$\underline{E}_\alpha^{(2)}(\nu, \mu) = \nu \underline{K}_\alpha(\nu, \mu) + \omega_\alpha^{(2)}(\nu) \delta(\nu, \mu), \quad \nu \in \left(-1, -\frac{1}{\sigma}\right) \cup \left(\frac{1}{\sigma}, 1\right), \quad (2.2.14c)$$

$$\underline{K}_\alpha(\nu, \mu) = \left[\begin{array}{cc} \frac{P}{\sigma \nu - \mu} & 0 \\ 0 & \frac{P}{\nu - \mu} \end{array} \right], \quad \delta_\alpha(\nu, \mu) = \left[\begin{array}{cc} \delta(\sigma \nu - \mu) & 0 \\ 0 & \delta(\nu - \mu) \end{array} \right], \quad (2.2.14d,e)$$

e pois, como foi observado por Siewert e Zweifel^(28,29), na solução da equação (2.2.10) três regiões devem ser consideradas: $\nu \notin (-1, 1)$, $\nu \in \left(-\frac{1}{\sigma}, \frac{1}{\sigma}\right)$ e $\nu \in \left(-1, -\frac{1}{\sigma}\right) \cup \left(\frac{1}{\sigma}, 1\right)$, e o símbolo P das equações (2.2.14) indica que as integrais deverão ser interpretadas através do significado de valor principal de Cauchy

Os autovalores discretos $\pm \nu_i$ são as raízes positivas da função de dispersão $\Lambda(z) = \det \underline{\Lambda}(z)$ onde,

$$\underline{\Lambda}(z) = \underline{I} + z \int_{-1}^1 \underline{\theta}(\mu) \underline{Q}^*(\mu) \frac{d\mu}{\mu - z} \underline{D} \underline{\Gamma}(z), \quad (2.2.15)$$

e o carácter (*) foi empregado para representar a mudança μ para $\sigma \mu$ na linha superior da matriz, assim:

$$\underline{Q}^*(\mu) = [\underline{I} \ \mu \ \Sigma] \quad (2.2.16)$$

Representa-se por z uma variável complexa; preferiu-se esta representação na equação (2.2.15) uma vez que as raízes desta equação podem ser real ou complexa⁽¹⁶⁾.

O vetor de normalização $\underline{M}(\pm \nu_i)$ deverá satisfazer;

$$\underline{\Lambda}(\pm \nu_i) \underline{M}(\pm \nu_i) = \underline{0} \quad (2.2.17)$$

e $\underline{\theta}(\mu)$ é definido por;

$$\underline{\theta}(\mu) = \begin{bmatrix} \theta(\mu) & 0 \\ 0 & 1 \end{bmatrix} \quad (2.2.18)$$

para $\theta(\mu) = 1$ se $\mu \in (-\frac{1}{\sigma}, \frac{1}{\sigma})$ e $\theta(\mu) = 0$ para valores fora daquele intervalo.

As funções $\omega_{\alpha}^{(1)}(\nu)$ e $\omega_{\alpha}^{(2)}(\nu)$ são obtidas, para o autovalor contínuo $\nu \in (-1, 1)$, através do seguinte requisito;

$$\det [\underline{\lambda}(\nu) - \omega(\nu) \underline{\theta}(\nu) \underline{Q}^*(\nu) \underline{D} \underline{\Gamma}(\nu)] = 0 \quad (2.2.19)$$

onde

$$\underline{\lambda}(\nu) = \underline{I} + \nu P \int_{-1}^1 \underline{\theta}(\mu) \underline{Q}^*(\mu) \frac{d\mu}{\mu - \nu} \underline{D} \underline{\Gamma}(\nu), \quad (2.2.20)$$

e os vetores de normalização correspondentes $\underline{M}_{\alpha}^{(1)}(\nu)$ e $\underline{M}^{(2)}(\nu)$ através de,

$$[\underline{\lambda}(\nu) - \omega_{\alpha}^{(1)}(\nu) \underline{\theta}(\nu) \underline{Q}^*(\nu) \underline{D} \underline{\Gamma}(\nu)] \underline{M}_{\alpha}^{(1)}(\nu) = \underline{0} \quad (2.2.21a)$$

e

$$[\underline{\lambda}(\nu) - \omega^{(2)}(\nu) \underline{\theta}(\nu) \underline{Q}^*(\nu) \underline{D} \underline{\Gamma}(\nu)] \underline{M}^{(2)}(\nu) = \underline{0} \quad (2.2.21b)$$

Reith e Siewert⁽²²⁾ demonstraram que as soluções estabelecidas constituem um conjunto completo para a expansão no intervalo total de funções arbitrarias de Hölder.

Deste modo a solução geral da equação (2.2.6) pode ser escrita como:

$$\begin{aligned} \Psi(x, \mu) = & \sum_{i=1}^{\kappa} [A(\nu_i) \underline{F}(\nu_i, \mu) \exp(-x/\nu_i) + A(-\nu_i) \underline{F}(-\nu_i, \mu) \\ & \exp(x/\nu_i)] + \int_0^{1/\sigma} [A_1^{(1)}(\nu) \underline{F}_1^{(1)}(\nu, \mu) + A_2^{(1)}(\nu) \underline{F}_2^{(1)}(\nu, \mu)] \exp(-x/\nu) d\nu \\ & + \int_{1/\sigma}^1 A^{(2)}(\nu) \underline{F}^{(2)}(\nu, \mu) \exp(-x/\nu) d\nu + \Psi_{\text{part}}(x, \mu), \\ & x \geq 0, \mu \in (1, 1), \end{aligned} \quad (2.2.22)$$

onde $A(\pm \nu_i)$, $A_1^{(1)}(\nu)$, $A_2^{(1)}(\nu)$ e $A^{(2)}(\nu)$ são coeficientes de expansão a serem determinados através de condições de contorno adequados e, κ representa o número de pares⁽²⁷⁾ de auto-valores discretos; $\Psi_{\text{part}}(x, \mu)$ é uma solução particular resultante de problemas a serem estudados (Capítulo 2.4).

Para completar esta parte seguem algumas considerações sobre a equação adjunta.

A equação adjunta é definida substituindo-se \bar{D} na equação (2.2.6) por \underline{D} e resolvida de maneira análoga à já exposta. Em particular, foi demonstrado⁽³¹⁾ que o espectro dos auto-valores da equação adjunta é idêntico ao da equação (2.2.6).

A partir deste ponto utilizar-se-á do índice 'a' para se referir a funções relacionadas com a equação adjunta.

2.3 – As Relações de Ortogonalidade

As relações de ortogonalidade de semi-intervalo das soluções da equação (2.2.22) foram obtidas de uma maneira formal através da técnica do "invariant imbedding".

Essas relações constituem a parte principal de todo o desenvolvimento analítico pois, é a partir de seu estabelecimento que se obtém certas funções matriciais, semelhantes às funções H de Chandrasekhar, sobre as quais é possível expressar os coeficientes de expansão da equação (2.2.22) e obter-se resultados numéricos exatos através de equações integrais regulares, evitando assim o cálculo dos coeficientes através de equações integrais singulares^(17,18,1).

Como foi observado, os coeficientes de expansão equação (2.2.22), devem ser determinados⁽⁹⁾ através de condições de contorno apropriadas.

Considerando-se um meio não multiplicador constituído de um semi-espaco, a solução para este sistema em geral pode ser escrita como,

$$\begin{aligned} \Psi(x, \mu) = & \sum_{i=1}^{\kappa} A(\nu_i) \underline{\psi}(\nu_i, \mu) \exp(-x/\nu_i) + \int_{1/\sigma}^1 A^{(2)}(\nu) \underline{\psi}^{(2)}(\nu, \mu) \exp(-x/\nu) d\nu \\ & + \int_0^{1/\sigma} [A_1^{(1)}(\nu) \underline{\psi}_1^{(1)}(\nu, \mu) + A_2^{(1)}(\nu) \underline{\psi}_2^{(1)}(\nu, \mu)] \exp(-x/\nu) d\nu + \Psi_p(x, \mu), \end{aligned} \quad (2.3.1)$$

onde $\Psi_p(x, \mu)$ representa uma solução particular correspondente a termos de fonte não homogêneas que devem existir e que devem conter, como no problema de Milne, um termo divergente (como $x \rightarrow \infty$).

Os coeficientes na equação (2.2.22) correspondentes aos autovalores negativos são tomados como zero a condição física de que a solução homogênea é finita. As autofunções Φ são as derivadas por Reith e Siewert e podem ser escritas explicitamente, enquanto as autofunções $F_{\alpha}^{(1)}(\nu, \mu)$ possuem em geral radicais, como;

$$\Phi_{\alpha}^{(1)}(\nu, \mu) = \begin{bmatrix} \nu \frac{P}{\sigma\nu - \mu} \Delta_{1\alpha}(\nu\mu) + \lambda_{1\alpha}(\nu) \delta(\sigma\nu - \mu) \\ \nu \frac{P}{\nu - \mu} \Delta_{2\alpha}(\nu\mu) + \lambda_{2\alpha}(\nu) \delta(\nu - \mu) \end{bmatrix}. \quad (2.3.2)$$

$\alpha = 1$ e 2 ,

onde $\Delta_{\alpha\beta}(\nu\mu)$ e $\lambda_{\alpha\beta}(\nu)$ representam os elementos das matrizes $\underline{\Delta}(\nu\mu) = \underline{C} + \nu\mu \underline{A}$ e $\underline{\lambda}(\nu)$.

Para os outros autovetores, normalizam-se as equações (2.2.14c) e (2.2.14a) para se obter;

$$\Phi^{(2)}(\nu, \mu) = \begin{bmatrix} \nu \frac{1}{\sigma\nu - \mu} [\Lambda_{11}(\nu)\Delta_{12}(\nu\mu) - \Lambda_{12}(\nu)\Delta_{11}(\nu\mu)] \\ \nu \frac{1}{\nu - \mu} [\Lambda_{11}(\nu)\Delta_{22}(\nu\mu) - \Lambda_{12}(\nu)\Delta_{21}(\nu\mu) + \lambda(\nu)\delta(\nu - \mu)] \end{bmatrix}. \quad (2.3.3)$$

$\nu \in (1/\sigma, 1)$,

e a solução discreta,

$$\Phi(\pm \nu, \mu) = \begin{bmatrix} \frac{\nu_1}{\sigma\nu_1 \pm \mu} [\Lambda_{11}(\nu_1)\Delta_{12}(\pm \nu, \mu) - \Lambda_{12}(\nu_1)\Delta_{11}(\pm \nu, \mu)] \\ \frac{\nu_1}{\nu_1 \pm \mu} [\Lambda_{11}(\nu_1)\Delta_{22}(\pm \nu, \mu) - \Lambda_{12}(\nu_1)\Delta_{21}(\pm \nu, \mu)] \end{bmatrix}. \quad (2.3.4)$$

onde $\Lambda_{\alpha\beta}(\xi)$, $\alpha, \beta = 1, 2$ são os elementos das matrizes $\underline{\Lambda}(\xi)$, $\xi = \pm \nu_1$ e $\underline{\lambda}(\xi)$, $\xi = \nu$; e $\lambda(\nu) = \det \underline{\lambda}(\nu)$.

Na referência⁽⁹⁾ estão resumidos os resultados finais sobre as relações de ortogonalidade.

Os coeficientes na equação (2.3.1) devem ser determinados através da condição de contorno na fronteira do meio, $x = 0$.

A condição de contorno pode, em geral, ser escrita na seguinte forma,

$$I(\mu) = \sum_{i=1}^{\kappa} A(\nu_i) \Phi(\nu_i, \mu)$$

$$\begin{aligned}
 & + \int_0^{1/\sigma} [A_1^{(1)}(\nu) \underline{\phi}_1^{(1)}(\nu, \mu) + A_1^{(2)}(\nu) \underline{\phi}_1^{(2)}(\nu, \mu)] d\nu \\
 & + \int_{1/\sigma}^1 A^{(2)}(\nu) \underline{\phi}^{(2)}(\nu, \mu) d\nu, \quad \mu \in (0, 1)
 \end{aligned} \tag{2.3.5}$$

$\underline{\theta}(\xi, \mu)$ é uma função conhecida, que deve possuir, dependendo do problema em estudo, uma solução particular, uma distribuição incidente específica.

Estabelecendo-se relações de ortogonalidade, procura-se obter as soluções da equação (2.3.5) na seguinte forma;

$$A(\nu_i) = \frac{1}{N(\nu_i)} [\underline{\theta}(\nu_i, \mu), \underline{1}(\mu)], \quad i = 1, 2, \dots, \kappa \tag{2.3.6a}$$

$$A_\alpha^{(1)}(\nu) = \frac{1}{N^{(1)}(\nu)} [\underline{\theta}_\alpha^{(1)}(\nu, \mu), \underline{1}(\mu)], \quad \nu \in (0, 1/\sigma), \alpha = 1, 2 \tag{2.3.6b}$$

e

$$A^{(2)}(\nu) = \frac{1}{N^{(2)}(\nu)} [\underline{\theta}^{(2)}(\nu, \mu), \underline{1}(\mu)], \quad \nu \in (1/\sigma, 1), \tag{2.3.6c}$$

onde (x, y) representa um produto interno apropriado, $N(\nu_i)$, $N^{(1)}(\nu)$ e $N^{(2)}(\nu)$ fatores de normalização e $\underline{\theta}(\xi, \mu)$ um vetor adjunto adequado.

Definem-se as matrizes (2×2) $\underline{\xi}(\mu, \mu')$, $h(\mu')$ e $l(\mu')$ para um semi-espaço $(x \geq 0)$, não multiplicador de fontes livres por;

$$\underline{\psi}(0, -\mu) = \frac{1}{2\mu} \int_0^1 \underline{\xi}(\mu, \mu') \underline{\psi}(0, \mu') d\mu', \quad \mu \in (0, 1) \tag{2.3.7}$$

$$\int_{-1}^1 \underline{\psi}(x, \mu) d\mu = \int_0^1 \tilde{h}(\mu) \underline{\psi}(x, \mu) d\mu, \tag{2.3.8}$$

e

$$\int_{-1}^1 \underline{\psi}(x, \mu) \mu d\mu = \int_0^1 \tilde{l}(\mu) \underline{\psi}(x, \mu) d\mu, \tag{2.3.9}$$

onde $\underline{\psi}(x, \mu)$ é uma solução de semi-espaço da equação (2.2.4).

Através do princípio da invariância⁽⁷⁾ e da reciprocidade da matriz $\underline{\xi}$ obtiveram-se as seguintes equações;

$$\tilde{h}(\mu) = \underline{1} + \frac{1}{2} \int_0^1 \underline{\xi}(\mu', \mu) \frac{d\mu'}{\mu'}, \tag{2.3.10a}$$

$$\bar{g}(\mu) = \mu \underline{1} - \frac{1}{2} \int_0^1 \underline{s}(\mu', \mu) d\mu', \quad (2.3.10b)$$

e

$$\frac{1}{\mu} \underline{\Sigma} \underline{s}(\mu, \mu_0) + \frac{1}{\mu_0} \underline{s}(\mu, \mu_0) \underline{\Sigma} = 2 \underline{\Phi}(\mu) \underline{D} \tilde{\Psi}(\mu_0), \quad (2.3.10c)$$

onde se definiram as seguintes matrizes (2 x 4),

$$\underline{\Psi}(\mu) = [\underline{h}_\sigma(\mu) \quad - \underline{g}_\sigma(\mu)], \quad (2.3.11a)$$

e

$$\underline{\Phi}(\mu) = [\underline{h}_\sigma(\mu) \quad - \underline{g}_\sigma(\mu)]. \quad (2.3.11b)$$

Definindo-se as seguintes matrizes;

$$\underline{S}(\mu, \mu_0) = \begin{bmatrix} s_{11}(\sigma\mu, \sigma\mu_0) & s_{12}(\sigma\mu, \mu_0) \\ s_{21}(\mu, \sigma\mu_0) & s_{22}(\mu, \mu_0) \end{bmatrix}, \quad (2.3.12a)$$

$$\underline{H}(\mu) = \begin{bmatrix} h_{11}(\sigma\mu) & h_{12}(\sigma\mu) \\ h_{21}(\mu) & h_{22}(\mu) \end{bmatrix}, \quad (2.3.12b)$$

e

$$\underline{L}(\mu) = \begin{bmatrix} l_{11}(\sigma\mu) & l_{12}(\sigma\mu) \\ l_{21}(\mu) & l_{22}(\mu) \end{bmatrix}, \quad (2.3.12c)$$

pode-se expressar a matriz \underline{S} da equação (2.3.10c) por;

$$\underline{S}(\mu, \mu_0) = \frac{2\mu\mu_0}{\mu + \mu_0} \underline{\Phi}^*(\mu) \underline{D} \tilde{\Psi}^*(\mu_0), \quad (2.3.13)$$

onde

$$\underline{\Psi}^*(\mu) = [\underline{H}(\mu) \quad \underline{L}(\mu)], \quad (2.3.14a)$$

e

$$\underline{\Phi}^*(\mu) = [\underline{H}_\alpha(\mu) \quad -\underline{L}_\alpha(\mu)]. \quad (2.3.14b)$$

As matrizes $\underline{\Psi}^*(\mu)$ e $\underline{\Phi}^*(\mu)$, $\mu \in (0,1)$ satisfazem as seguintes equações integrais regulares não lineares;

$$\underline{\Psi}^*(\mu) = \underline{Q}^*(\mu) + \mu \underline{\Psi}^*(\mu) \tilde{D} \int_0^1 \tilde{\Phi}^*(\mu') \underline{\theta}(\mu') \underline{Q}^*(-\mu') \frac{d\mu'}{\mu' + \mu} \quad (2.3.15a)$$

e

$$\underline{\Phi}^*(\mu) = \underline{Q}^*(-\mu) + \mu \underline{\Phi}^*(\mu) \tilde{D} \int_0^1 \tilde{\Psi}^*(\mu') \underline{\theta}(\mu') \underline{Q}^*(-\mu') \frac{d\mu'}{\mu' + \mu} \quad (2.3.15b)$$

As equações (2.3.15a,b) representam quatro equações acopladas em termos das matrizes $\underline{H}(\mu)$, $\underline{H}_\alpha(\mu)$, $\underline{L}(\mu)$ e $\underline{L}_\alpha(\mu)$.

Pode-se entretanto, através da equação (2.3.10a), obter-se equações integrais assim,

$$\begin{aligned} \underline{H}(\mu) = \underline{I} + \mu \underline{H}(\mu) \tilde{C} \int_0^1 \tilde{H}_\alpha(\mu') \underline{\theta}(\mu') \frac{d\mu'}{\mu' + \mu} \\ - \mu \underline{L}(\mu) \tilde{B} \int_0^1 \tilde{L}_\alpha(\mu') \underline{\theta}(\mu') \frac{d\mu'}{\mu' + \mu} \end{aligned} \quad (2.3.16a)$$

e de maneira análoga a adjunta,

$$\begin{aligned} \underline{H}_\alpha(\mu) = \underline{I} + \mu \underline{H}_\alpha(\mu) \underline{C} \int_0^1 \tilde{H}(\mu') \frac{d\mu'}{\mu' + \mu} \\ - \mu \underline{L}_\alpha(\mu) \underline{B} \int_0^1 \tilde{L}(\mu') \underline{\theta}(\mu') \frac{d\mu'}{\mu' + \mu} \end{aligned} \quad (2.3.16b)$$

Equações integrais similares às anteriores podem ser deduzidas para as matrizes $\underline{L}(\mu)$ e $\underline{L}_\alpha(\mu)$.

E, é possível demonstrar-se que as matrizes $\underline{H}(\mu)$, $\underline{H}_\alpha(\mu)$, $\underline{L}(\mu)$ e $\underline{L}_\alpha(\mu)$ estão relacionadas através das seguintes equações;

$$\mu \underline{H}(\mu) [\underline{I} - \tilde{C} \tilde{H}_\alpha] = \underline{L}(\mu) [\underline{\Sigma}^{-1} - \mu \tilde{B} \tilde{L}_\alpha] \quad (2.3.17a)$$

$$\mu \underline{H}_\alpha(\mu) [\underline{I} - \underline{C} \tilde{H}_\alpha] = \underline{L}_\alpha(\mu) [\underline{\Sigma}^{-1} - \mu \underline{B} \tilde{L}_\alpha] \quad (2.3.17b)$$

Onde se define o momento de ordem α da matriz $\underline{G}(\mu)$ por

$$\underline{G}_\alpha = \int_0^1 \underline{\theta}(\mu) \underline{G}(\mu) \mu^\alpha d\mu, \quad (2.3.18)$$

$$\text{para } \underline{G}(\mu) = \underline{H}(\mu), \underline{H}_a(\mu), \underline{L}(\mu) \text{ e } \underline{L}_a(\mu).$$

Através da equação (2.3.8) obtém-se uma equação integral singular da matriz \underline{H} ,

$$\underline{H}(\nu) \underline{\lambda}(\nu) = \underline{I} + \nu P \int_0^1 \underline{H}(\mu) \underline{\theta}(\mu) \underline{Q}^*(\mu) \frac{d\mu}{\mu - \nu} \underline{D} \underline{\Gamma}(\nu), \nu \in (0,1), \quad (2.3.19a)$$

e um vínculo discreto sobre \underline{H} ,

$$[\underline{I} + \nu_i \int_0^1 \underline{H}(\mu) \underline{\theta}(\mu) \underline{Q}^*(\mu) \frac{d\mu}{\mu - \nu_i} \underline{D} \underline{\Gamma}(\nu_i)] \underline{M}(\nu_i) = \underline{0} \quad (2.3.19b)$$

Para as demais matrizes, equações análogas podem ser deduzidas.

Considerando-se a matriz \underline{H} como função da variável complexa z , demonstra-se que ela (aplica-se também para as demais matrizes) é analítica e em qualquer ponto no corte do plano complexo de -1 à 0 ao longo do eixo real, exceto para $z = -\nu_i$, onde possui um polo simples.

Baseando-se nestas matrizes, Ishiguro⁽⁹⁾ demonstrou que a autofunção $\underline{\psi}(\xi, \mu)$, $\xi = \nu_i$ ou $\epsilon(0,1)$ é ortogonal no semi-intervalo $\mu \in (0,1)$ ao conjunto $\mathcal{Q}(\xi, \mu)$ de tal forma que,

$$\int_0^1 \underline{\tilde{\theta}}(\xi', \mu) \underline{\psi}(\xi, \mu) \mu d\mu = 0, \xi \neq \xi', \quad (2.3.20)$$

$$\xi, \xi' = \nu_i \text{ ou } \epsilon(0,1),$$

onde

$$\underline{\psi}(\xi, \mu) = [\xi \underline{K}(\xi, \mu) \underline{\Psi}(\mu) \underline{\tilde{\Omega}}_a(\xi) + \delta(\xi, \mu) \underline{\lambda}_a(\xi)] \underline{V}(\xi) \quad (2.3.21)$$

com a matriz $\underline{\Omega}_a(\xi)$ (4×3) definida pela equação

$$\underline{\Omega}_a(\xi) = \underline{\Gamma}_a(\xi) - \xi \int_0^1 \underline{\tilde{\psi}}^*(\mu) \underline{\theta}(\mu) \underline{Q}^*(\mu) \frac{d\mu}{\mu + \xi} \underline{\tilde{D}} \underline{\Gamma}_a(\xi) \quad (2.3.22)$$

O vetor $\underline{V}(\xi)$ da equação (2.3.21) é definido por

$$\underline{V}(\xi) = \begin{bmatrix} \Lambda_{a12}(\xi) \\ \Lambda_{a11}(\xi) \end{bmatrix}, \xi = \nu_i \text{ ou } \epsilon(1/0, 1) \quad (2.3.23a)$$

e

$$\underline{V}_1^{(1)}(\xi) = \begin{bmatrix} -N_{22}(\xi) \\ -N_{12}(\xi) \end{bmatrix}, \underline{V}_2^{(2)}(\xi) = \begin{bmatrix} -N_{21}(\xi) \\ N_{11}(\xi) \end{bmatrix}, \xi \in (0, 1/\sigma) \quad (2.3.23b,c)$$

e as funções $N_{\alpha\beta}(\xi)$ são calculadas na referência⁽²²⁾.

Uma vez estabelecido o teorema das autofunções no semi-espaco, é necessário que se determine relações de normalização (integrais)⁽⁶⁾ que permitem expressar todos os coeficientes de expansão que aparecem na equação (2.3.5) em termos de integrais da função de expansão $\underline{I}(\mu)$.

Ishiguro, na referência⁽⁹⁾ apresenta um resumo destas relações de normalização para o caso de semi-intervalo e intervalo total.

Assim, os coeficientes de expansão na equação (2.3.5) podem ser obtidos como,

$$A(\nu_i) = \frac{1}{N(\nu_i)} \int_0^1 \tilde{\theta}(\nu_i, \mu) \underline{I}(\mu) \mu d\mu \quad (2.3.24a)$$

$$A_\alpha^{(1)}(\nu) = \frac{1}{N^{(1)}(\nu)} \int_0^1 \tilde{\theta}_\alpha^{(1)}(\nu, \mu) \underline{I}(\mu) \mu d\mu, \quad \nu \in (0, 1/\sigma), \alpha = 1, 2, \quad (2.3.24b)$$

e

$$A^{(2)}(\nu) = \frac{1}{N^{(2)}(\nu)} \int_0^1 \tilde{\theta}^{(2)}(\nu, \mu) \underline{I}(\mu) \mu d\mu, \quad \nu \in (1/\sigma, 1) \quad (2.3.24c)$$

As integrais nestas equações podem ser obtidas, quando $\underline{I}(\mu)$ é uma função simples, em termos das matrizes H e de outras funções conhecidas. Por exemplo, se $\underline{I}(\mu) = \underline{\Psi}(-\xi, \mu)$, tem-se

$$\int_0^1 \tilde{\theta}(\xi', \mu) \underline{\Psi}(-\xi, \mu) \mu d\mu = \frac{\xi\xi'}{\xi + \xi'} \tilde{V}(\xi') \tilde{\Omega}_a(\xi') \underline{D} \underline{\Omega}(\xi) \underline{U}(\xi), \quad (2.3.25)$$

$$\xi, \xi' = \nu_i \text{ ou } \epsilon(0, 1),$$

onde o vetor $\underline{U}(\xi)$ é definido na referência⁽²²⁾ e a matriz (4 x 2), $\underline{\Omega}(\xi)$ por,

$$\underline{\Omega}(\xi) = \Gamma(-\xi) - \xi \int_0^1 \underline{\Psi}^*(\mu) \underline{\theta}(\mu) \underline{Q}^*(\mu) \frac{d\mu}{\mu + \xi} \underline{D} \Gamma(-\xi) \quad (2.3.26)$$

(Comparando-se com a equação (2.3.22), a definição da matriz $\underline{\Omega}_a(\xi)$ é uma exceção na regra que se estabeleceu para o índice 'a').

2.4 – Aplicações no Semi-Espaço, Não Multiplicador

Selecionaram-se três problemas típicos de semi-espço, Milne, Fonte Constante e Albedo – para por em prática o formalismo analítico estabelecido. A partir deste capítulo somente será considerado o caso de $\kappa = 1$.

2.4.1 – Problema de Milne

O problema de Milne consiste basicamente em se conhecer a distribuição de nêutrons em qualquer ponto de um semi-espço, contendo no infinito uma fonte responsável pelo fluxo de nêutrons, e que faz fronteira (convencionam-se $x = 0$) com o vácuo isento de fontes.

A solução deste problema, através da equação de transporte de dois grupos, deve satisfazer as seguintes condições de contorno;

$$\lim_{x \rightarrow \infty} \Psi(x, \mu) e^{-x/\nu_1} < \infty, \quad (2.4.1.1a)$$

e

$$\Psi(0, \mu) = 0, \quad \mu \in (0, 1) \quad (2.4.1.1b)$$

Seja pois a solução do problema de Milne, $\Psi_M(x, \mu)$;

$$\begin{aligned} \Psi_M(x, \mu) = & A(-\nu_1) \Phi(-\nu_1, \mu) e^{x/\nu_1} + A(\nu_1) \Phi(\nu_1, \mu) e^{-x/\nu_1} \\ & + \int_0^{1/\sigma} [A_1^{(1)}(\nu) \Phi_1^{(1)}(\nu, \mu) + A_2^{(1)}(\nu) \Phi_2^{(1)}(\nu, \mu)] e^{-x/\nu} d\nu \\ & + \int_{1/\sigma}^1 A^{(2)}(\nu) \Phi^{(2)}(\nu, \mu) e^{-x/\nu} d\nu, \quad x \geq 0, \quad \mu \in (0, 1) \end{aligned} \quad (2.4.1.2)$$

A solução (2.4.1.2) satisfaz a equação (2.2.4) e a condição de contorno dada pela (2.4.1.1a).

Impondo-se a normalização de $A(-\nu_1) = 1$, e aplicando a condição de contorno (2.4.1.1b) obtém-se

$$\begin{aligned} -\Phi(-\nu_1, \mu) = & A(\nu_1) \Phi(\nu_1, \mu) + \int_{1/\sigma}^1 A^{(2)}(\nu) \Phi^{(2)}(\nu, \mu) d\nu \\ & + \int_0^{1/\sigma} [A_1^{(1)}(\nu) \Phi_1^{(1)}(\nu, \mu) + A_2^{(1)}(\nu) \Phi_2^{(1)}(\nu, \mu)] d\nu, \\ & \mu \in (0, 1) \end{aligned} \quad (2.4.1.3)$$

Multiplicando-se a equação (2.4.1.3) por $\tilde{\mu} \tilde{\Phi}(\nu_1, \mu)$ e integrando sobre μ no intervalo de 0 a 1, obtém-se através do teorema da ortogonalidade no semi-intervalo (ver equação (2.3.25)). O coeficiente de expansão discreto, utilizando-se as equações (2.3.24a,b,c),

$$A(\nu_1) = -\frac{\nu_1}{2} \frac{1}{N(\nu_1)} \tilde{V}(\nu_1) \tilde{\Omega}_a(\nu_1) \underline{D} \tilde{\Omega}(\nu_1) \underline{U}(\nu_1) \quad (2.4.1.4)$$

e pelo mesmo procedimento obtém-se,

$$A_\alpha^{(1)}(\nu) = -\frac{\nu\nu_1}{\nu_1 + \nu} \cdot \frac{1}{N^{(1)}(\nu)} \tilde{V}_\alpha^{(1)}(\nu) \tilde{\Omega}_a(\nu) \underline{D} \tilde{\Omega}(\nu_1) \underline{U}(\nu_1),$$

$$\nu \in (0, 1/\sigma), \quad \alpha = 1, 2, \quad (2.4.1.5)$$

$$A^{(2)}(\nu) = -\frac{\nu\nu_1}{\nu_1 + \nu} \cdot \frac{1}{N^{(2)}(\nu)} \tilde{V}^{(2)}(\nu) \tilde{\Omega}_a(\nu) \underline{D} \tilde{\Omega}(\nu_1) \underline{U}(\nu_1),$$

$$\nu \in (1/\sigma, 1), \quad (2.4.1.6)$$

onde

$$\underline{U}(\nu_1) = \begin{bmatrix} -\Lambda_{12}(\nu_1) \\ \Lambda_{11}(\nu_1) \end{bmatrix}, \quad (2.4.1.7)$$

e as funções $N(\nu_1)$, $N^{(1)}(\nu)$ e $N^{(2)}$ são as integrais de normalização estabelecidas na referência⁽²²⁾.

Determinados os coeficientes de expansão, a distribuição do fluxo angular em cada grupo é facilmente obtida através da equação (2.4.1.2).

Define-se a distância de extrapolação $-z_0$ - à distância da interface na qual a componente assintótica do fluxo escalar $(\psi(x) = \int_{-1}^1 \Psi(x, \mu) d\mu)$ se anula.

A distância de extrapolação é obtida através da equação (2.4.1.2) quando se abandona a contribuição contínua.

Assim,

$$z_0 = -\frac{1}{2} \nu_1 \ln |A(\nu_1)|. \quad (2.4.1.8)$$

onde $A(\nu_1)$ é o coeficiente discreto definido pela equação (2.4.1.4).

2.4.2 - Problema da Fonte Constante

O problema da Fonte Constante é representado por um sistema vácuo-meio, que contém fontes isotrópicas de intensidade constantes distribuídas através do meio.

Considera-se a seguinte equação de dois grupos;

$$\mu \frac{\partial}{\partial x} \underline{\Psi}(x, \mu) + \underline{\Sigma} \underline{\Psi}(x, \mu) = \underline{C} \int_{-1}^1 \underline{\Psi}(x, \mu') d\mu' + \mu \underline{B} \int_{-1}^1 \underline{\Psi}(x, \mu') \mu' d\mu' + \underline{S}, \quad (2.4.2.1)$$

onde \underline{S} é um vetor constante conhecido.

A solução que se procura obter para o problema da Fonte Constante deve satisfazer a equação (2.4.2.1) e a seguinte condição de contorno,

$$\underline{\Psi}_c(0, \mu) = \underline{0}, \quad \mu \in (0, 1) \quad (2.4.2.2)$$

Seja pois a solução que satisfaz (2.4.2.1),

$$\begin{aligned} \underline{\Psi}_c(x, \mu) = & A(\nu_1) \underline{\Phi}(\nu_1, \mu) e^{-x/\nu_1} + \int_{1/\sigma}^1 A^{(2)}(\nu) \underline{\Phi}^{(2)}(\nu, \mu) e^{-x/\nu} d\nu \\ & + \int_0^{1/\sigma} [A_1^{(1)}(\nu) \underline{\Phi}_1^{(1)}(\nu, \mu) + A_2^{(1)}(\nu) \underline{\Phi}_2^{(1)}(\nu, \mu)] e^{-x/\nu} d\nu \\ & + \underline{\Psi}_{\text{part}}(x, \mu), \quad \kappa = 1, \end{aligned} \quad (2.4.2.3)$$

$$\text{onde } \underline{\Psi}_{\text{part}}(x, \mu) = [\underline{\Sigma} - 2\underline{C}]^{-1} \cdot \underline{S}, \quad (2.4.2.4)$$

é a solução particular exigida pela equação (2.4.2.1).

Aplicando-se a condição de contorno (2.4.2.2) na equação (2.4.2.3) obtém-se,

$$\begin{aligned} \underline{\Psi}_{\text{part}}(0, \mu) = & A(\nu_1) \underline{\Phi}(\nu_1, \mu) + \int_{1/\sigma}^1 A^{(2)}(\nu) \underline{\Phi}^{(2)}(\nu, \mu) d\nu \\ & + \int_0^{1/\sigma} [A_1^{(1)}(\nu) \underline{\Phi}_1^{(1)}(\nu, \mu) + A_2^{(1)}(\nu) \underline{\Phi}_2^{(1)}(\nu, \mu)] d\nu, \end{aligned} \quad (2.4.2.5)$$

Fazendo $\underline{\theta}(\mu) = -\underline{\Psi}_{\text{part}}(0, \mu)$ na equação (2.3.27a) obtém-se,

$$\begin{aligned} A(\nu_1) = & - \frac{1}{N(\nu_1)} \underline{U}_a(\nu_1) \underline{\tilde{\Omega}}_a(\nu_1) \underline{D} \int_0^1 \underline{\tilde{\Psi}}^*(\mu) \underline{\theta}(\mu) \frac{\mu}{\nu_1 - \mu} d\mu \\ & + \underline{\Sigma} \underline{\Psi}_{\text{part}}(0, \mu) \end{aligned} \quad (2.4.2.6)$$

que reduz a,

$$A(\nu_1) = - \frac{1}{N(\nu_1)} \bar{U}_a(\nu_1) \bar{\Omega}_a(\nu_1) [\underline{0} \ \underline{1}]^T [\underline{\Sigma} - 2\underline{C}]^{-1} \underline{S}, \quad (2.4.2.7)$$

após manipulações algébricas e uso da equação (2.3.15b).

De maneira análoga, obtém-se os coeficientes para $\nu \in (0,1)$,

$$A(\nu) = - \frac{1}{N(\nu)} \bar{V}(\nu) \bar{\Omega}_a(\nu) [\underline{0} \ \underline{1}]^T [\underline{\Sigma} - 2\underline{C}]^{-1} \underline{S}, \quad (2.4.2.8)$$

onde se emprega o índice T para representar a operação de transposição matricial.

2.4.3 – Problema do Albedo

O problema do Albedo é representado por um semi-espaço adjacente ao vácuo com uma fronteira plana em $x=0$, possuindo no interior do vácuo uma fonte uniforme de nêutrons que atravessam a superfície em $x=0$.

A solução proposta a este problema que satisfaça a equação (2.2.4) e se anule quando $x \rightarrow \infty$, deve estar sujeita à seguinte condição de contorno,

$$\Psi(0, \mu) = F, \quad \mu \in (0,1), \quad (2.4.3.1)$$

onde \underline{F} é um vetor constante conhecido.

A solução $\underline{\Psi}_0(x, \mu)$ pode então ser escrita como,

$$\begin{aligned} \underline{\Psi}_0(x, \mu) = & A(\nu_1) \underline{\psi}(\nu_1, \mu) e^{-x/\nu_1} + \int_0^{1/\sigma} [A_1^{(1)}(\nu) \underline{\psi}_1^{(1)}(\nu, \mu) + A_2^{(1)}(\nu) \underline{\psi}_2^{(1)}(\nu, \mu)] e^{-x/\nu} d\nu \\ & + \int_{1/\sigma}^1 A^{(2)}(\nu) \underline{\psi}^{(2)}(\nu, \mu) e^{-x/\nu} d\nu, \quad x \geq 0, \quad \mu \in (-1,1) \end{aligned} \quad (2.4.3.2)$$

Fazendo-se uso da condição de contorno (2.4.3.1) tem-se;

$$\begin{aligned} \underline{F} = & A(\nu_1) \underline{\psi}(\nu_1, \mu) + \int_0^{1/\sigma} [A_1^{(1)}(\nu) \underline{\psi}_1^{(1)}(\nu, \mu) + A_2^{(1)}(\nu) \underline{\psi}_2^{(1)}(\nu, \mu)] d\nu \\ & + \int_{1/\sigma}^1 A^{(2)}(\nu) \underline{\psi}^{(2)}(\nu, \mu) d\nu, \quad \mu \in (0,1) \end{aligned} \quad (2.4.3.3)$$

Aplicando-se a equação (2.4.3.3) por $\mu \bar{Q}(\xi, \mu)$ e em seguida integrando em μ no intervalo de 0 a 1, obtém-se os coeficientes de expansão de maneira análoga ao problema anterior.

$$A(\nu_1) = - \frac{1}{N(\nu_1)} \bar{U}_a(\nu_1) \bar{\Omega}_a(\nu_1) [\underline{0} \ \underline{1}]^T \underline{F}, \quad (2.4.3.4a)$$

$$A_{\alpha}^{(1)}(\nu) = \frac{1}{N^{(1)}(\nu)} \tilde{V}_c^{(1)}(\nu) \tilde{\Omega}_a(\nu) [\underline{0} \ \underline{1}]^T E, \quad (2.4.3.4b)$$

e

$$A^{(2)}(\nu) = \frac{1}{N^{(2)}(\nu)} \tilde{V}^{(2)}(\nu) \tilde{\Omega}_a(\nu) [\underline{0} \ \underline{1}]^T E. \quad (2.4.3.4c)$$

Define-se o Albedo β para o problema do Albedo como sendo a razão entre a corrente de nêutrons que retornam do meio através da fronteira e a corrente que penetra no meio,

$$\beta = \int_0^1 \underline{\Psi}_a(0, -\mu) \mu d\mu / [\underline{1}]^T \int_0^1 \underline{\Psi}(0, \mu) \mu d\mu \quad (2.4.3.5)$$

3 – CÁLCULO NUMÉRICO DOS CASOS ESTUDADOS

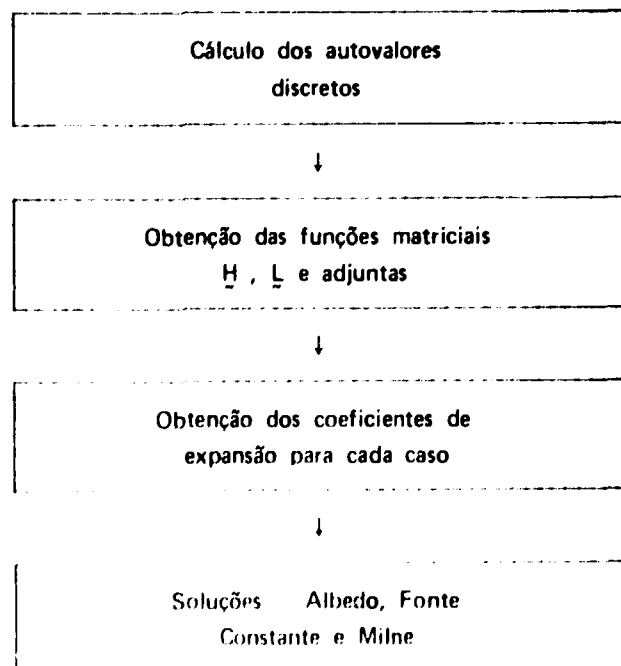
3.1 – Introdução

O propósito deste capítulo é mostrar o tratamento numérico empregado na resolução dos problemas propostos neste trabalho.

Serão apresentadas as principais etapas do desenvolvimento numérico e as simplificações efetuadas, quando necessárias, para os termos que envolvem integrais quando da avaliação da distribuição do fluxo angular, fluxo total (escalar) e da corrente.

Para todos os casos estudados utilizou-se do computador IBM 370/155 do Instituto de Energia Atômica do Estado de São Paulo. Os programas digitais utilizados são escritos em linguagem Fortran IV e em dupla precisão.

As etapas efetuadas podem ser seguidas através do seguinte fluxograma:



3.2 – Cálculo dos Autovalores Discretos

Através do método desenvolvido por Burniston e Siewert⁽²⁾, Ishiguro⁽⁹⁾ estabeleceu, com todo o necessário rigor matemático uma equação que permite obter o par de autovalores discretos.

Seja a equação de obtenção destes parâmetros,

$$\nu_i^2 = 1 + 2 \exp \left[-\frac{2}{\pi} \int_0^1 \arg \Lambda^*(\mu) \frac{\mu}{\mu^2 + 1} d\mu \right] \Lambda(i) \Lambda^{-1}(\infty), \kappa = 1, \quad (3.2.1)$$

onde $\Lambda(z) = \det \underline{\Lambda}(z)$ explicitado pela equação (A.7),

$$\underline{\Lambda}(\infty) = \lim_{z \rightarrow \infty} \underline{\Lambda}(z) = \underline{I} - 2 \underline{\Sigma}^{-1} \left[\underline{C} + \frac{1}{3} \underline{\Sigma}^{-1} \underline{A} \right] \quad (3.2.2)$$

Na avaliação numérica dos autovalores empregou-se o método de Quadraturas de Gauss^(7,8) para se calcular numericamente a integral da equação que os define.

Deste modo pode-se expressar a integral como,

$$\int_0^1 f(x) dx = \sum_{i=1}^N \omega_i f(x_i), \quad (3.2.3)$$

onde os parâmetros x_i e ω_i (nós e pesos respectivamente) para N pontos de quadraturas estão tabelados em manuais de funções matemáticas.

O intervalo de integração (0,1) da função $\arg \Lambda^*(\mu)$ foi subdividido em sete intervalos, [0,0, 0.6], [0.6, 1/σ - 0.01], [1/σ - 0.01, 1/σ], [1/σ, 0.85], [0.85, 0.90], [0.90, 0.995], e [0.995, 1] pois apesar da função $\arg \Lambda^*(\mu)$ ser contínua no intervalo de $\mu \in (0,1)$ ⁽⁶⁾ ela apresenta um alto gradiente para pontos próximos de $\mu = 1/\sigma$ e $\mu = 1$.

Para cada intervalo de integração utilizaram-se vinte pontos de quadratura.

Os autovalores são então calculados através de um conjunto de equações algébricas que compõe a equação (3.2.1).

Obtidos os autovalores, vários testes são efetuados para verificar sua precisão.

Finalmente o resultado obtido é refinado iterativamente baseando-se no método de Newton-Raphson de tal modo que,

$$\nu_{i(\alpha+1)} = \nu_{i\alpha} - \frac{\Lambda(\nu_{i\alpha})}{\Lambda'(\nu_{i\alpha})}, \quad (3.2.4)$$

onde $\Lambda'(\nu_{i\alpha})$ é a derivada da função de dispersão e $\nu_{i\alpha}$ é o valor que ν_i assume após a α -ésima iteração.

A precisão que se obtém após três iterações é de doze algarismos significativos

3.3 – Cálculo das Funções Matriciais

Baseando-se no trabalho de Kriese e Siewert⁽¹³⁾, Ishiguro⁽⁹⁾ estabeleceu a partir das equações resultantes para as funções matriciais \underline{H} (capítulo 2.3), um conjunto de equações integrais acopladas, de rápida convergência, destinadas ao cálculo numérico destas funções.

O desenvolvimento, para o espalhamento anisotrópico, considera os casos de $\kappa = 1$ e $\kappa = 2$, embora para o espalhamento anisotrópico não esteja ainda determinado o número máximo de pares de autovalores discretos (raízes da equação de dispersão).

Sejam as equações obtidas;

$$\begin{aligned} \underline{H}_0^{-1}(\mu) = & \underline{I} - \mu \underline{C} \left[\int_0^1 \underline{\tilde{H}}(\mu') \underline{\theta}(\mu') \underline{K}(\mu') \frac{d\mu'}{\mu' + \mu} + \underline{P}(\mu) \right] \underline{R}(\mu) \\ & + \mu^2 \underline{S}(\mu) \left[\int_0^1 \underline{\tilde{L}}(\mu') \underline{\theta}(\mu') \underline{K}(\mu') \frac{d\mu'}{\mu' + \mu} + \underline{Q}(\mu) \right] \underline{R}(\mu), \end{aligned} \quad (3.3.1)$$

$$\begin{aligned} \underline{H}_0^{-1}(\mu) = & \underline{I} - \mu \underline{C}_0 \left[\int_0^1 \underline{\tilde{H}}_0(\mu') \underline{\theta}(\mu') \underline{K}_0(\mu') \frac{d\mu'}{\mu' + \mu} + \underline{P}_0(\mu) \right] \underline{R}_0(\mu) \\ & + \mu^2 \underline{S}_0(\mu) \left[\int_0^1 \underline{\tilde{L}}_0(\mu') \underline{\theta}(\mu') \underline{K}_0(\mu') \frac{d\mu'}{\mu' + \mu} + \underline{Q}_0(\mu) \right] \underline{R}_0(\mu) \end{aligned} \quad (3.3.2)$$

Para as equações acima foram definidas as seguintes identidades,

$$\begin{aligned} \underline{P}(\mu) = & \frac{\nu_1 - 1}{\nu_1 + \mu} \left[\underline{I} + \nu_1^2 \underline{\tilde{H}}_0 \underline{\Sigma} \underline{A} \right] \left[\underline{U}(\nu_1) \quad \underline{0} \right] \\ & + (\kappa - 1) \frac{\nu_2 - 1}{\nu_2 + \mu} \left[\underline{I} + \nu_2^2 \underline{\tilde{H}}_0 \underline{\Sigma} \underline{A} \right] \left[\underline{0} \quad \underline{U}(\nu_2) \right], \end{aligned} \quad (3.3.3)$$

$$\begin{aligned} \underline{Q}(\mu) = & \frac{\nu_1 - 1}{\nu_1 + \mu} \left[\nu_1 \left[\underline{\Sigma} - 2\underline{C} \right] + \nu_1^2 \underline{\tilde{L}}_0 \underline{\Sigma} \underline{A} \right] \left[\underline{U}(\nu_1) \quad \underline{0} \right] \\ & + (\kappa - 1) \frac{\nu_2 - 1}{\nu_2 + \mu} \left[\nu_2 \left[\underline{\Sigma} - 2\underline{C} \right] + \nu_2^2 \underline{\tilde{L}}_0 \underline{\Sigma} \underline{A} \right] \left[\underline{0} \quad \underline{U}(\nu_2) \right], \end{aligned} \quad (3.3.4)$$

$$\underline{R}(\mu) = \underline{\Delta}^{-1}(\mu) \underline{V}^{-1}, \quad (3.3.5)$$

$$\underline{K}(\mu) = \underline{V}^{-1}(\mu) \underline{V}, \quad (3.3.6)$$

onde

$$\underline{\Delta}(\mu) = \begin{bmatrix} \frac{\nu_1(1+\mu)}{\nu_1 + \mu} & 0 \\ 0 & 1 \end{bmatrix}, \quad \kappa = 1 \quad (3.3.7a)$$

e

$$\underline{V}(\mu) = \left[\left[\underline{C} + \nu_1^2 \underline{\Sigma} \underline{A} \right] \underline{U}(\nu_1) \begin{bmatrix} 0 \\ 1 \end{bmatrix} \right], \quad \kappa = 1. \quad (3.3.7b)$$

e

$$\underline{S}(\mu) = \left[\underline{I} - \underline{C} \underline{H}_0 \right] \left[\underline{\Sigma}^{-1} - \mu \underline{B} \underline{L}_0 \right]^{-1} \underline{B} \quad (3.3.8)$$

As matrizes \underline{H} , \underline{L} e adjuntas são calculadas iterativamente através do conjunto de equações acima definidos e das equações (2.3.13a,b) para cada ponto μ ; do intervalo (0,1).

Obtém-se após cada iteração (α), o valor máximo δ , das diferenças sucessivas entre os valores dos elementos de cada matriz.

Ou seja;

$$\delta = \text{máximo} \{ \delta_i, i = 1, 2, \dots, 2N \}, \quad (3.3.9a)$$

onde

$$\delta_i = \sum_{j=1}^2 \sum_{k=1}^2 \left| G_{jk(\alpha+1)}(\mu_i) - G_{jk\alpha}(\mu_i) \right| \quad (3.3.9b)$$

com G_{jk} representando os elementos de cada matriz.

A iteração termina quando δ se torna menor do que um valor ϵ desejado.

Para verificar a precisão dos resultados obtidos, faz-se uso de várias identidades analíticas, às quais as funções matriciais obedecem.

$$a) \left| \det \underline{H}^{-1}(-\nu_1) \right| = 0 \quad (3.3.10)$$

Para esta verificação criou-se a subrotina S H I, Apêndice B.

b) Vínculos discretos das matrizes \underline{H} e \underline{L}

1) $\underline{H}(\mu)$

$$\nu_1 \int_0^1 \underline{\tilde{H}}(\mu') \underline{\theta}(\mu') \frac{d\mu'}{\nu_1 + \mu'} [\underline{C} + \nu_1^2 \underline{\Sigma} \underline{A}] \underline{U}(\nu_1) = [\underline{I} + \nu_1^2 \underline{\tilde{H}}_0 \underline{\Sigma} \underline{A}] \underline{U}(\nu_1) \quad (3.3.11a)$$

2) $\underline{L}(\mu)$

$$\nu_1 \int_0^1 \underline{\tilde{L}}(\mu') \underline{\theta}(\mu') \frac{d\mu'}{\nu_1 - \mu'} [\underline{C} + \nu_1^2 \underline{\Sigma} \underline{A}] \underline{U}(\nu_1) = [\nu_1 \underline{I} \underline{\Sigma} - 2\underline{C} \underline{I} + \nu_1^2 \underline{\tilde{L}}_0 \underline{\Sigma} \underline{A}] \underline{U}(\nu_1) \quad (3.3.11b)$$

Neste teste, os valores obtidos das funções matriciais e de seus momentos são verificados através da diferença entre os membros das equações (3.3.11a,b).

c) Através das equações (2.3.15a,b) obtém-se a seguinte relação entre os momentos das funções matriciais⁽⁹⁾,

$$[\underline{\Psi}_0 - \underline{I}_4] \underline{\tilde{D}} [\underline{\Phi}_0 - \underline{I}_4] = \underline{\tilde{D}} [\underline{I}_4 - 2\underline{Q}_0 \underline{\tilde{D}}], \quad (3.3.12)$$

onde

$$\underline{\Psi}_0 = \underline{\tilde{D}} \int_0^1 \underline{\tilde{Q}}^*(\mu) \underline{\theta}(\mu) \underline{\Psi}^*(\mu) d\mu \quad (3.3.13a)$$

$$\underline{\Phi}_0 = \underline{\tilde{D}} \int_0^1 \underline{\tilde{Q}}^*(-\mu) \underline{\theta}(\mu) \underline{\Phi}^*(\mu) d\mu, \quad (3.3.13b)$$

e

$$\underline{Q}_0 = \begin{bmatrix} \underline{\Sigma}^{-1} & \underline{Q} \\ \underline{Q} & \frac{1}{3} \underline{\Sigma}^{-1} \end{bmatrix}. \quad (3.3.13c)$$

sendo \underline{I}_4 uma matriz unitária (4 x 4).

O esquema empregado nesta tese consiste em verificar se a diferença entre cada elemento de cada membro da equação (3.3.12) se situa ao redor de ϵ vezes menor do que o menor dos dois elementos ou seja, escrevendo a equação (3.3.12) simbolicamente como $\underline{E} = \underline{D}$ tem-se,

$$|E_{ij} - D_{ij}| < \epsilon_{\min} \{ |E_{ij}|, |D_{ij}| \}, i, j = 1, 2 \quad (3.3.14)$$

- d) Finalmente faz-se uma última verificação dos valores obtidos, utilizando-se a equação (2.3.19a). A verificação é feita para vários pontos, através da regularização da integral singular e do cálculo analítico da integral de valor principal.

Para tal, elaborou-se a sub-rotina SINGH (Apêndice B) que também avalia o momento de ordem até dez para cada lado da equação (2.3.19a), simbolicamente tem-se,

$$\int_0^1 E \nu^\alpha d\nu = \int_0^1 D \nu^\alpha d\nu, \alpha = 0, 1, \dots, 10; \quad (3.3.15)$$

esta verificação é utilizada para confirmar a equivalência entre os lados esquerdo e direito da equação (2.3.19a).

3.4 – Solução Numérica dos Casos Estudados

Uma vez obtidas as funções $H(\mu)$, $L(\mu)$ e adjuntas, os coeficientes de expansão são facilmente calculados através das equações que os definem, uma vez que estas são expressas em termos destas funções (capítulo 2.4); não sendo necessário empregar nenhum artifício numérico na sua avaliação uma vez que não apresentam termos singulares.

Para verificar a precisão dos resultados obtidos construiu-se a sub-rotina CHECK-1 (Apêndice B) que efetua as mesmas verificações empregadas para a equação (2.3.19a) isto é, comparação dos momentos entre os membros das equações (2.4.1.3), (2.4.2.5) e (2.4.3.3).

Dois tipos de integrais aparecem na avaliação do fluxo angular: integrais ordinárias e de valor principal, definidas em dois intervalos, $0 < \mu < 1/\sigma$ e $1/\sigma < \mu < 1$.

As integrais ordinárias são calculadas numericamente empregando-se o método da Quadratura de Gauss.

As integrais de valor principal do tipo,

$P \int_a^b \frac{f(x)}{x - x_0} dx$, $x_0 \in (a, b)$ têm a singularidade removida analiticamente através do seguinte procedimento⁽⁸⁾.

$$P \int_a^b \frac{f(x)}{x - x_0} dx = \int_a^b \frac{f(x) - f(x_0)}{x - x_0} dx + f(x_0) P \int_a^b \frac{1}{x - x_0} dx, a < x_0 < b$$

A primeira integral da equação (3.4.1) não envolve singularidades enquanto que a segunda integral pode ser avaliada analiticamente resultando,

$$P \int_a^b \frac{1}{x - x_0} dx = \ln \frac{b - x_0}{x_0 - a}, \quad (3.4.2)$$

removendo assim a dificuldade de avaliá-la numericamente.

A fase computacional deste cálculo é feita através do procedimento denominado regularização.

Seja a equação que descreve o fluxo angular, equações (2.4.1.2), (2.4.2.3) e (2.4.3.2), as autofunções ψ definidas pelas equações (2.3.22), (2.3.23) e (2.3.24).

Ao se calcular numericamente os fluxos angulares (grupo 1 e 2) a parte discreta representada pelas equações (2.3.24) não necessita de artifícios numéricos, uma vez que não apresenta singularidades.

Porém, ao se trabalhar na região contínua (0,1) surgem termos integrais do tipo singular e não singular relacionados com a região de integração (equações (2.3.22) e (2.3.23)).

A fase regularização do programa digital, elaborado para a avaliação do fluxo angular, calcula distintamente estes tipos de integrais. Ela consiste basicamente no cálculo numérico do procedimento analítico de remoção da singularidade já exposto, considerando o grupo de energia e a região de integração.

Analisando-se em separado cada fluxo angular tem-se:

Seja a região (1) definida para $\nu \in (0, 1/\sigma)$, o fluxo angular do grupo 1, que envolve o termo $P \int_0^{1/\sigma} \frac{d\nu}{\sigma\nu - \mu}$, é singular para todos os $\mu \in (0, 1/\sigma)$.

O fluxo angular do grupo 2 que envolve o termo $P \int_0^{1/\sigma} \frac{d\nu}{\nu - \mu}$ é singular para $\nu \in (0, 1/\sigma)$, e regular para $\mu \in (1/\sigma, 1)$.

Para a região (2) definida para $\nu \in (1/\sigma, 1)$, o fluxo angular do grupo 1 que envolve o termo $\int_{1/\sigma}^1 \frac{d\nu}{\sigma\nu - \mu}$ é regular para todo μ .

O fluxo angular do grupo 2, que envolve o termo $P \int_{1/\sigma}^1 \frac{d\nu}{\nu - \mu}$ é singular para $\mu \in (1/\sigma, 1)$ e regular para $\mu \in (0, 1/\sigma)$.

Desta forma a fase regularização avalia a componente singular do fluxo enquanto que os termos não singular é calculado através do método de Quadratura de Gauss.

Estes procedimentos fazem parte da sub-rotina FLUXM, que calcula fluxos angulares.

O cálculo dos demais parâmetros, correntes, fluxos totais, distâncias extrapolada e Albedo, não necessitam de artifícios numéricos, uma vez que se definem⁽²²⁾ os vetores de normalização.

$$\underline{U}_1(\xi) = \int_{-1}^1 \underline{\psi}(\xi, \mu) d\mu \quad (3.4.3)$$

como

$$\underline{U}_1^{(1)}(\nu) = \begin{bmatrix} 1 \\ 0 \end{bmatrix}, \underline{U}_2^{(1)}(\nu) = \begin{bmatrix} 1 \\ 0 \end{bmatrix}, \nu \in (0, 1/\sigma),$$

$$\underline{U}^{(2)}(\nu) = \begin{bmatrix} -\Lambda_{12}(\nu) \\ \Lambda_{11}(\nu) \end{bmatrix}, \nu \in (1/\sigma, 1), \underline{U}(\nu_1) = \begin{bmatrix} -\Lambda_{12}(\nu_1) \\ \Lambda_{11}(\nu_1) \end{bmatrix}, \nu_1 \notin (0,1) \quad (3.4.4a,b,c,d)$$

Obtendo-se,

$$\int_0^1 \mu^\alpha \Phi(\xi, \mu) d\mu = \xi [\Sigma - 2C] \underline{U}(\xi), \quad (3.4.5)$$

4 – RESULTADOS NUMÉRICOS E COMPARAÇÕES

4.1 – Introdução

O objetivo desta fase é o de apresentar a precisão com que foram obtidos os resultados.

Paralelamente são discutidos comparativamente os efeitos de espalhamento isotrópico e linearmente anisotrópico.

4.2 – Parâmetros Básicos

Para os casos estudados neste trabalho, considera-se o sistema vácuo-água leve pura. As energias dos nêutrons situam-se nos seguintes intervalos,

$$\text{Grupo 1: } 0. \quad \text{eV} < E < 0.0253 \text{ eV}$$

e

$$\text{Grupo 2: } 0.0253 \text{ eV} < E < 0.532 \text{ eV}.$$

Utiliza-se das secções de choque macroscópicas de espalhamento isotrópicas definidas por Metcalf e Zweifel⁽¹⁷⁾ para se caracterizar as matrizes $\underline{\Sigma}$ e \underline{C} e a seguinte relação,

$$\underline{B} = \underline{C} \begin{bmatrix} p_1 & 0 \\ 0 & p_2 \end{bmatrix}, 0 \leq p_i < 1, \quad (4.2.1)$$

para caracterizar a parte anisotrópica, considerando-se várias combinações de p_1 e p_2 dentro do intervalo $0 \leq p_i < 1$.

Um programa digital é então utilizado para determinar os autovalores discretos da equação de dispersão. Para os dados da Tabela IV.2.1 são obtidos duas raízes reais. Os autovalores são também calculados através do método de expansão em esféricas harmônicas; considerando-se somente a expansão P_n^{-1} .

A Tabela IV.2.2 apresenta os resultados obtidos através dos dois métodos.

Tabela IV.2.1

Secções de Choque de Espalhamento Isotrópico

σ_1	4.8822	σ_2	3.2343
σ_{11}	3.8180	σ_{12}	0.3524
σ_{21}	1.0326	σ_{22}	2.8669

Tabela IV.2.2

Autovalores da Equação de Transporte de Dois Grupos

p_1	p_2	Exato		P - 1	
		Discreto	Contínuo	Discreto	Contínuo
0.0	0.0	7.190978	$0 < \nu < 1$	7.174198	0.743007
0.0	0.3	7.494821	$0 < \nu < 1$	7.477082	0.746774
0.0	0.5	7.724217	$0 < \nu < 1$	7.705750	0.749314
0.0	0.7	7.979698	$0 < \nu < 1$	7.960419	0.751876
0.1	0.3	7.519677	$0 < \nu < 1$	7.501982	0.754223
0.1	0.5	7.749547	$0 < \nu < 1$	7.731127	0.756841
0.3	0.5	7.804291	$0 < \nu < 1$	7.785961	0.775416
0.3	0.7	8.061606	$0 < \nu < 1$	8.042473	0.775416
0.5	0.7	8.123994	$0 < \nu < 1$	8.104954	0.792390

Os autovalores para $\nu > 1$ são solução da equação de transporte de um grupo⁽⁶⁾; isto também é verdadeiro para a teoria de transporte de dois grupos. Observa-se na Tabela IV.2.2 que a inclusão do termo linearmente anisotrópico na função de transferência faz com que haja um aumento sensível nos autovalores, crescendo à medida que se incorporam altos graus de anisotropia. Este comportamento é traduzido devido à maior difusão dos nêutrons, os resultados obtidos pelo método aproximativo estão bem próximos dos do exato.

Estabelecidos os autovalores, as matrizes H , L e adjuntas são calculadas através de uma sub-rotina (Apêndice B) iterativamente.

A Tabela IV.2.3 apresenta os resultados obtidos para a matriz $H(\mu)$, $H_0(\mu)$ e as H_0 , H_{00} , L_0 e L_{00} quando se considera os graus de anisotropia $p_1 = 0.1$ e $p_2 = 0.3$.

As Tabelas seguintes (IV.2.4; IV.2.5; IV.2.6 e IV.2.7) mostram os resultados obtidos nas várias verificações efetuadas com os valores obtidos das funções matriciais.

Observa-se que com o aumento de pontos de quadratura, aumenta a precisão dos resultados. A precisão que se obtém nestas verificações é de pelo menos doze algarismos significativos após treze iterações.

Tabela IV.2.3

Matrizes Fundamentais, $\rho_1 = 0.1$, $\rho_2 = 0.3$

μ	$H_{11}(\mu)$	$H_{12}(\mu)$	$H_{21}(\mu)$	$H_{22}(\mu)$
0.0	1.0	0.0	0.0	1.0
0.1	1.196762	0.137860	0.034539	1.193600
0.2	1.326058	0.274349	0.065446	1.342018
0.3	1.431995	0.413361	0.095386	1.476304
0.4	1.523488	0.553615	0.124591	1.601823
0.5	1.604756	0.694044	0.153116	1.720848
0.6	1.678271	0.833876	0.180981	1.834609
0.7	1.745642	0.972563	0.208197	1.943867
0.8	1.807989	1.109719	0.234774	2.049144
0.9	1.866132	1.245072	0.260723	2.150817
1.0	1.920687	1.378434	0.286058	2.249178
μ	$H_{s_{11}}(\mu)$	$H_{s_{12}}(\mu)$	$H_{s_{21}}(\mu)$	$H_{s_{22}}(\mu)$
0.0	1.0	0.0	0.0	1.0
0.1	1.196771	0.046987	0.101324	1.193590
0.2	1.326070	0.093469	0.192050	1.342002
0.3	1.432001	0.140774	0.279986	1.476287
0.4	1.523478	0.188465	0.365811	1.601811
0.5	1.604721	0.236180	0.449685	1.720847
0.6	1.678199	0.283656	0.531661	1.834623
0.7	1.745523	0.330706	0.611770	1.943903
0.8	1.807813	0.377199	0.690043	2.049207
0.9	1.865887	0.423044	0.766511	2.150911
1.0	1.920365	0.468178	0.841212	2.249309
Matriz	Elemento			
	11	12	21	22
H_{-o}	0.950316	0.303922	0.150217	1.695183
H_{-so}	0.950305	0.103447	0.441347	1.695204
L_{-o}	0.198366	-0.152128	-0.078128	0.162992
L_{-so}	0.198366	-0.051757	-0.229638	0.162992

Tabela IV.2.4

Verificação das Equações (3.3.11a,b) Simbolicamente $|E - D| = D_1 F_1$, $p_1 = 0.1$, $p_2 = 0.3$

I - Matriz H						
*	E_{11}	D_{11}	$D_1 F_1$	E_{21}	$D_2 =$	$D_1 F_2$
Q = 20 + 20	0.75868(- 01)	0.75868(- 01)	0.55511(- 16)	0.23085(0)	0.23085(0)	0.27756(- 15)
Q = 20 + 40	0.75868(- 01)	0.75868(- 01)	0.83267(- 16)	0.23085(0)	0.23085(0)	0.70777(- 15)
Q = 40 + 40	0.75868(- 01)	0.75868(- 01)	0.55511(- 16)	0.23085(0)	0.23085(0)	0.83267(- 15)
II - Matriz L						
Q = 20 + 20	0.20689(- 02)	0.20689(- 02)	0.11338(- 14)	0.11596(- 01)	0.11596(- 01)	0.15847(- 14)
Q = 20 + 40	0.20689(- 02)	0.20689(- 02)	0.12234(- 14)	0.11596(- 01)	0.11596(- 01)	0.17200(- 14)
Q = 40 + 40	0.20689(- 02)	0.20689(- 02)	0.12267(- 14)	0.11596(- 01)	0.11596(- 01)	0.17686(- 14)

Tabela IV.2.5

Verificação de $|\det H^{-1}(-\nu_1)| = 0$, $\epsilon = 10^{-12}$, $p_1 = 0.1$, $p_2 = 0.3$ Q = N₁ + N₂ Representa os Pontos de Quadratura Utilizados sendo N₁ no Intervalo (0,1/σ) e N₂ no (1/σ,1)

*	$H_{11}^{-1}(-\nu_1)$	$H_{12}^{-1}(\nu_1)$	$H_{21}^{-1}(\nu_1)$	$H_{22}^{-1}(\nu_1)$	$ \det H^{-1}(\nu_1) $
Q = 20 + 20	0.333(0)	-0.465(0)	-0.868(- 1)	0.121(0)	0.572(- 16)
Q = 20 + 40	0.333(0)	-0.465(0)	-0.868(- 1)	0.121(0)	0.485(- 15)
Q = 40 + 40	0.333(0)	-0.465(0)	-0.868(- 1)	0.121(0)	0.682(- 15)
*	$H_{11}^{-1}(-\nu_1)$	$H_{12}^{-1}(-\nu_1)$	$H_{21}^{-1}(-\nu_1)$	$H_{22}^{-1}(-\nu_1)$	$ \det H^{-1}(-\nu_1) $
Q = 20 + 20	0.332(0)	-0.163(0)	-0.250(0)	0.123(0)	0.114(- 15)
Q = 20 + 40	0.332(0)	-0.163(0)	-0.250(0)	0.123(0)	0.392(- 15)
Q = 40 + 40	0.332(0)	-0.163(0)	-0.250(0)	0.123(0)	0.583(- 15)

* - O número A x 10^B é escrito como A(B).

Tabela IV.2.6

Verificação da Equação 3.3.12, para Três Conjuntos de Pontos
de Quadratura para $p_1 = 0.1$ e $p_2 = 0.3$.

D_{11}	D_{12}	D_{13}	D_{14}
0.402(-15)	0.971(-16)	0.208(-16)	0.312(-16)
0.347(-16)	0.236(-15)	0.112(-16)	0.997(-16)
0.333(-15)	0.268(-15)	0.110(-16)	0.121(-15)
D_{21}	D_{22}	D_{23}	D_{24}
0.199(-16)	0.640(-15)	0.727(-17)	0.867(-18)
0.954(-16)	0.989(-15)	0.166(-16)	0.121(-16)
0.125(-15)	0.109(-14)	0.197(-16)	0.226(-16)
D_{31}	D_{32}	D_{33}	D_{34}
0.374(-16)	0.601(-16)	0.347(-17)	0.208(-16)
0.431(-16)	0.988(-16)	0.520(-17)	0.208(-16)
0.439(-16)	0.112(-15)	0.520(-17)	0.252(-16)
D_{41}	D_{42}	D_{43}	D_{44}
0.137(-16)	0.156(-16)	0.260(-17)	0.0
0.318(-16)	0.173(-17)	0.520(-17)	0.139(-16)
0.378(-16)	0.269(-16)	0.607(-17)	0.139(-16)

Tabela IV.2.7
Verificação da Equação (2.3.15a)

ν	D_{11}	D_{12}	D_{21}	D_{22}
0.05	0.439(- 10)	0.457(- 11)	0.145(- 10)	0.329(- 10)
	0.439(- 10)	0.457(- 11)	0.145(- 10)	0.329(- 10)
	0.777(- 14)	0.581(- 16)	0.444(- 15)	0.866(- 14)
0.10	0.933(- 14)	0.162(- 14)	0.495(- 14)	0.688(- 14)
	0.755(- 14)	0.169(- 14)	0.461(- 14)	0.466(- 14)
	0.755(- 14)	0.205(- 15)	0.722(- 15)	0.777(- 14)
0.20	0.289(- 14)	0.481(- 15)	0.208(- 15)	0.400(- 14)
	0.511(- 14)	0.658(- 15)	0.680(- 15)	0.600(- 14)
	0.844(- 14)	0.262(- 15)	0.847(- 15)	0.844(- 14)
0.30	0.155(- 14)	0.749(- 15)	0.291(- 15)	0.311(- 14)
	0.244(- 14)	0.161(- 14)	0.125(- 15)	0.377(- 14)
	0.666(- 14)	0.555(- 16)	0.763(- 15)	0.644(- 14)
0.40	0.444(- 15)	0.146(- 14)	0.125(- 15)	0.400(- 14)
	0.444(- 14)	0.228(- 14)	0.291(- 15)	0.466(- 14)
	0.755(- 14)	0.215(- 15)	0.146(- 14)	0.711(- 14)
0.50	0.261(- 13)	0.223(- 13)	0.208(- 13)	0.167(- 13)
	0.188(- 13)	0.391(- 13)	0.138(- 13)	0.131(- 13)
	0.509(- 14)	0.370(- 15)	0.847(- 15)	0.577(- 14)
0.60	0.559(- 14)	0.149(- 14)	0.226(- 14)	0.222(- 15)
	0.125(- 14)	0.198(- 14)	0.375(- 15)	0.133(- 14)
	0.104(- 14)	0.279(- 14)	0.777(- 15)	0.133(- 14)
0.70	0.179(- 07)	0.152(- 08)	0.998(- 08)	0.849(- 09)
	0.179(- 07)	0.152(- 08)	0.998(- 08)	0.849(- 09)
	0.113(- 13)	0.526(- 13)	0.863(- 14)	0.359(- 13)
0.80	0.229(- 14)	0.347(- 15)	0.173(- 14)	0.178(- 14)
	0.111(- 15)	0.842(- 14)	0.111(- 15)	0.153(- 14)
	0.666(- 15)	0.616(- 14)	0.198(- 14)	0.534(- 14)
0.90	0.500(- 15)	0.192(- 14)	0.569(- 15)	0.668(- 15)
	0.379(- 14)	0.916(- 14)	0.233(- 14)	0.897(- 14)
	0.465(- 14)	0.134(- 13)	0.124(- 14)	0.478(- 14)

Conhecidas as funções matriciais, os coeficientes de expansão são calculados separadamente, através do programa digital de cada problema (Apêndice B). A Tabela (IV.2.8) resume os coeficientes de expansão discretos obtidos para cada problema e a Tabela (IV.2.9) os coeficientes contínuos.

4.3 – Soluções Numéricas

Os resultados dos problemas propostos são apresentados e analisados em separado para três casos de espalhamento; isotrópico ($p_1 = 0.0$, $p_2 = 0.0$) e dois anisotrópicos ($p_2 = 0.0$, $p_1 = 0.3$ e $p_1 = 0.5$). A escolha destes casos é arbitrária, uma vez que a apresentação dos resultados de todos os casos de espalhamento (para vários graus de anisotropia) tornaria por demais longa esta apresentação.

4.3.1 – Problema do Albedo

Dois casos são analisados:

- a) fonte constante, isotrópica e unitária no Grupo 1;
- b) fonte constante, isotrópica e unitária no Grupo 2;

(a) A seguir é apresentado um conjunto de gráficos que visam facilitar a visualização do modo como se comporta a população de nêutrons neste sistema.

As Figuras (4.3.1) e (4.3.3) mostram a variação na distribuição do fluxo angular no Grupo 1 e 2.

Nestes gráficos são apresentados, para efeito de comparação, os espalhamentos isotrópicos e anisotrópico. Ainda visando a facilidade de comparação, foram também traçados gráficos da mesma distribuição em coordenadas polares (gráficos IV.3.2 e IV.3.4).

Na análise dos gráficos (IV.3.1) e (IV.3.2), nota-se que a anisotropia no espalhamento é bem pronunciada para pontos próximos da fronteira, isto ocorre pois este limite de divisão introduz uma discontinuidade no meio. Este efeito é bem pronunciado no fluxo emergente ao meio, ($x = 0$) gráfico (IV.3.1) e (IV.3.3) e se faz sentir, ainda em pontos do interior do meio ($x = 2.0$) e se acentua à medida que se incorporam maiores graus de anisotropia, veja-se para $x = 0.5$ nas figuras (4.3.1) e (4.3.2).

Nota-se na Figura (IV.3.2) que o espalhamento dos nêutrons é mais pronunciado para a frente, na direção do meio, como consequência o fluxo total de retorno, Gráfico (IV.3.5) tem menor magnitude em pontos próximos da fronteira.

Efeito inverso é observado para o Grupo 2, Gráfico (IV.3.4) o fluxo total de retorno é de maior magnitude em pontos próximos da fronteira. Para ambos os grupos, a partir de $x = 3.0$, figuras de fluxo total, o fluxo de retorno decresce, acentuando o fluxo incidente ao meio

Estes comportamentos são melhor visualizados através da variação da corrente $J(x)$, Figuras (IV.3.6) e (IV.3.8).

A influência da fronteira no espalhamento dos nêutrons, para os dois grupos, vai decrescendo à medida que se penetra no interior do meio, apresentando um caráter nitidamente isotrópico.

Os Gráficos (IV.3.9) e (IV.3.10) apresentam os resultados obtidos, para o fluxo total, através da expansão em polinômios de Legendre, em P_1 para efeito de comparação. Não se verifica comportamento estranho, mesmo para pontos próximos da fronteira, onde este método não produz bons resultados.

Tabela IV.2.8
Coefficientes de Expansão Discretos

p_1	p_2	Albedo		Milne	Fonte Constante
		$\underline{F} = \left(\frac{0}{1}\right)$	$\underline{F} = \left(\frac{1}{0}\right)$		
0.0	0.0	6.72642	5.14937	-0.830951	-331.117
0.0	0.3	6.72090	4.86819	-0.823532	-327.244
0.0	0.5	6.71500	4.68060	-0.817922	-324.573
0.0	0.7	6.70693	4.49281	-0.811679	-321.814
0.1	0.3	6.41854	5.06117	-0.823386	-317.880
0.3	0.5	7.18593	5.36101	-0.817463	-351.915
0.3	0.7	7.17745	5.14606	-0.811295	-348.787
0.5	0.7	7.53107	5.62248	-0.810857	-369.389

Tabela IV.2.9

Coefficientes de Expansão Contínuos $p_1 = 0.1$, $p_2 = 0.3$

ν	Milne		Albedo				Fonte Constante	
	$A_1^{(1)}(\nu)$	$A_2^{(1)}(\nu)$	$A_1^{(1)}(\nu)$	$E = A_2^{(1)}(\nu)$	$A_1^{(1)}(\nu)$	$E_0 A_2^{(1)}(\nu)$	$A_1^{(1)}(\nu)$	$A_2^{(1)}(\nu)$
0.02	-0.0060679	-0.0143569	-0.1725822	0.2194284	0.6083180	-0.4242523	2.640571	-4.797079
0.10	-0.0049270	-0.0121060	-0.1582802	0.2037192	0.5405426	-0.4112311	1.992983	-4.085534
0.20	-0.0040180	-0.0101885	-0.1495231	0.1924496	0.5087827	-0.4062988	1.590339	-3.534162
0.30	-0.0033289	-0.0086964	-0.1449047	0.1860087	0.4845585	-0.4095079	1.356074	-3.142620
0.40	-0.0027294	-0.0074366	-0.1421464	0.1833162	0.4670671	-0.4205966	1.207118	-2.844523
0.50	-0.0021195	-0.0063181	-0.1385671	0.1844903	0.4467270	-0.4413002	1.099764	-2.613701
0.60	-0.0012826	-0.0053109	-0.1236939	0.1902069	0.3887772	-0.4740465	0.9572629	-2.330230
0.66	-0.0000332	-0.0049402	-0.0602466	0.1893126	0.1781652	-0.4770612	0.5304752	-2.330230
ν	$A^{(2)}(\nu)$	$A^{(2)}(\nu)$			$A^{(2)}(\nu)$			$A^{(2)}(\nu)$
0.70	0.008293	-0.480140			1.28174			5.235039
0.76	0.012772	-1.59534			4.51645			14.79852
0.82	-0.009207	-6.80512			20.3469			52.04301
0.86	-0.211537	-27.6026			85.5843			179.7015
0.88	-0.383416	-35.1330			110.948			208.0068
0.90	-0.269097	-18.9007			60.8013			100.4522
0.94	-0.094693	-4.47914			14.9608			18.13740
0.98	-0.037670	-1.32474			4.59871			3.580253

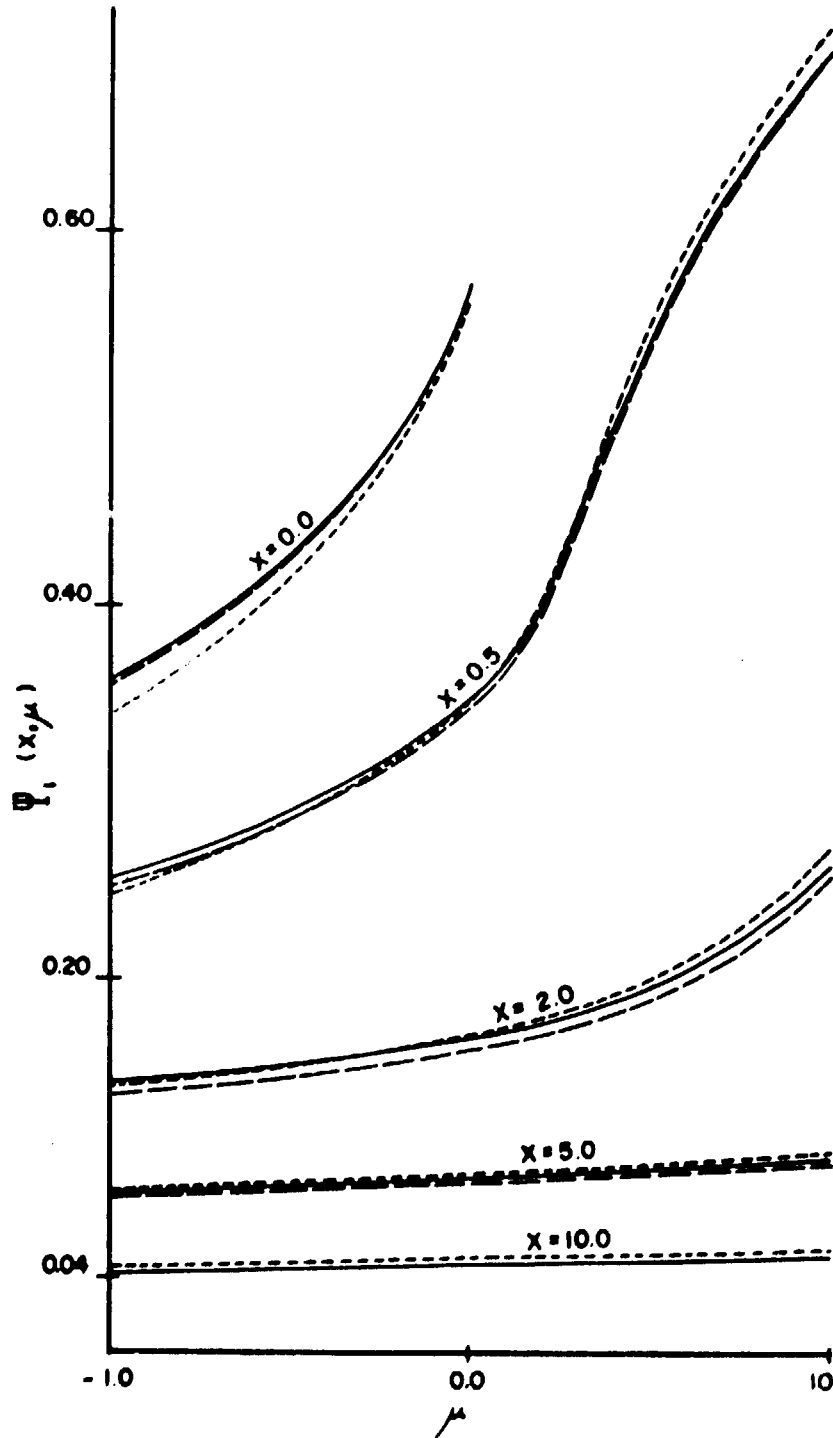


Figura 4-3.1 - Distribuição do Fluxo Angular, Albedo $\bar{E} = \frac{1}{6}$, Grupo I com Espalhamentos: Isotrópico (-, $p_1 = 0.0; p_2 = 0.0$), Anisotrópicos (- -, $p_1 = 0.0; p_2 = 0.05$) e (- · -, $p_1 = 0.3; p_2 = 0.5$).

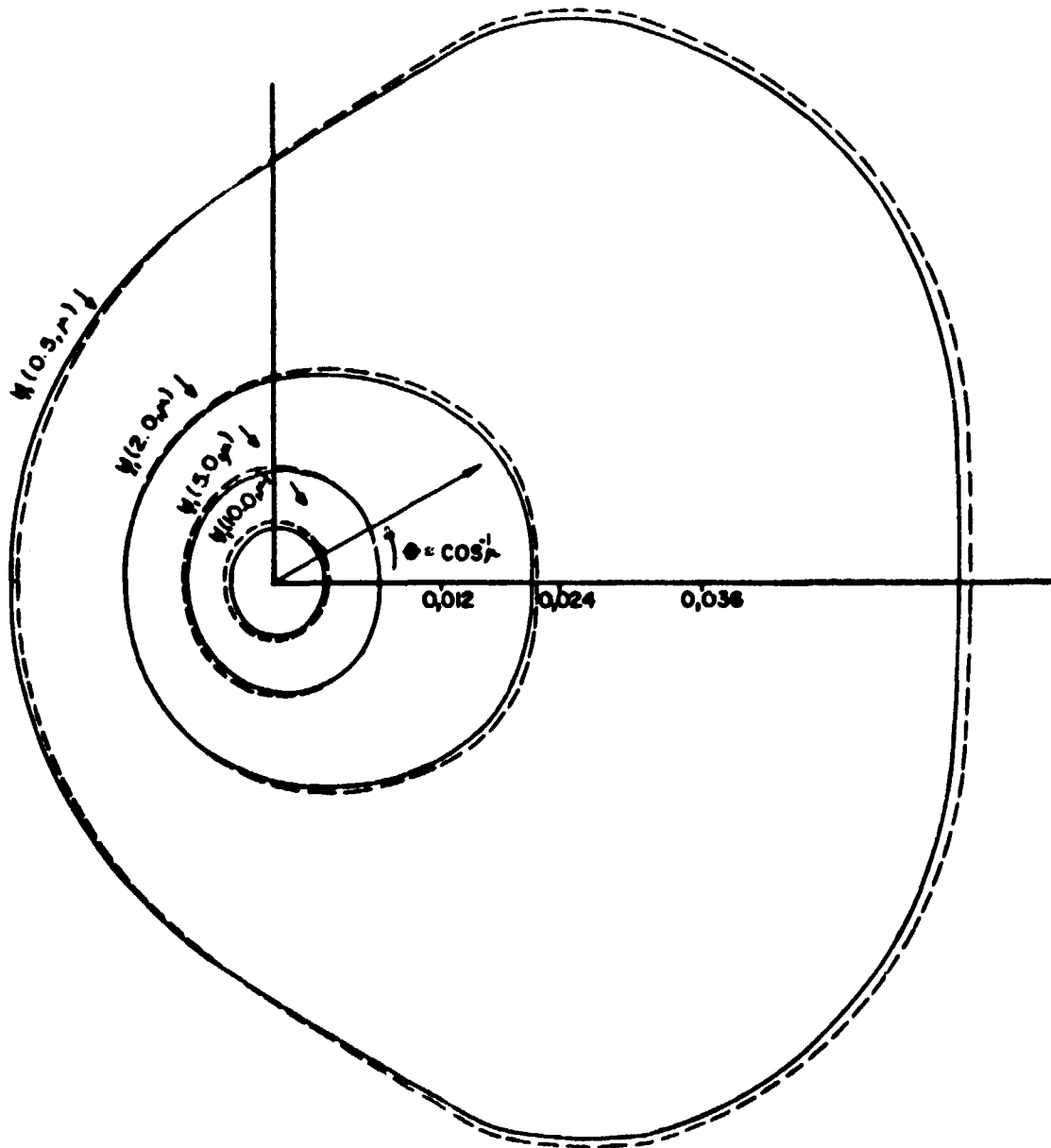


Figura 4-3.2 - Distribuição do Fluxo Angular, Albedo $\bar{F} = (\frac{1}{6})$, Grupo I com Espelhamentos: Isotrópico (-, $p_1 = 0.0; p_2 = 0.0$) e Anisotrópico (- · -, $p_1 = 0.3; p_2 = 0.5$).

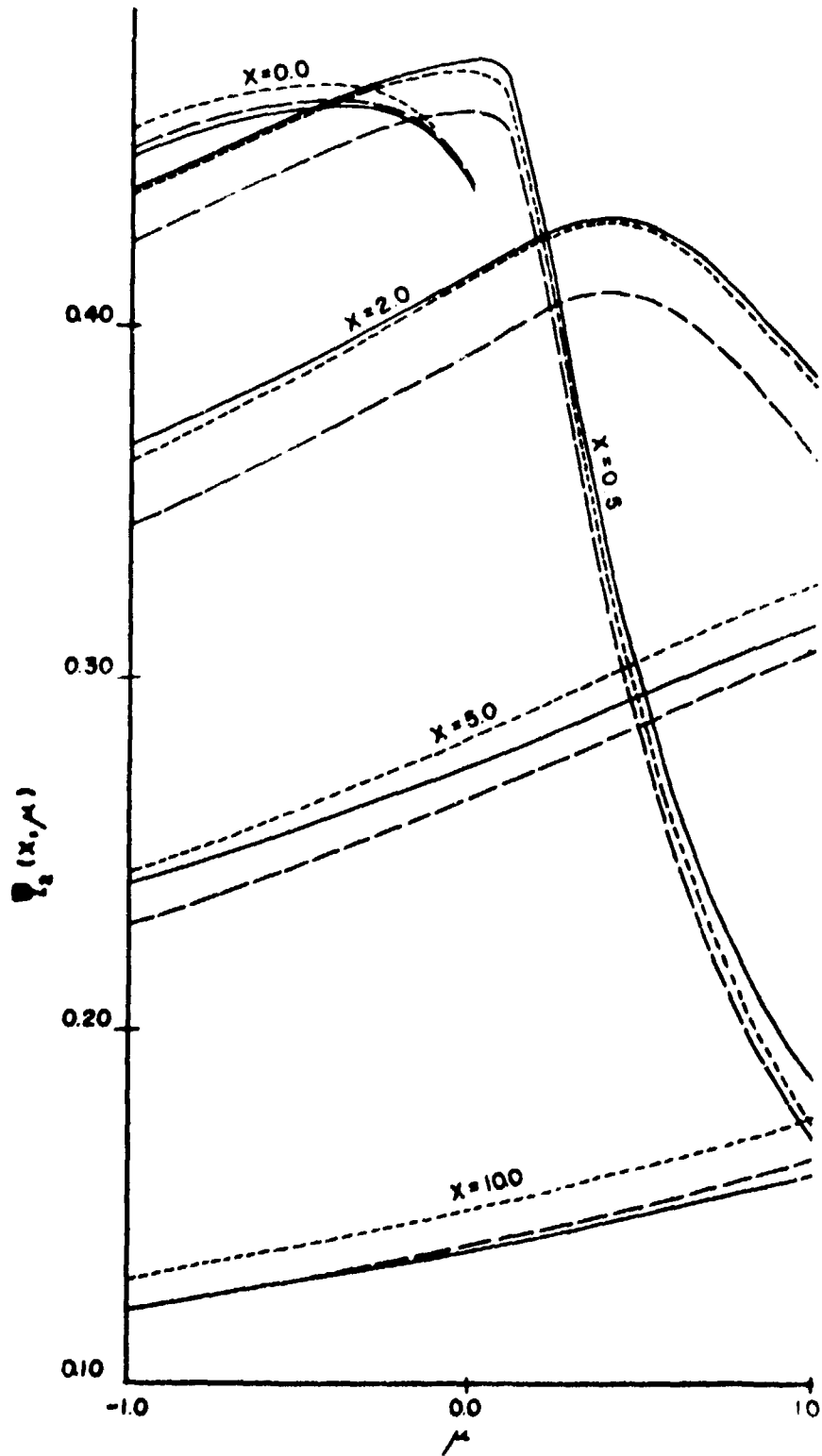


Figura 4-3.3 - Distribuição do Fluxo Angular, Albedo $\bar{F} = \frac{1}{3}$, Grupo 2 com Espelhamentos: Isotrópico (—, $\rho_1 = 0.0$; $\rho_2 = 0.0$), Anisotrópicos (- - -, $\rho_1 = 0.0$; $\rho_2 = 0.5$) e (- · - ·, $\rho_1 = 0.3$; $\rho_2 = 0.5$).

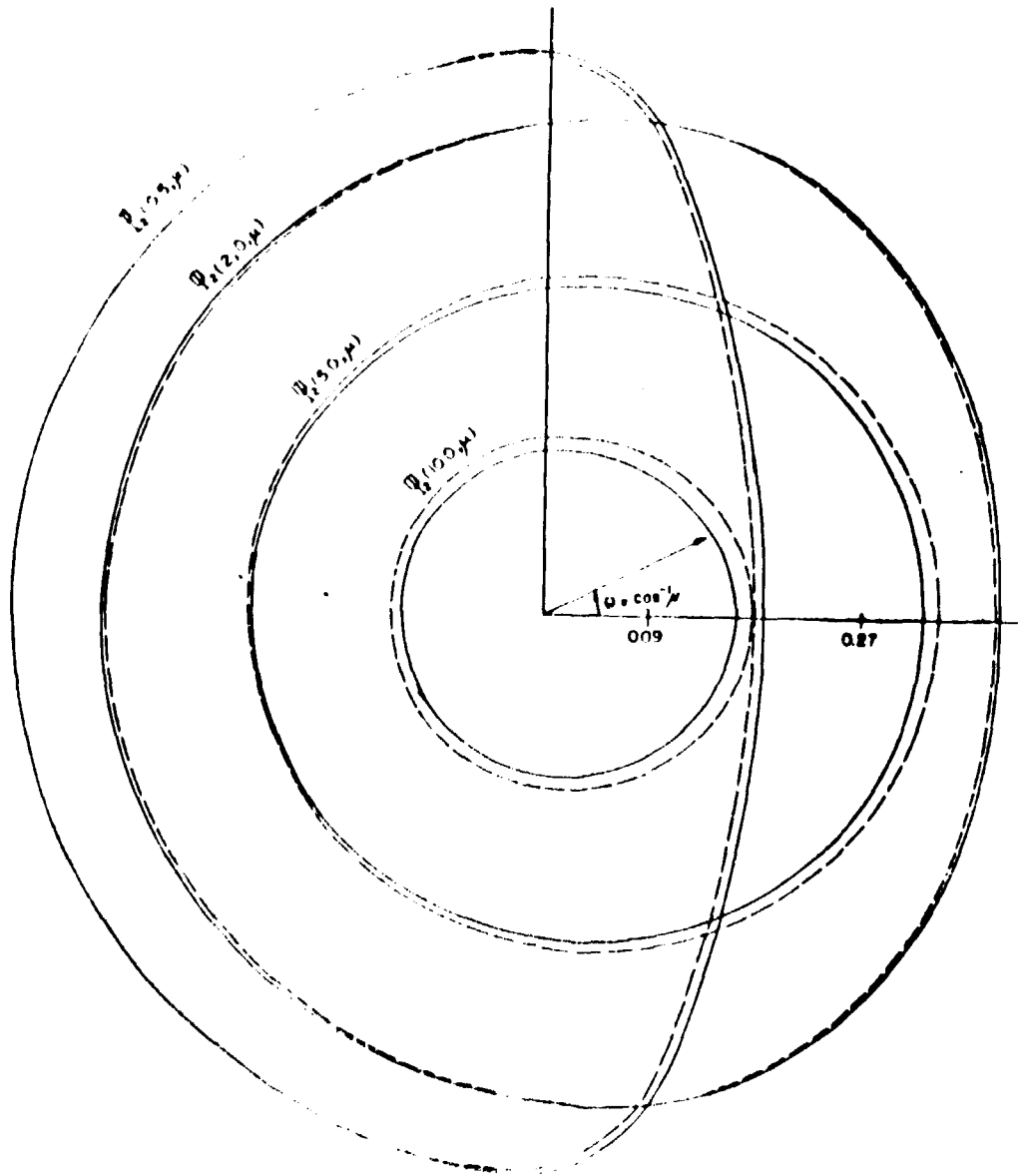


Figura 4-3.4 -- Distribuição do Fluxo Angular, Albedo $\bar{F} = \frac{1}{6}$, Grupo 2 com Espalhamentos: Isotrópico (—, $\rho_1 = 0.0$, $\rho_2 = 0.0$) Anisotrópico (- - -, $\rho_1 = 0.3$; $\rho_2 = 0.5$).

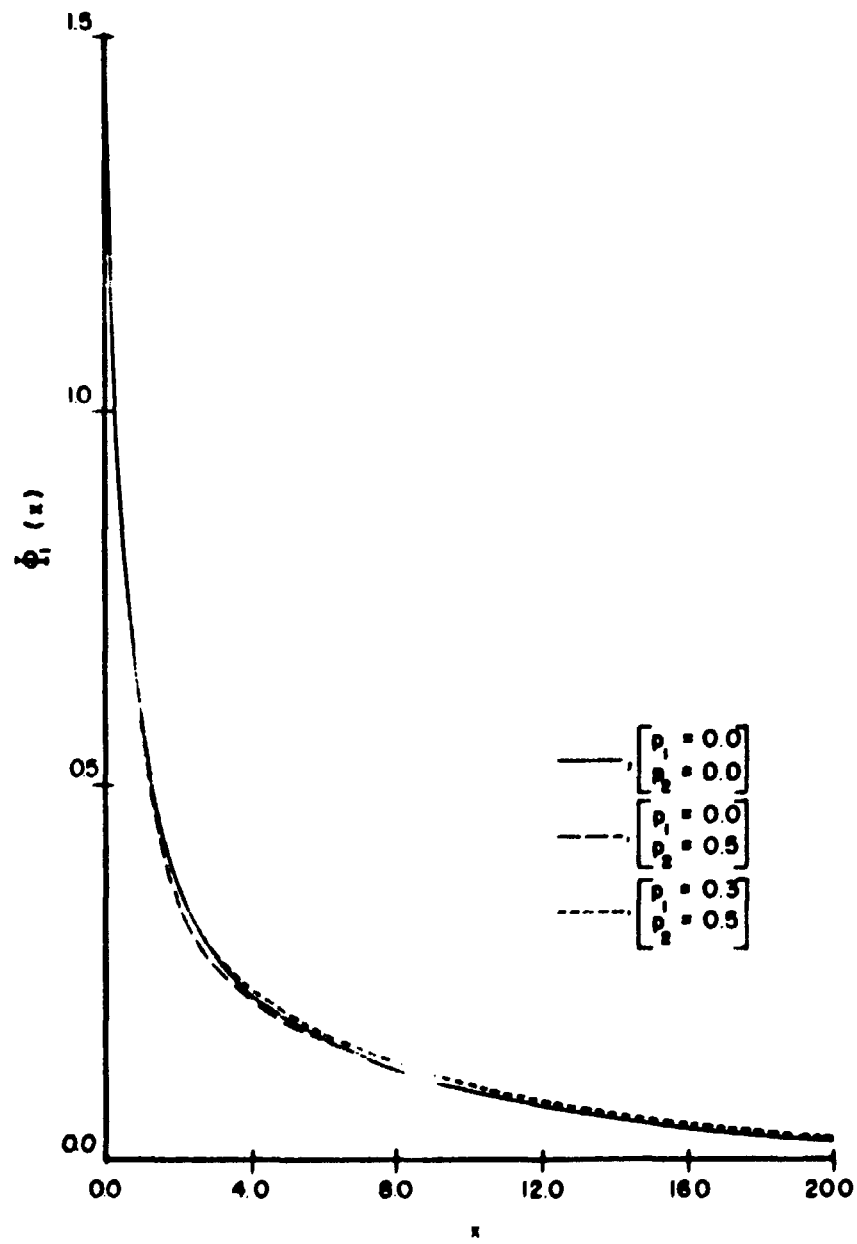


Figura 4-3.5 -- Fluxo Total, Grupo 1, Albedo, $E_1 = 0.5$

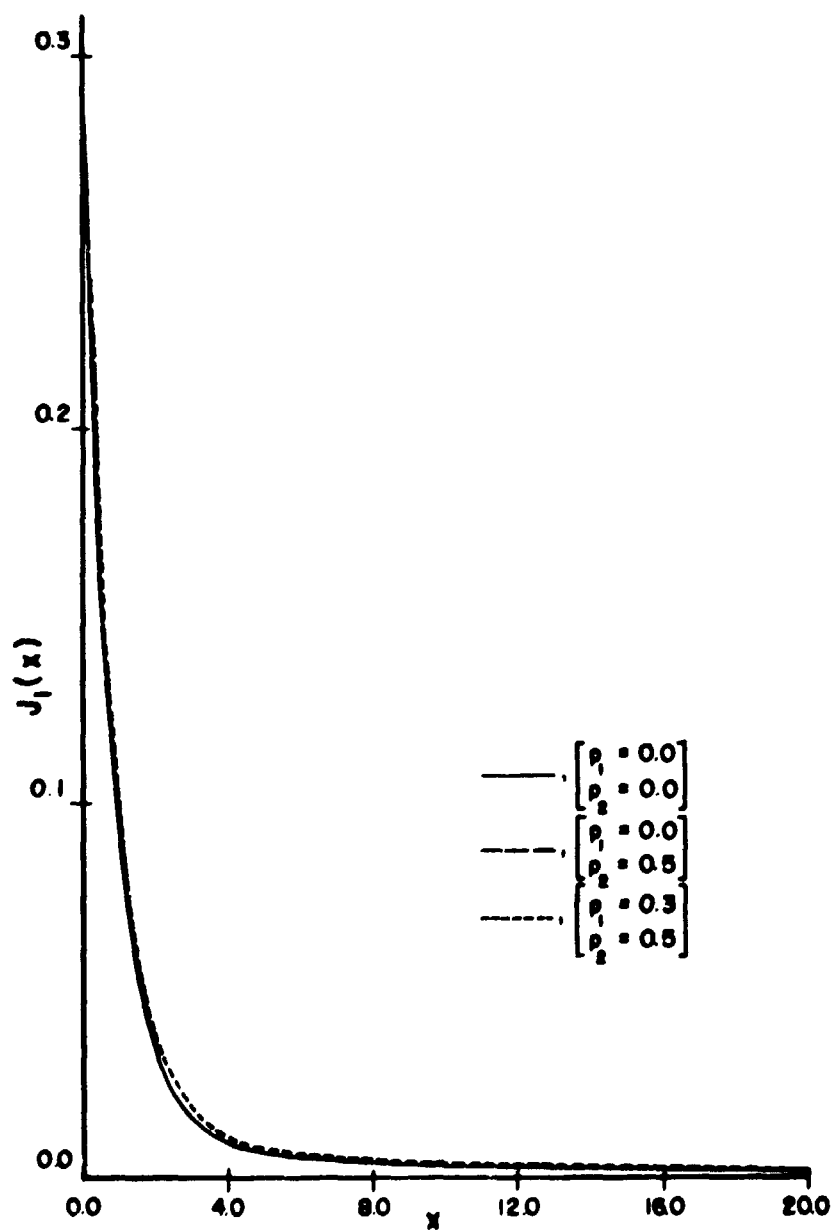


Figura 4-3.6 -- Corrente, Grupo 1, Alberdo, $F = \begin{pmatrix} 1 \\ 0 \end{pmatrix}$

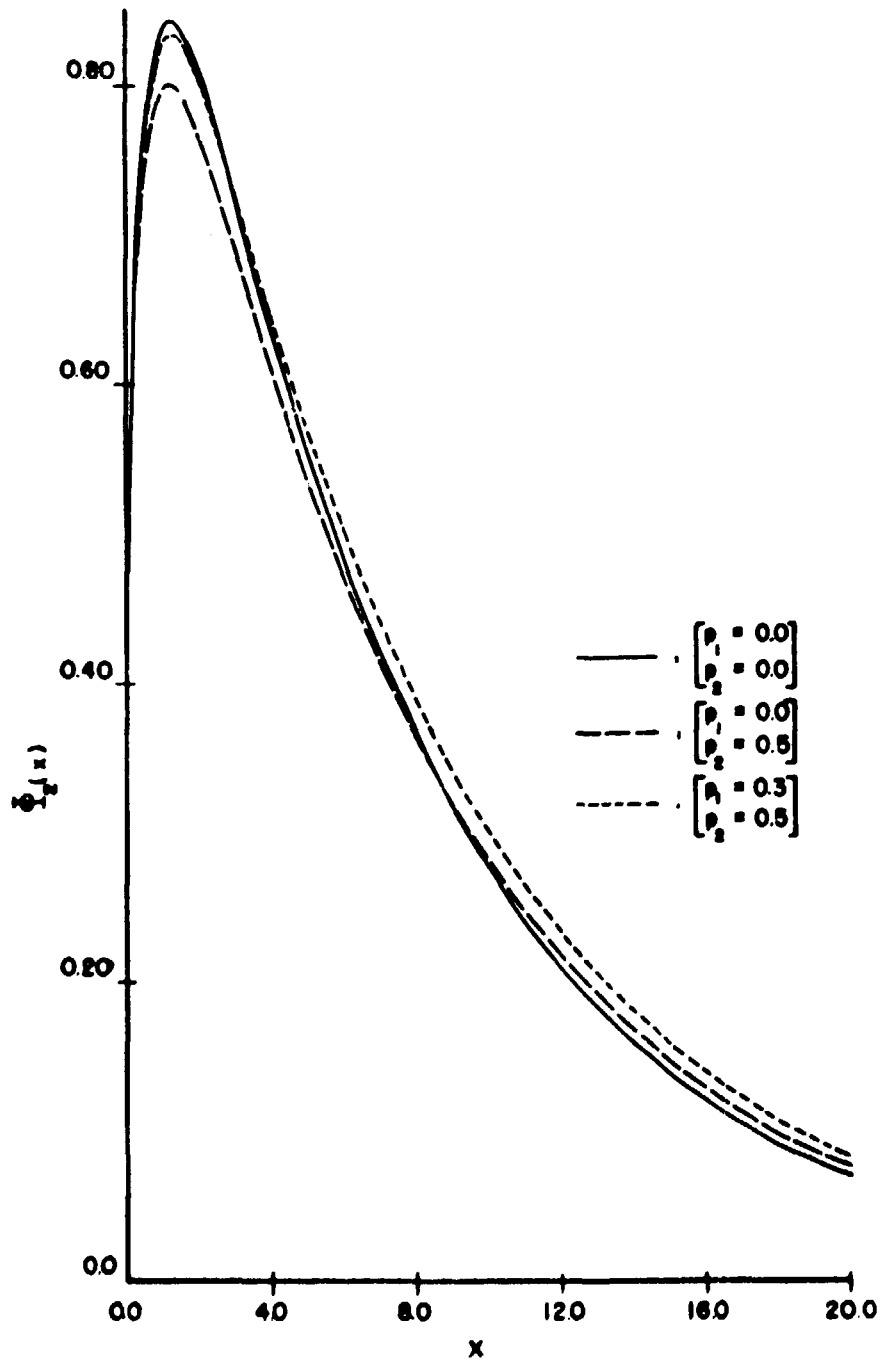


Figura 4-3.7 - Fluxo Total, Grupo 2, Albedo, $F = (\frac{1}{6})$

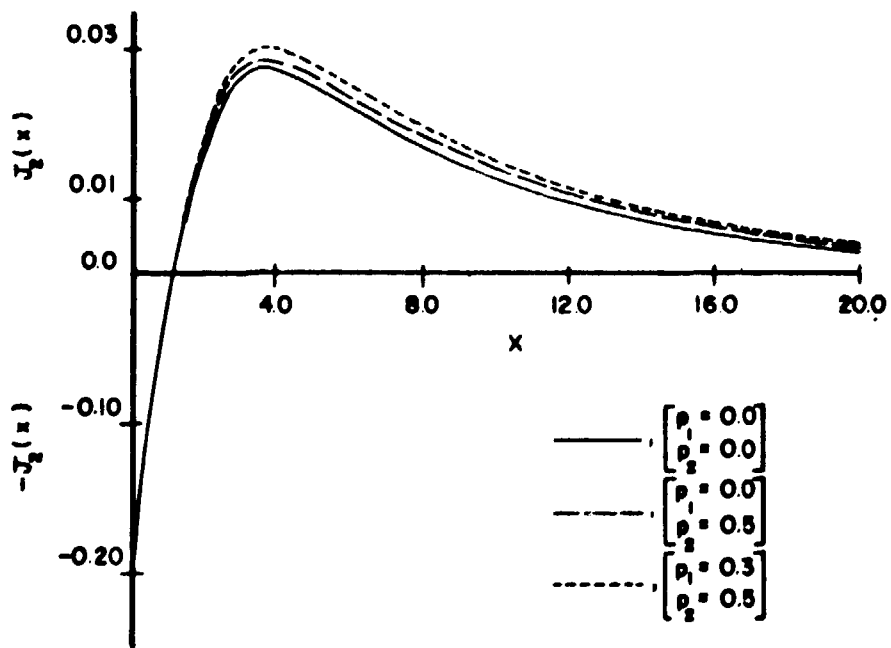


Figura 4-3.8 - Corrente, Grupo 2, Albedo, $F = \left(\frac{1}{2}\right)$

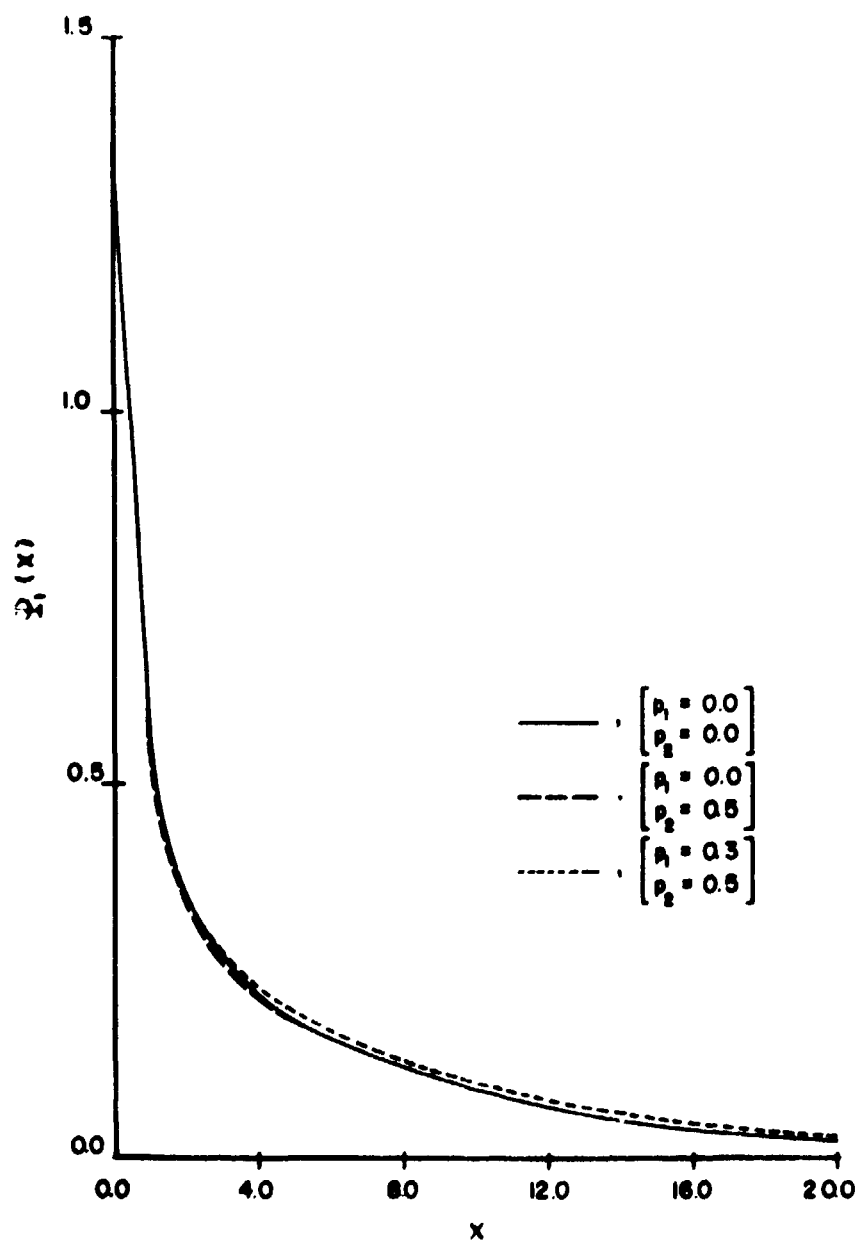


Figura 4-3.9 - Fluxo Total, Grupo 1, Albedo, $\bar{F} = (\frac{1}{6})$, Expansão $P = 1$

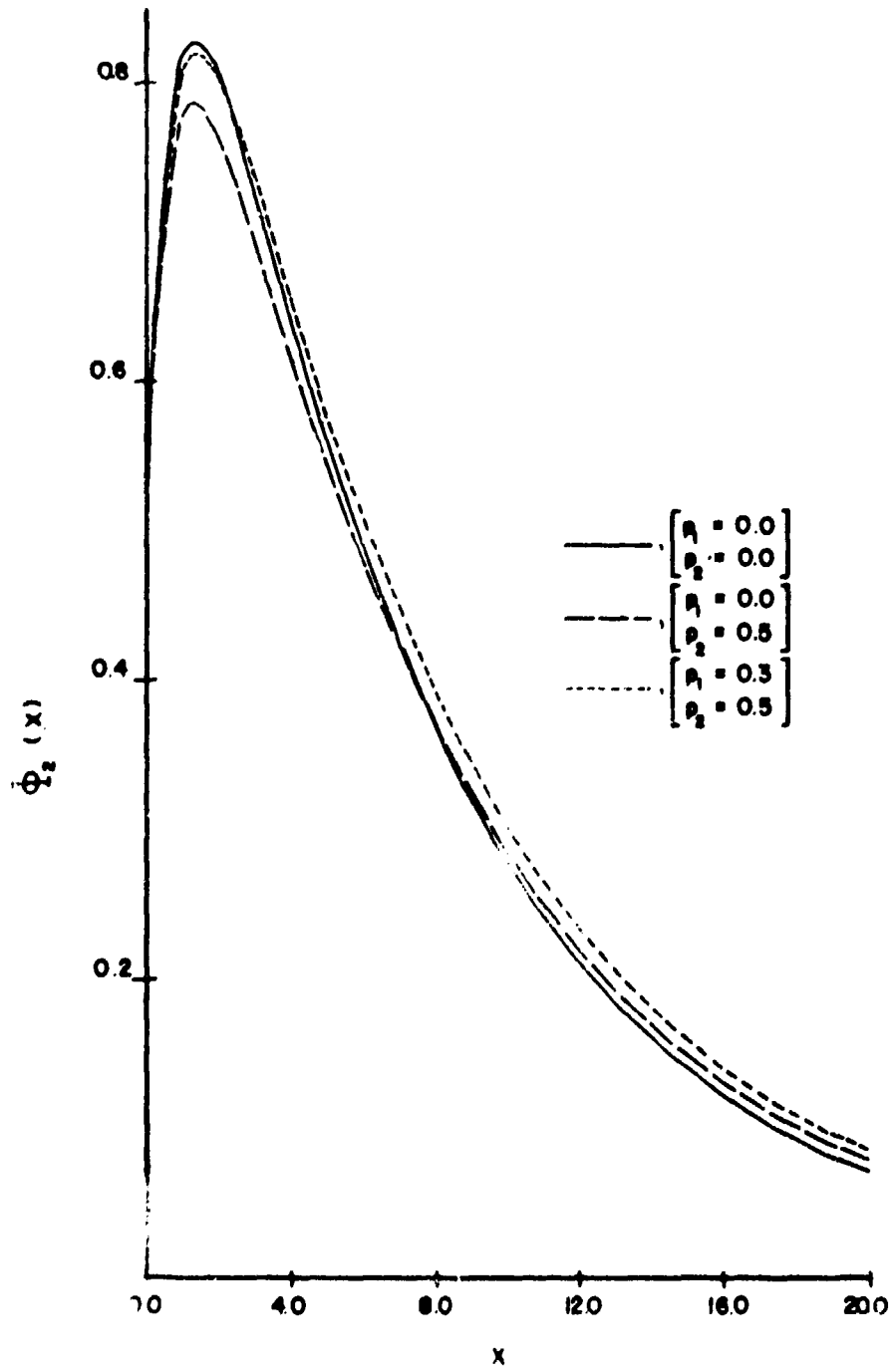


Figura 4-3.10 - Fluxo Total, Grupo 2, Albedo, $F \approx \frac{1}{3}$, Expansão P-1

(b) Na análise dos Gráficos (IV.3.11) e (IV.3.12) nota-se que a anisotropia é bem pronunciada, veja-se no fluxo angular emergente, em pontos próximos da fronteira ($x = 0.5$) e ($x = 2.0$).

O caráter isotrópico, porém, vai se acentuando à medida que a influência da fronteira do meio vai decrescendo.

Comportamento análogo é verificado para o Grupo 2, Gráficos (IV.3.13) e (IV.3.14).

O espalhamento dos nêutrons do Grupo 1 é para traz, tomando-se como sentido o meio, Gráfico (IV.3.12) induzindo um fluxo de retorno de maior magnitude para pontos próximos da fronteira, Gráficos (IV.3.15), comparado com o fluxo incidente ao meio.

Comportamento inverso é verificado para o Grupo 2, Gráficos (IV.3.17) e (IV.3.18).

Os Gráficos (IV.3.19) e (IV.3.20) representam o fluxo total em cada grupo, obtidos através da expansão $P - 1$.

A Tabela IV.3.1 reproduz os valores calculados para os Albedos ($\beta_{\alpha,\gamma}$), os índices α e γ representam respectivamente o termo de fonte e o grupo de nêutrons.

Tabela IV.3.1

 $\beta_{\alpha\beta}$ - Albedos

EXATO					
P_1	P_2	β_{11}	β_{12}	β_{21}	β_{22}
0.0	0.0	0.406351	0.456386	0.155752	0.682338
0.0	0.3	0.405262	0.457637	0.155467	0.674673
0.0	0.5	0.404510	0.458398	0.155210	0.669014
0.0	0.7	0.403736	0.459083	0.154886	0.662829
0.1	0.3	0.399840	0.454598	0.140720	0.628111
0.1	0.5	0.400364	0.460039	0.155997	0.668348
0.3	0.5	0.391719	0.463370	0.157615	0.666970
0.3	0.7	0.390894	0.464051	0.157286	0.660756
0.5	0.7	0.381703	0.467441	0.158962	0.659285
EXPANSÃO $P - 1$					
0.0	0.0	0.381345	0.480010	0.163815	0.673522
0.0	0.3	0.380132	0.481289	0.163539	0.665778
0.0	0.5	0.379297	0.482062	0.163285	0.660062
0.0	0.7	0.378436	0.482751	0.162962	0.653814
0.1	0.3	0.375793	0.483132	0.164396	0.665051
0.1	0.5	0.374940	0.483908	0.164143	0.659325
0.3	0.5	0.365860	0.487662	0.165906	0.657798
0.3	0.7	0.464941	0.488353	0.165580	0.651518
0.5	0.7	0.355287	0.492191	0.167409	0.649889

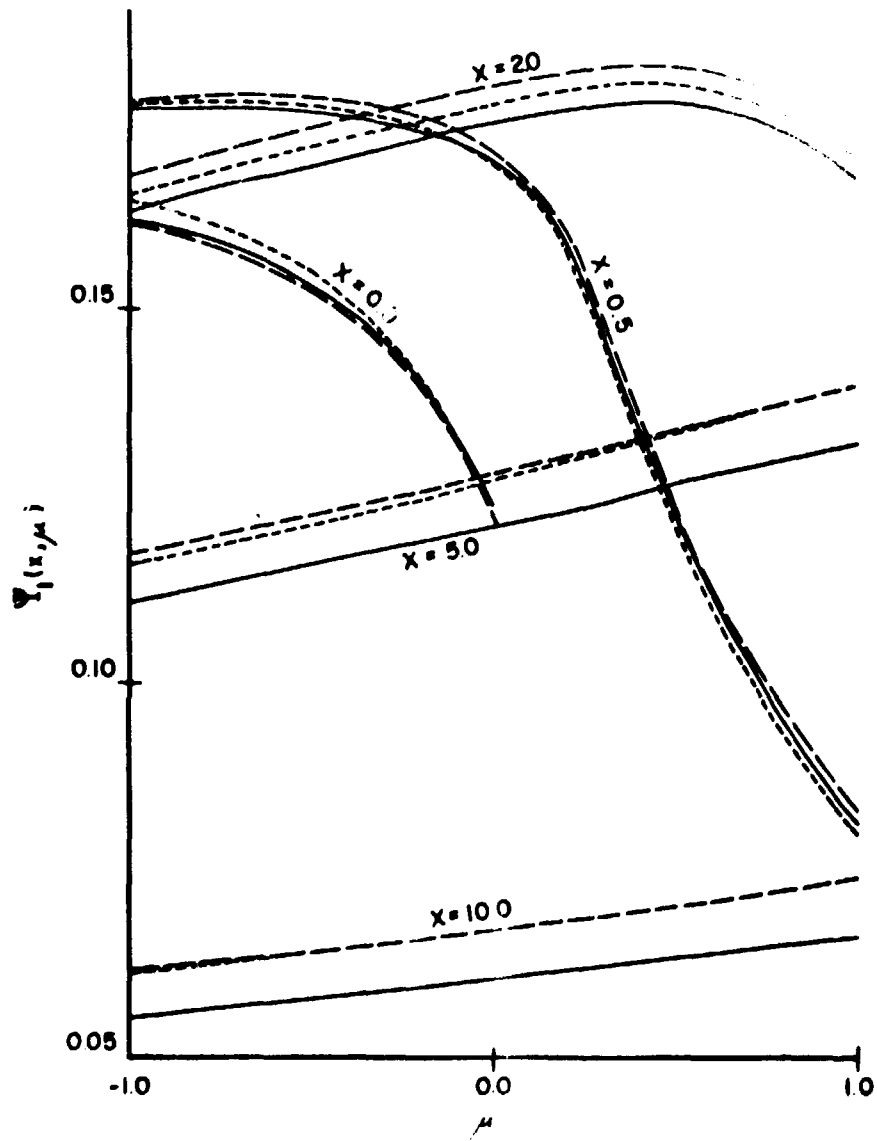


Figura 4-3.11 – Distribuição do Fluxo Angular, Albedo, $F_1 = \left(\frac{1}{\mu}\right)$, Grupo 1 com Espalhamentos: Isotrópico (—, $p_1 = 0.0; p_2 = 0.0$), Anisotrópico (---, $p_1 = 0.0; p_2 = 0.5$) e (-.-., $p_1 = 0.3; p_2 = 0.5$).

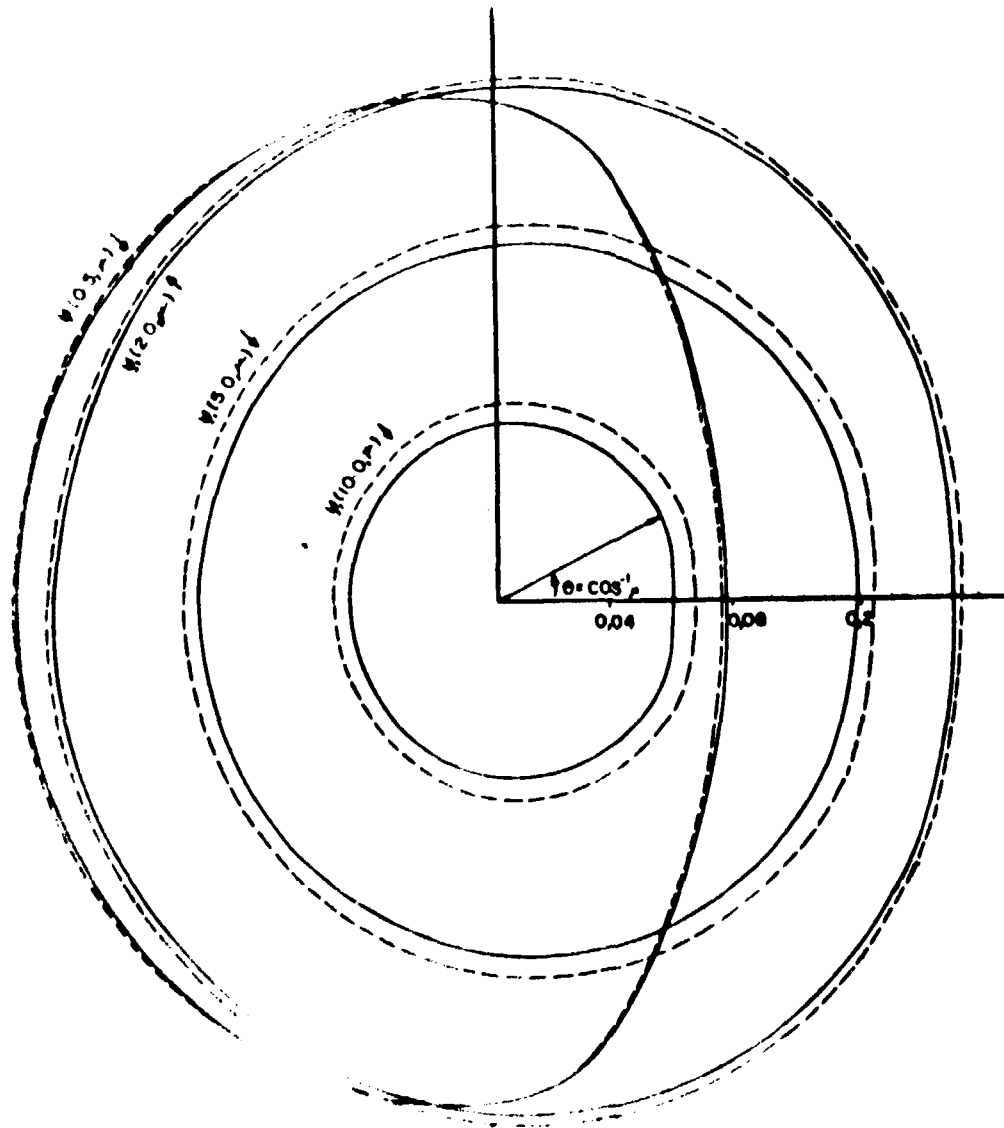


Figura 4-3.12 - Distribuição do Fluxo Angular, Albedo, $F = \left(\frac{1}{\mu}\right)$, Grupo 1 com Espalhamentos: Isotrópico (-, $\rho_1 = 0.0$; $\rho_2 = 0.0$) e Anisotrópico (-·-, $\rho_1 = 0.3$; $\rho_2 = 0.5$).

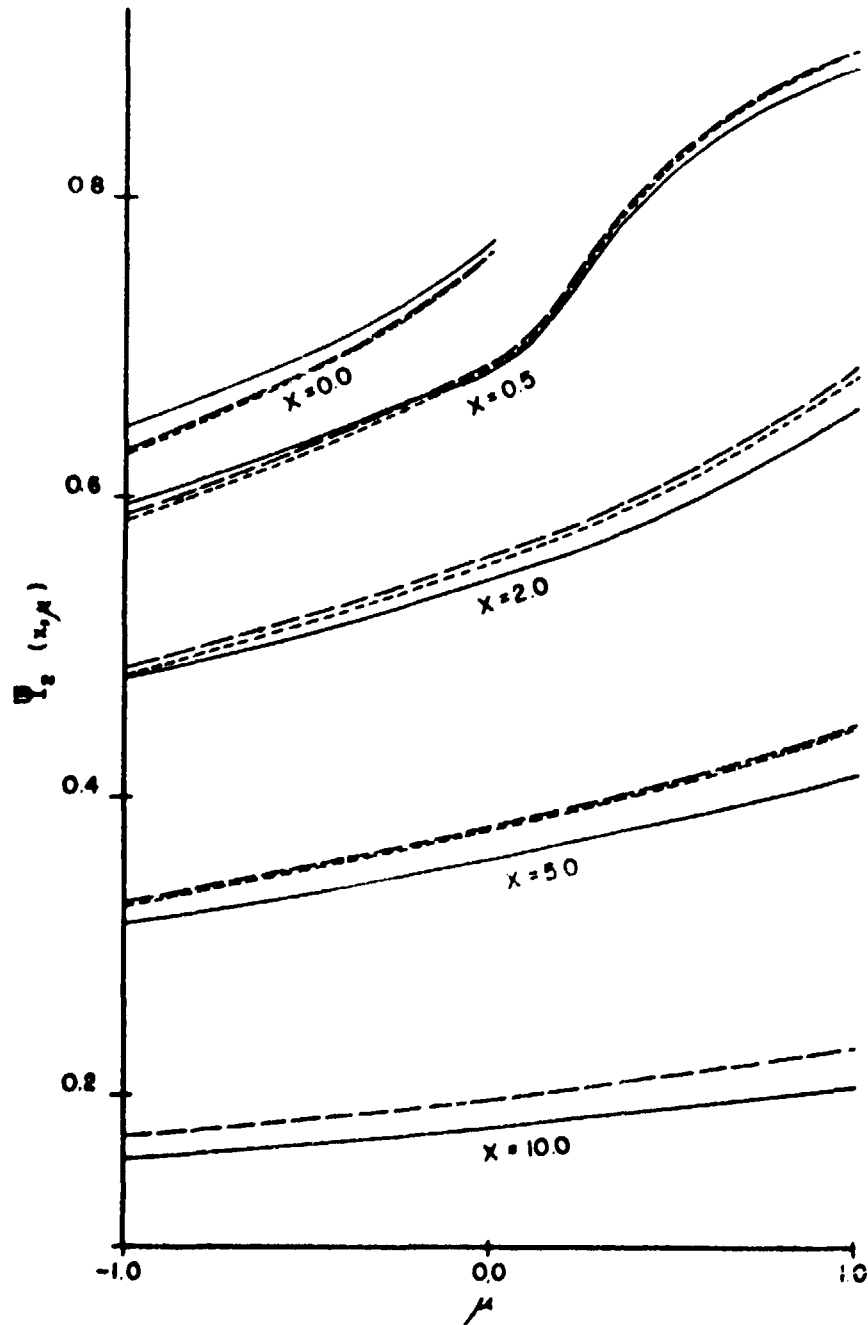


Figura 4-3.13 - Distribuição do Fluxo Angular, Albedo, $F_2 = \frac{1}{6}$, Grupo 2 com Espelhamentos: Isotrópico (—, $\rho_1 = 0.0$; $\rho_2 = 0.0$), Anisotrópicos (---, $\rho_1 = 0.0$; $\rho_2 = 0.5$) e (-.-., $\rho_1 = 0.3$; $\rho_2 = 0.5$).

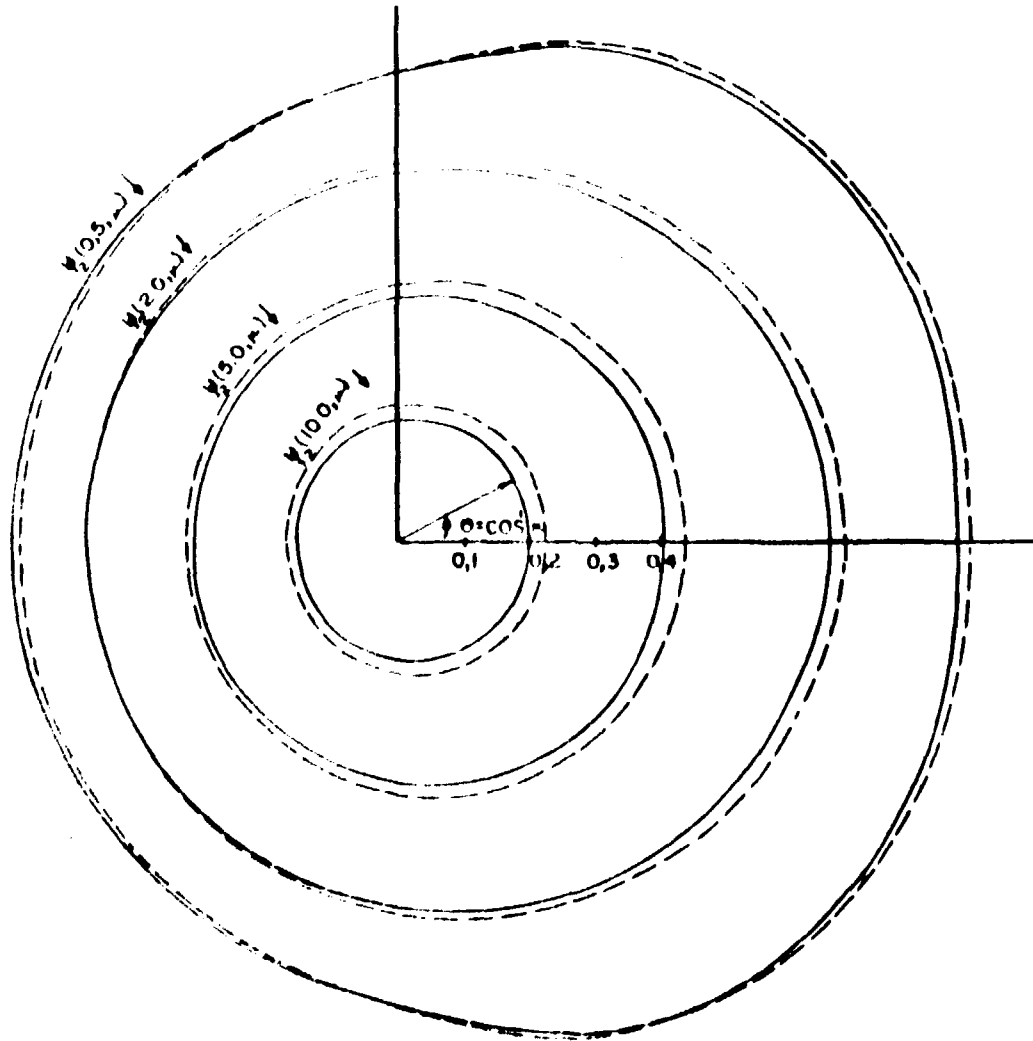


Figura 4-3.14 - Distribuição do Fluxo Angular, Albedo, $\bar{F} = \frac{1}{6}$, Grupo 2 com Espalhamentos: Isotrópico (-, $p_1 = 0.0; p_2 = 0.0$) e Anisotrópico (- -, $p_1 = 0.3; p_2 = 0.5$).

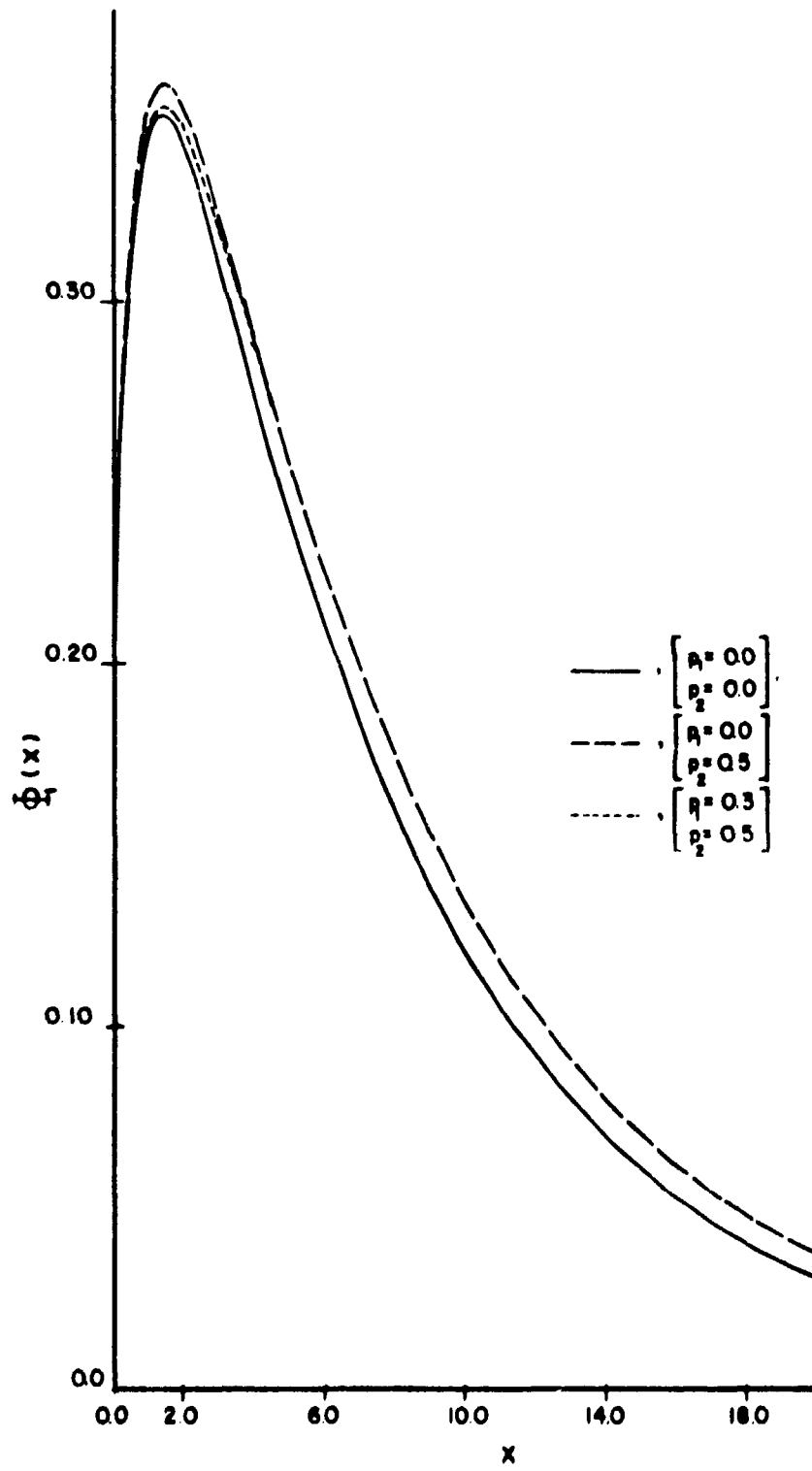


Figura 4-3.15 - Fluxo Total, Grupo 1, Albedo, $E = \frac{1}{2}$

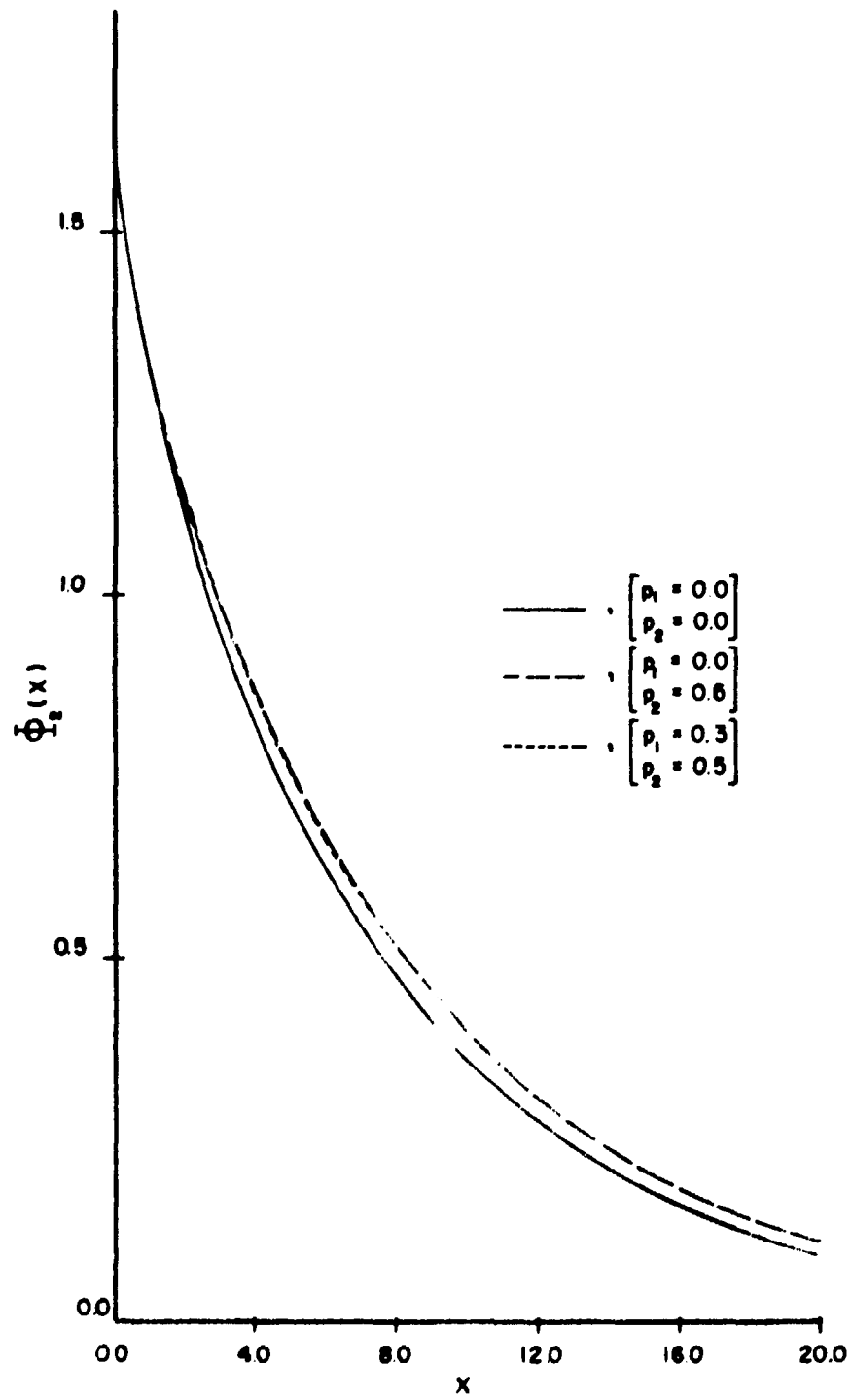


Figure 4-3.16 -- Fluxo Total, Grupo 2, Albedo, $F_2 = \frac{1}{2}$

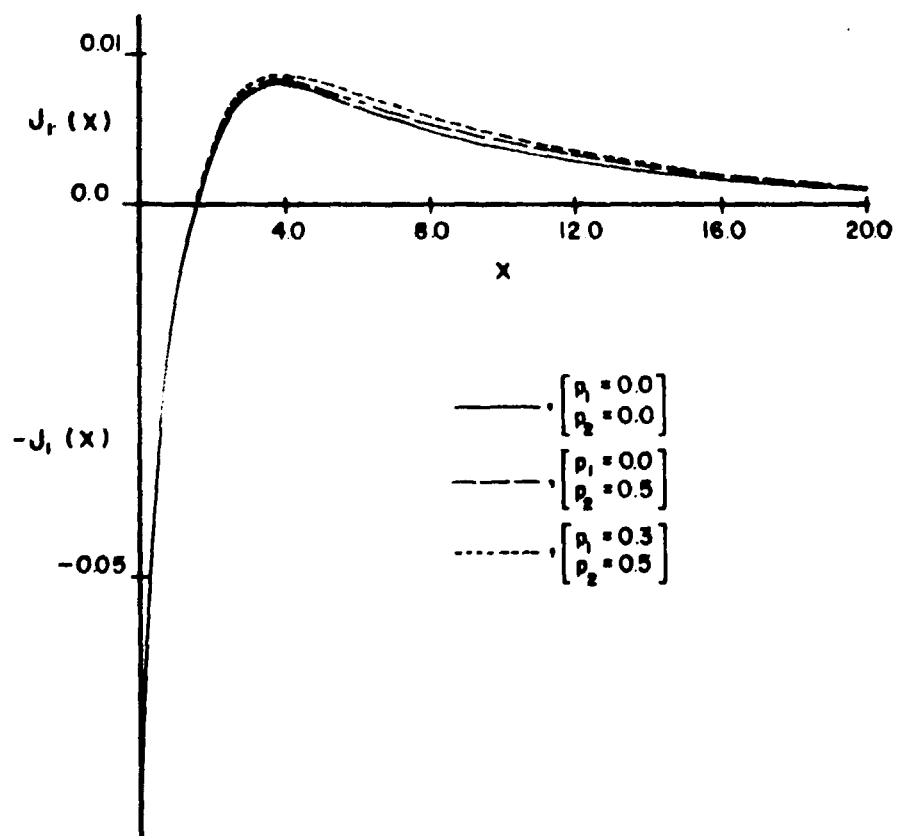


Figura 4-3.17 - Corrente, Grupo 1, Albedo, $\underline{F} = (\delta)$

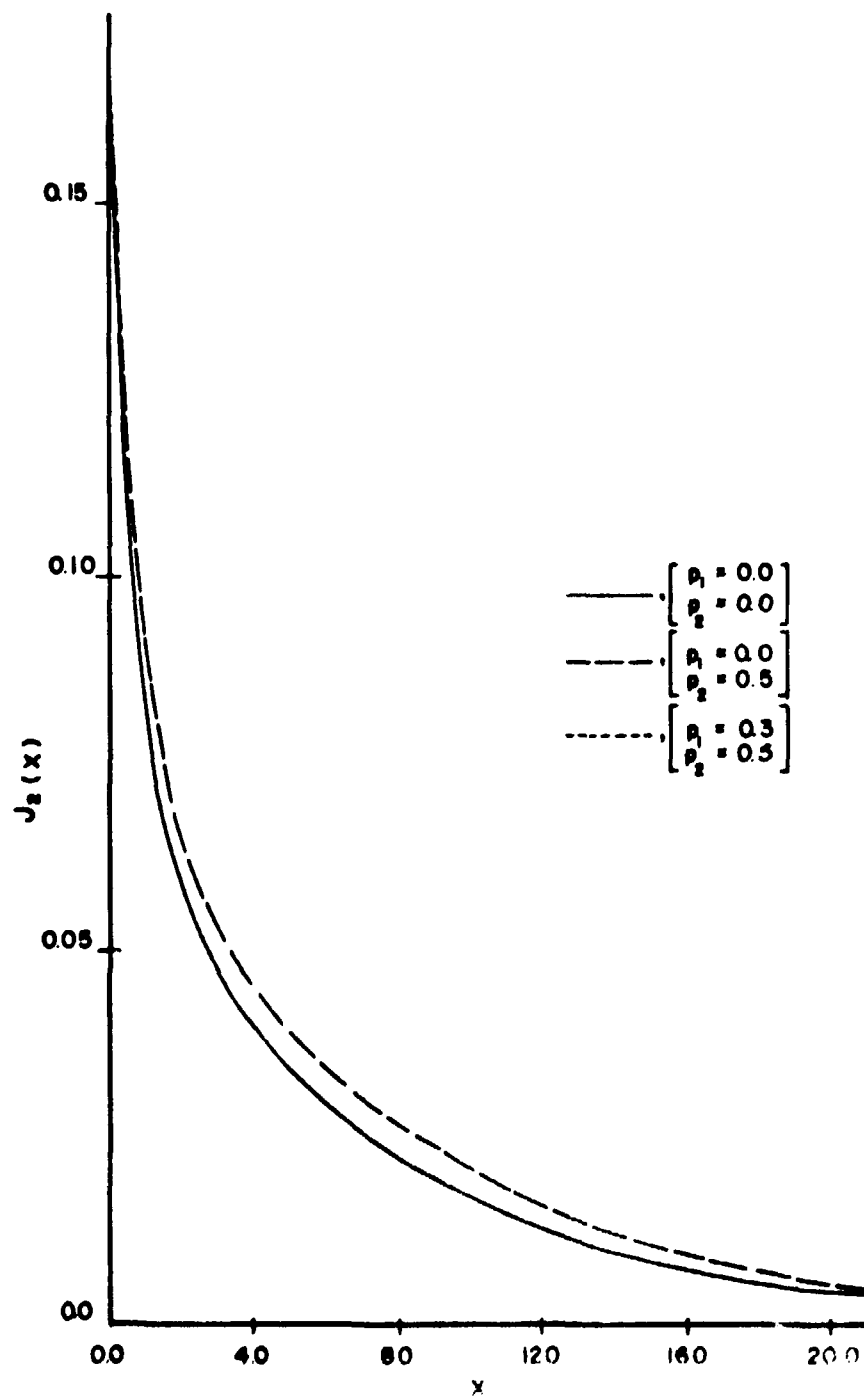


Figura 4-3.18 -- Corrente, Grupo 2, Albedo, $F = \frac{1}{2}$

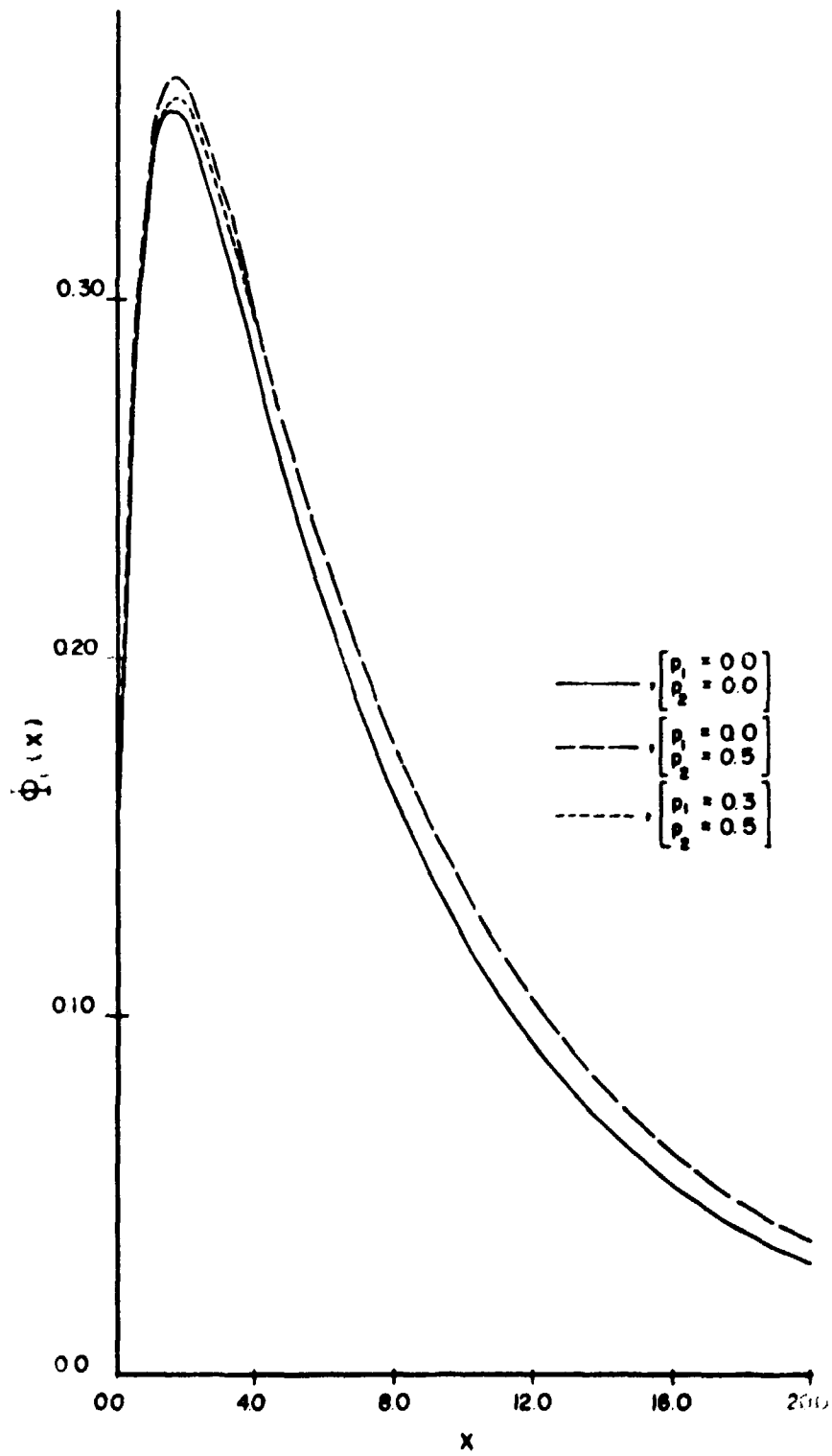


Figura 4-3.19 - Fluxo Total, Grupo 1, Albedo, $F = \begin{pmatrix} 1 \\ 0 \end{pmatrix}$ Expansão P - 1

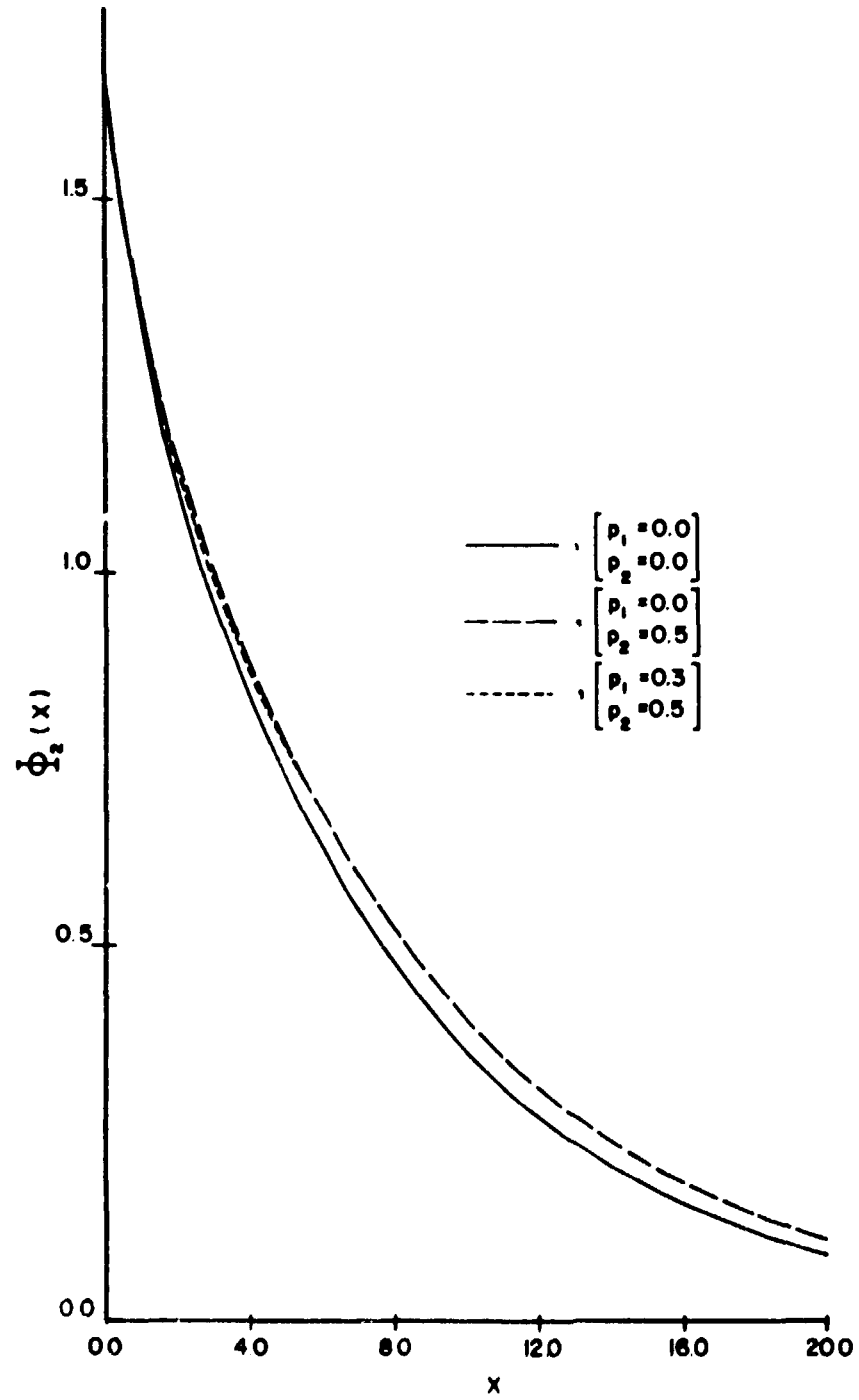


Figura 4-3.20 - Fluxo Total, Grupo 2, Albedo, $E = \frac{1}{3}$ Expansão P - 1

4.3.2 – Problema da Fonte Constante

Os Gráficos (IV.3.21) e (IV.3.22) apresentam a variação na distribuição angular como função do ângulo e da distância dentro do meio respectivamente, para o Grupo 1.

Observa-se como a distribuição angular se torna progressivamente mais isotrópica e cresce em magnitude com a distância dentro do meio.

Nota-se na Figura (4.3.23) que o fluxo total, quando se admite espalhamento isotrópico, tem magnitude sempre maior que o fluxo total com espalhamento anisotrópico, crescendo esta diferença à medida que se incorporam maiores graus de anisotropia na função de transferência.

Este comportamento é justificado pois, o autovalor discreto no caso isotrópico é sempre de menor valor do que o caso anisotrópico (Tabela IV.2.2) e no interior do meio os fluxos são proporcionais à $\exp(-x/\nu_1)$.

Na distribuição emergente ao meio para pontos próximos da fronteira aquela justificativa não se aplica pois nesta região, ocorre uma descontinuidade no meio, tornando o espalhamento mais anisotrópico e acentuando mais a anisotropia quando se incorporam maiores graus de anisotropia.

Para o caso aqui estudado, o vetor \underline{S} da equação (2.4.2.1) foi tomado como sendo,

$$\underline{S} = \begin{bmatrix} 0 \\ 1/\sigma_2 \end{bmatrix} \quad (4.3.2.1)$$

O problema que se obtém quando se considera a fonte no grupo 1 é virtualmente idêntico ao caso aqui estudado.

4.3.3 – O Problema de Milne

Nota-se na Figura (4.3.26), da distribuição do fluxo angular emergente e no interior do meio, que para pontos próximos da fronteira ($x = 0.5$ e $x = 2.0$) a anisotropia do espalhamento é bem acentuada pois, sendo o meio homogêneo, ocorre uma descontinuidade introduzida por aquele limite de divisão; e este efeito à medida que se incorporam maiores graus de anisotropia na função de transferência.

Através da distribuição emergente ($x = 0.0$) este comportamento é melhor caracterizado pois, além do efeito de fronteira, a absorção per se introduz uma anisotropia no espalhamento pois o vácuo atua como um absorvedor puro ($\Psi(0, \mu) = 0, \mu \in (0, 1)$).

Porém, à medida que o efeito de fronteira decresce, o caráter isotrópico do espalhamento se acentua ($x = 5.0$ e $x = 10.0$) e paralelamente se verifica o aumento na magnitude dos fluxos angulares pois no interior do meio eles crescem exponencialmente em direção da fonte (são proporcionais a $\exp(x/\nu_1)$).

Pode-se ainda notar que o fluxo angular isotrópico é, para pontos afastados da fronteira, sempre maior que o caso anisotrópico. Como já foi observado, isto é decorrente do fato de ser o autovalor discreto anisotrópico sempre maior que o isotrópico e aumentando este comportamento à medida que se incorporam maiores graus de anisotropia.

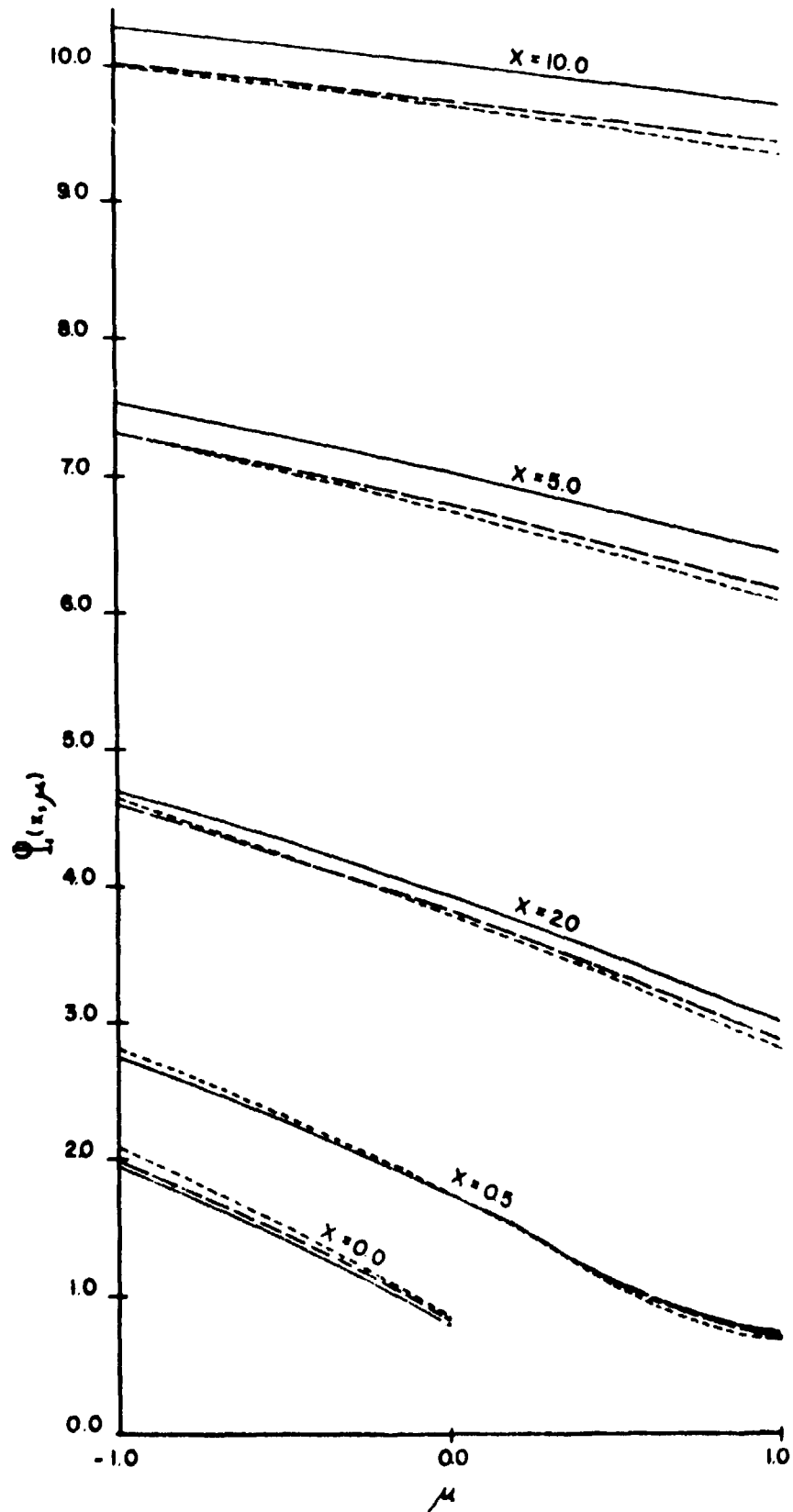


Figure 4-3.21 -- Fonte Constante, Distribuição do Fluxo Angular, Grupo 1, com Espalhamentos: Isotrópico (—, $p_1 = 0.0$; $p_2 = 0.0$), Anisotrópicos (---, $p_1 = 0.0$; $p_2 = 0.5$) e (-·-, $p_1 = 0.3$; $p_2 = 0.5$).

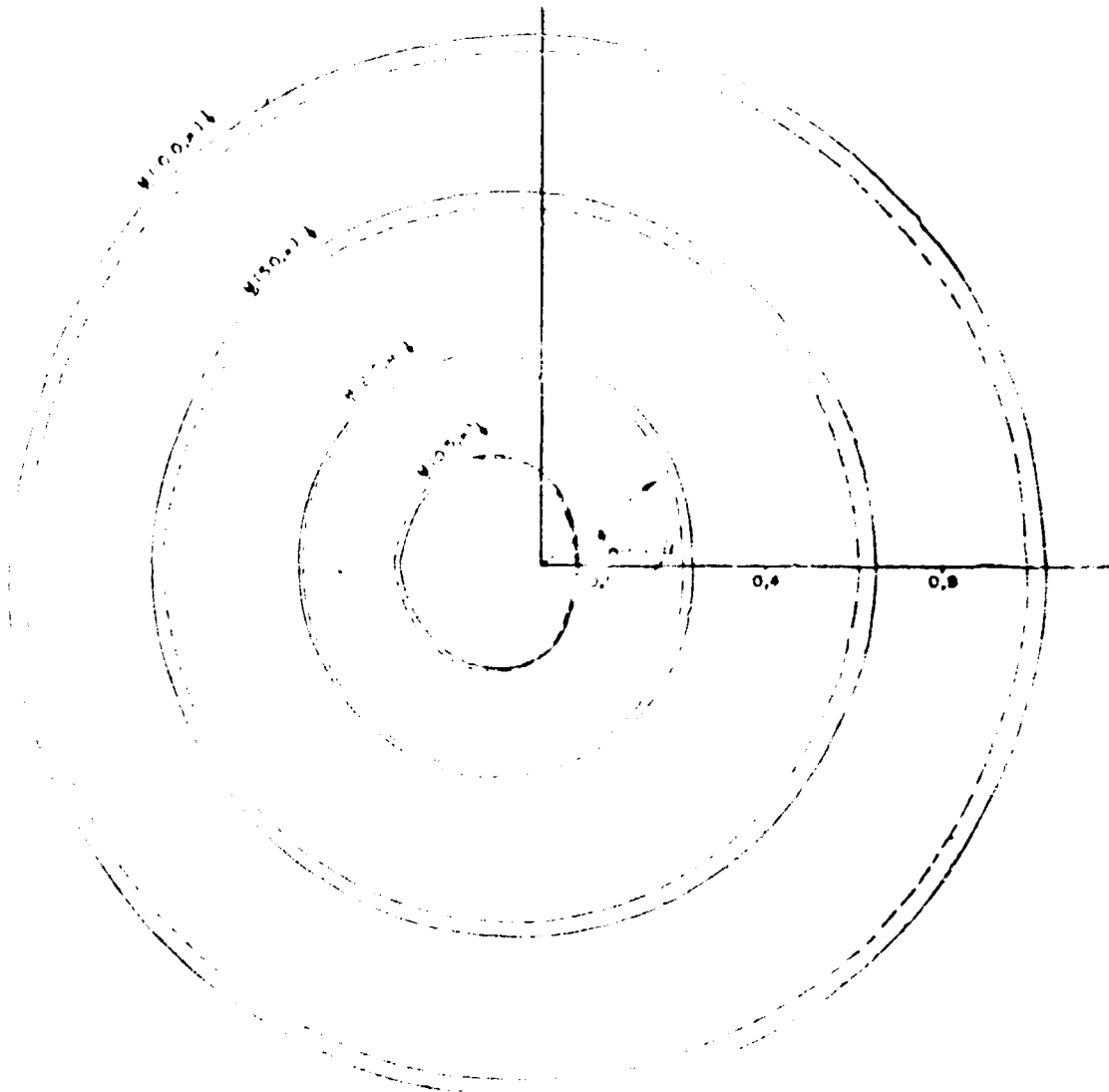


Figura 4-3.22 – Fonte Constante, Distribuição do Fluxo Angular, Grupo 1 com Espalhamentos: Isotrópico (-, $\rho_1 = 0.0$, $\rho_2 = 0.0$) e Anisotrópico (-, $\rho_1 = 0.3$; $\rho_2 = 0.5$).

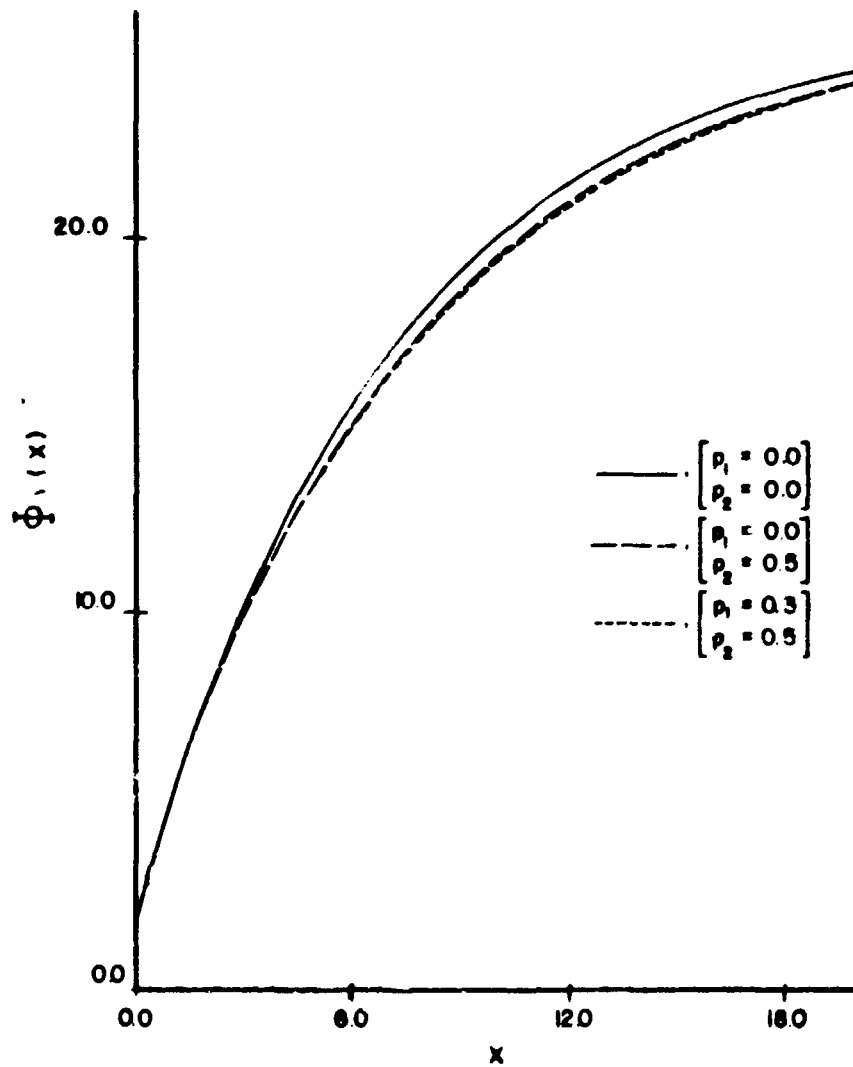


Figure 4.3.23 - Fluxo Total, Grupo 1, Fonte Constante

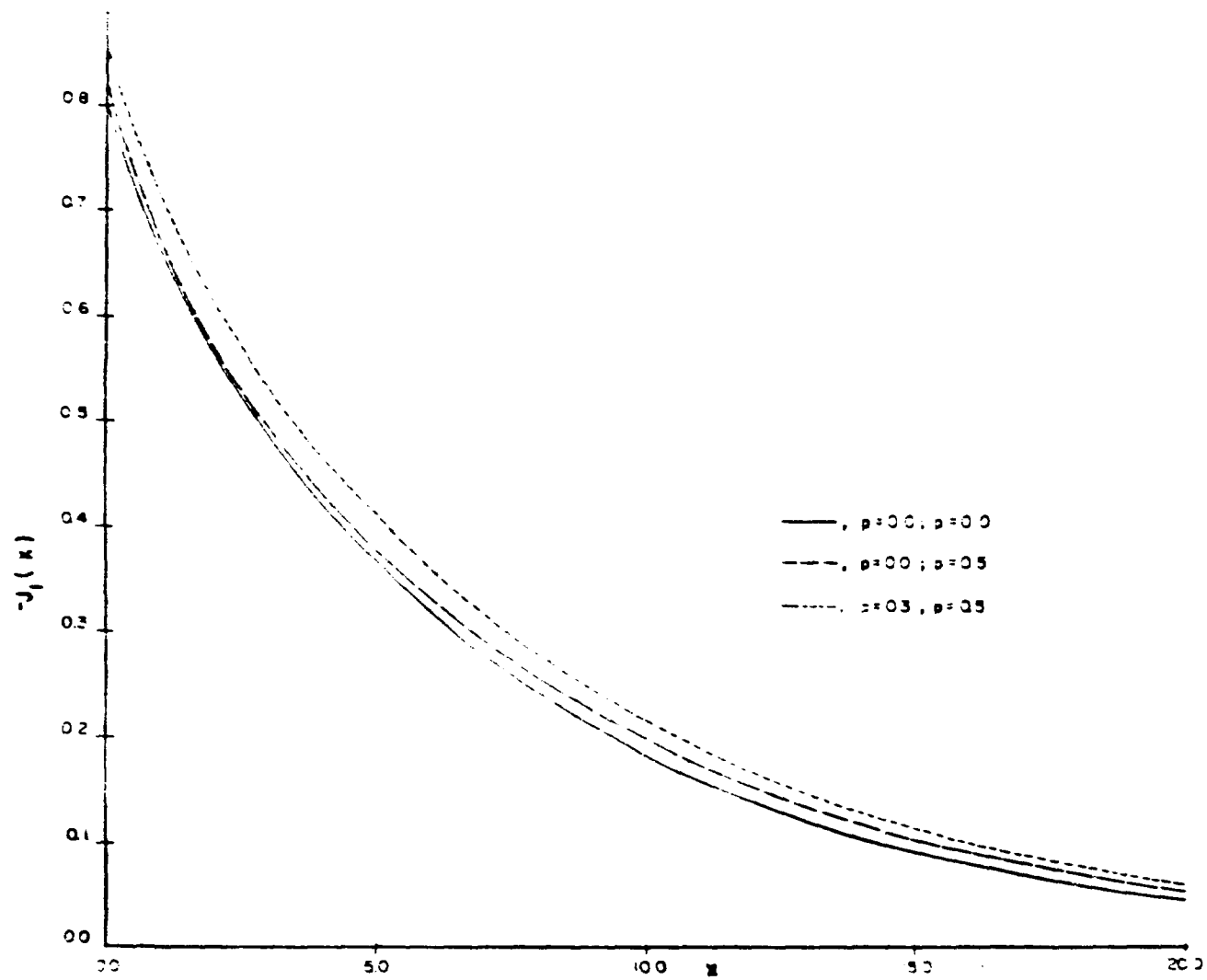


Figura 4-3.24 - Corrente, Grupo I Fonte Constante

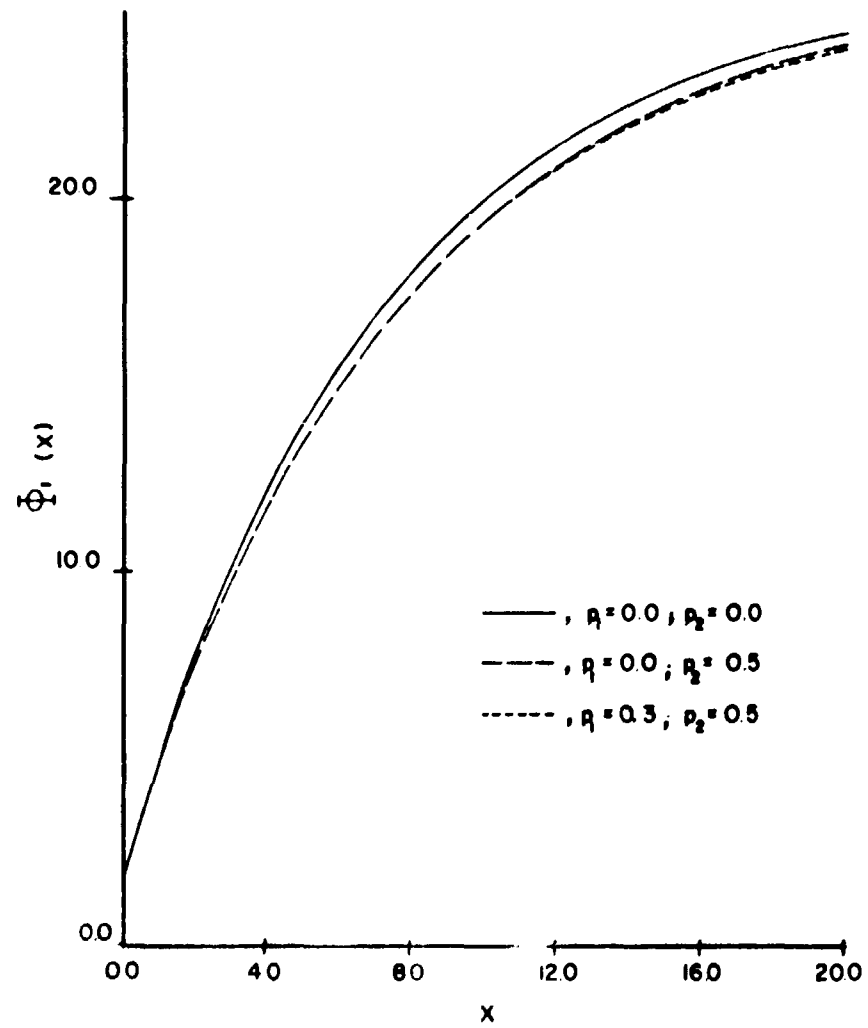


Figura 4-3.25 - Fluxo Total, Grupo 1, Fonte Constante, Expansão P - 1

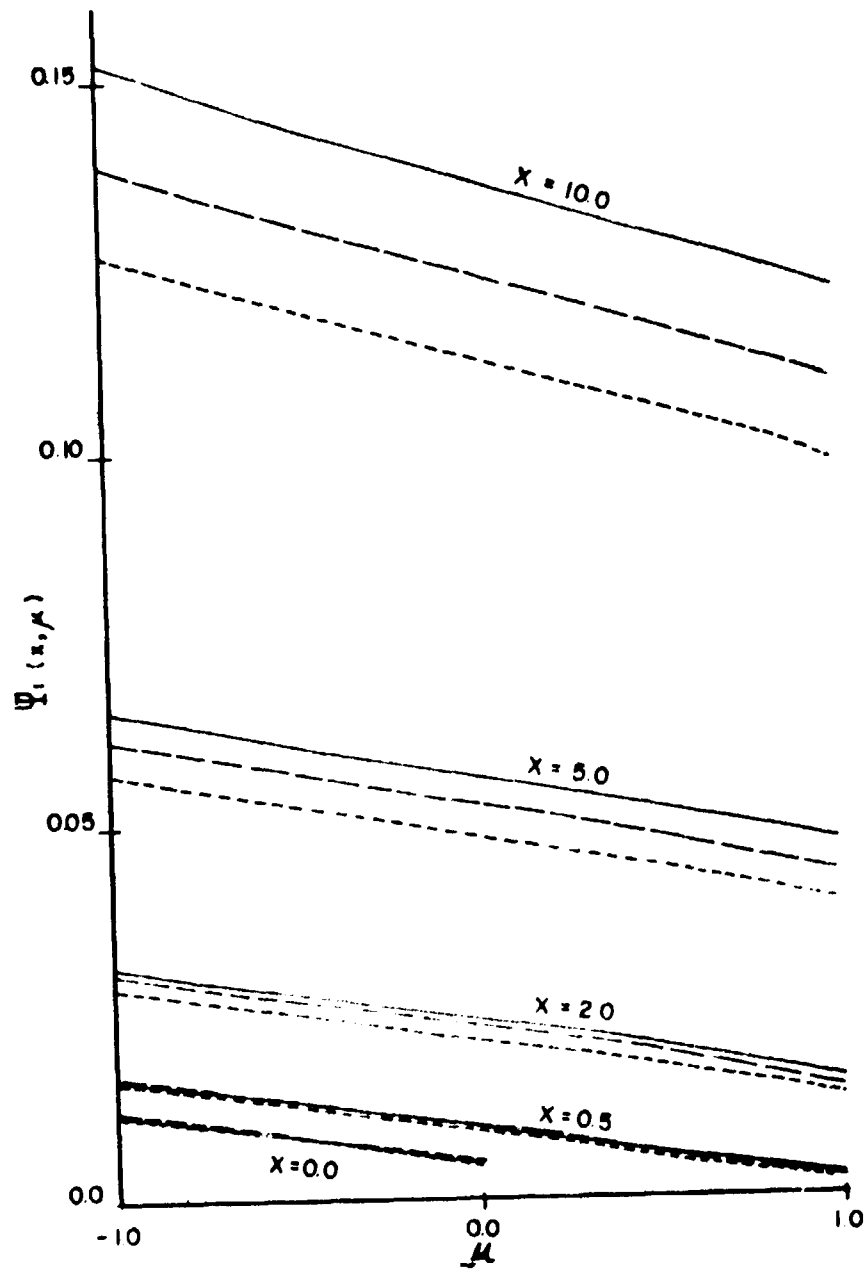


Figura 4-3.26 - Milne Distribuição do Fluxo Angular, Grupo 1 com Espalhamentos: Isotrópico (—, $\rho_1 = 0.0; \rho_2 = 0.0$), Anisotrópico (---, $\rho_1 = 0.0; \rho_2 = 0.5$) e (- · -, $\rho_1 = 0.3; \rho_2 = 0.5$).

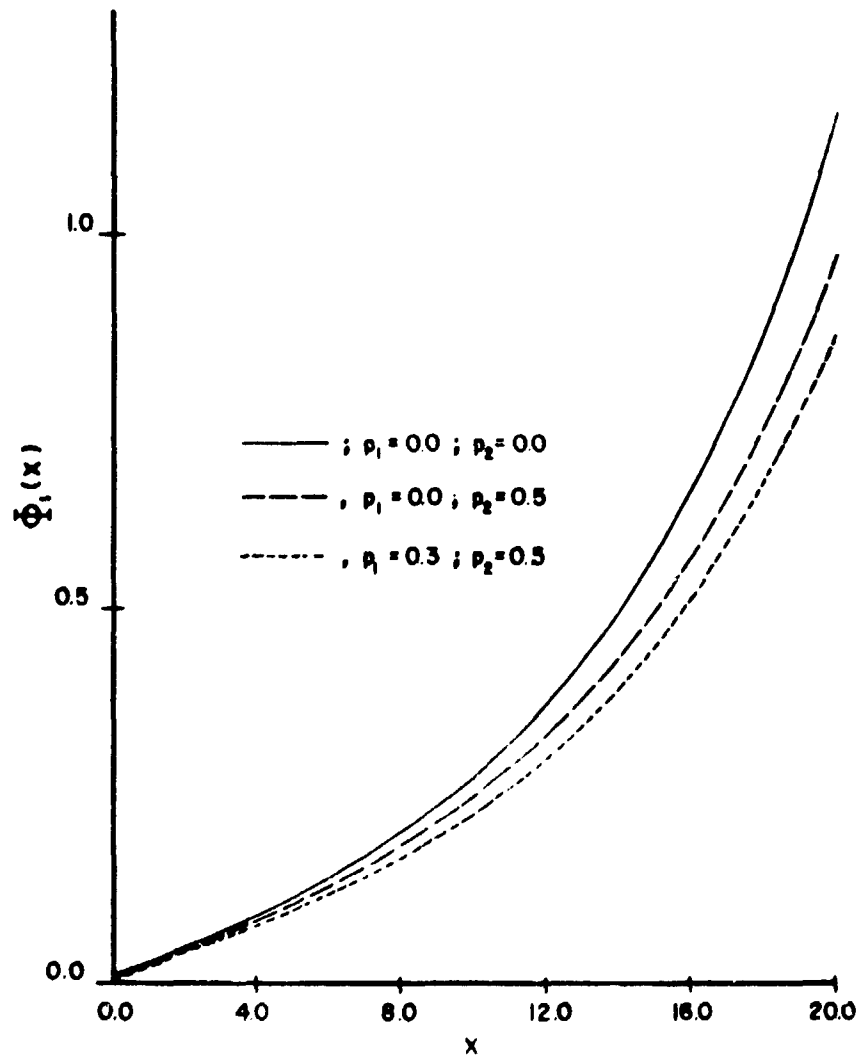


Figura 4.3.27 Fluxo Total, Grupo 1 - Milne

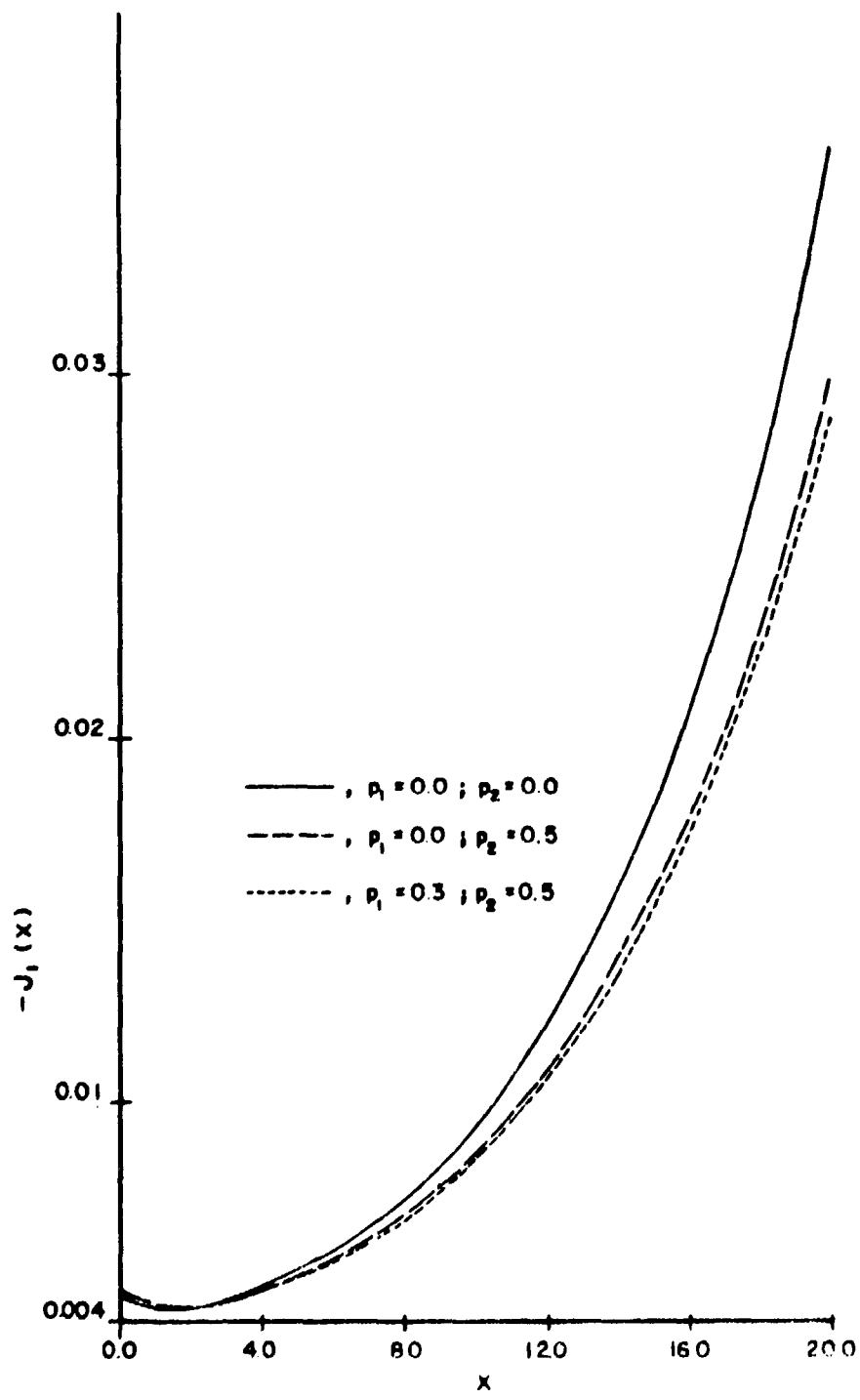


Figura 4-3.28 -- Corrente, Grupo 1 - Milne

Na Figura 4.3.27 tem-se a variação com a posição, em livres caminhos médios, do fluxo escalar, $\psi(x)$ para o Grupo 1.

Tabela IV.3.2
Distância Extrapolada, Problema de Milne

p_1	p_2	z_0	$z_0 (P - 1)$
0.0	0.0	0.665826	0.6218
0.0	0.3	0.727570	0.6792
0.0	0.5	0.776237	0.7245
0.3	0.5	0.786477	0.7344
0.0	0.7	0.832483	0.7768
0.3	0.7	0.842937	0.7869
0.5	0.7	0.851652	0.7954

A Tabela (IV.3.2) apresenta a distância extrapolada em unidades de livres caminhos médios, para vários casos de espalhamentos, em conjunto com os resultados da expansão $P - 1$.

Como foi visto, a distância extrapolada é definida, como a distância além da interface, entre os meios, onde a componente assintótica do fluxo escalar, $\psi(x) = \int_{-1}^1 \Psi(x, \mu) d\mu$, se anula.

A componente assintótica é obtida abandonando-se a contribuição contínua que é composta pela soma dos termos exponenciais correspondentes a $\nu \in (0, 1)$, representando essencialmente a influência da fronteira; estes termos decaem com o aumento de x de modo que no interior do meio a solução da equação de transporte é o fluxo assintótico⁽⁶⁾.

Assim sendo, a solução assintótica corresponde apenas às exponenciais relacionadas com o maior autovalor, ν_1 e é dominante na região longe da fronteira.

Nota-se na Tabela (IV.3.2) que a medida que se incorporam maiores graus de anisotropia a distância de extrapolação aumenta. Este comportamento é justificado pois o decréscimo dos fluxos totais, perto da fronteira, é menor para anisotropias maiores.

Deve-se ainda notar que para um par de raízes discretas, a distância de extrapolação possui o mesmo valor para cada grupo.

6 - CONCLUSÕES

Através do método de Case e das relações de ortogonalidade das autofunções no semi-espaço, estabelecidas por Ishiguro, pode-se converter o conjunto de equações de obtenção dos coeficientes de expansão, equações integrais singulares, num cálculo simples das matrizes H_j em função das quais se expressam os coeficientes.

Os resultados obtidos demonstraram que as relações de ortogonalidade podem ser utilizadas com sucesso, combinadas com testes numéricos dos resultados na solução de problemas de semi-espaço.

Estudou-se o efeito de espalhamento linearmente anisotrópico, baseando-se nas proposições de que a função de transferência pode ser representada através de dois termos da série de polinômios de Legendre, e que a razão dos coeficientes na série depende somente da velocidade inicial dos nêutrons.

Apesar de se ter trabalhado apenas com um meio, acredita-se que foram acrescentadas maiores informações sobre o comportamento de nêutrons quando se considera dois termos comparados com apenas um (espalhamento isotrópico).

Verifica-se que o efeito de fronteira, bastante pronunciado no fluxo emergente, ainda persiste em alguns livres caminhos médios no interior do meio, o que confirma a prática de incorporar-se secções de choque de transporte na teoria da difusão.

Quanto aos efeitos de espalhamento anisotrópico sobre o comportamento da população neutrônica, observou-se que, embora o comportamento esteja qualitativamente, em geral, de acordo com nossas expectativas, por exemplo o aumento na distância de extrapolação a medida que a anisotropia se torna mais pronunciada; em contraposição são observadas diferenças quantitativas bem menores na distribuição angular.

Entretanto, como se considerou somente um caso, água leve pura, não se pode afirmar que este comportamento é geral.

APÊNDICE A

Neste apêndice são apresentadas explicitamente várias funções e integrais descritas por Reith e Siewert utilizadas no desenvolvimento deste trabalho.

Como foi visto nos capítulos que precedem este apêndice os elementos das matrizes \underline{C} e \underline{B} são designados respectivamente por C_{ij} e b_{ij} , de maneira análoga os elementos de \underline{A} são a_{ij} e os determinantes das matrizes \underline{A} , \underline{B} e \underline{C} ; respectivamente por A , B e C ; complementando utilizou-se a seguinte representação;

$$T(z) = \tanh^{-1}(z) = \frac{1}{2} \ln \frac{(1+z)}{(1-z)} \quad (\text{A.1})$$

Então;

$$\underline{\Lambda}(z) = \begin{bmatrix} \Lambda_{11}(z) & \Lambda_{12}(z) \\ \Lambda_{21}(z) & \Lambda_{22}(z) \end{bmatrix}, \quad z \in (-1, 1). \quad (\text{A.2})$$

$$\underline{\lambda}(\nu) = \begin{bmatrix} \Lambda_{11}(\nu) & \Lambda_{12}(\nu) \\ \Lambda_{21}(\nu) & \Lambda_{22}(\nu) \end{bmatrix}, \quad \nu \in (-1, -\frac{1}{\sigma}) \cup (\frac{1}{\sigma}, 1) \quad (\text{A.3})$$

e

$$\underline{\lambda}(\nu) = \begin{bmatrix} \lambda_{11}(\nu) & \lambda_{12}(\nu) \\ \lambda_{21}(\nu) & \lambda_{22}(\nu) \end{bmatrix}, \quad \nu \in (-\frac{1}{\sigma}, \frac{1}{\sigma}), \quad (\text{A.4})$$

onde,

$$\Lambda_{1\alpha}(z) = \delta_{1\alpha} + 2a_{1\alpha} z^2 - 2z \Delta_{1\alpha} (\sigma z^2) T\left(\frac{1}{\sigma z}\right), \quad (\text{A.5a})$$

$$\Lambda_{2\alpha}(z) = \delta_{2\alpha} + 2a_{2\alpha} z^2 - 2z \Delta_{1\alpha} (z^2) T\left(\frac{1}{z}\right), \quad (\text{A.5b})$$

$$\lambda_{1\alpha}(\nu) = \delta_{1\alpha} + 2a_{1\alpha} \nu^2 - 2\nu \Delta_{2\alpha} (\nu^2) T(\sigma\nu), \quad (\text{A.5c})$$

e

$$\lambda_{2\alpha}(\nu) = \delta_{2\alpha} + 2a_{2\alpha} \nu^2 - 2\nu \Lambda_{2\alpha} (\nu^2) T(\nu), \quad (\text{A.5d})$$

para $\alpha = 1$ e 2 .

A função de dispersão $\Lambda(z) = \det \Delta(z)$ pode ser descrita como:

$$\Lambda(z) = 1 + 2z^2 P_1(z) - 2zP_2(z) T\left(\frac{1}{\sigma z}\right) - 2z P_3(z) T\left(\frac{1}{z}\right) + \\ + 4z^2 P_4(z) T\left(\frac{1}{\sigma z}\right) T\left(\frac{1}{z}\right) \quad (\text{A.6})$$

onde

$$P_1(z) = a_{11} + a_{22} + 2Az^2, \quad (\text{A.7a})$$

$$P_2(z) = c_{11} + (\sigma a_{11} + 2c_{11}a_{22} - 2c_{12}a_{21})z^2 + 2\sigma Az^4, \quad (\text{A.7b})$$

$$P_3(z) = c_{22} + (a_{22} + 2c_{22}a_{11} - 2c_{21}a_{12})z^2 + 2Az^4, \quad (\text{A.7c})$$

e

$$P_4(z) = C + (\sigma c_{22}a_{11} + c_{11}a_{22} - c_{12}a_{21} - \sigma c_{21}a_{12})z^2 + \sigma Az^4 \quad (\text{A.7d})$$

Os valores de contorno da função $\Lambda(z)$ podem ser expressos por:

$$\Lambda_{\pm}(\mu) = 1 + 2\mu^2 P_1(\mu) - 2\mu P_2(\mu) T'(\sigma\mu) - 2\mu P_3(\mu) T(\mu) \\ + 4\mu^2 P_4(\mu) T'(\sigma\mu) T(\mu) - \pi^2 \mu^2 P_4(\mu) \theta(\mu) \\ + i\pi\mu [P_2(\mu)\theta(\mu) + P_3(\mu) - 2\mu P_4(\mu) T(\mu)\theta(\mu) \\ - 2\mu P_4(\mu) T'(\sigma\mu)], \quad \mu \in (-1, 1). \quad (\text{A.8})$$

onde

$$T'(\sigma\mu) = T(\sigma\mu), \quad \text{para } \mu \in \left(-\frac{1}{\sigma}, \frac{1}{\sigma}\right), \quad (\text{A.9a})$$

e

$$T'(\sigma\mu) = T\left(\frac{1}{\sigma\mu}\right), \quad \text{para } \mu \in \left(-1, -\frac{1}{\sigma}\right) \cup \left(\frac{1}{\sigma}, 1\right); \quad (\text{A.9b})$$

As integrais de normalização podem ser resumidas através das equações;

$$N(\nu_i) = \nu_i^2 \left[P_3(\nu_i) - 2\nu_i P_4(\nu_i) T\left(\frac{1}{\sigma\nu_i}\right) \right] \frac{d}{dz} \Lambda(z) \Big|_{z=\nu_i} \quad (\text{A.10a})$$

$$N^{(1)}(\nu) = \nu \Lambda^+(\nu) \Lambda^-(\nu), \nu \in \left(-\frac{1}{\sigma}, \frac{1}{\sigma}\right), \quad (\text{A.10b})$$

e

$$N^{(2)}(\nu) = \nu \Lambda^+(\nu) \Lambda^-(\nu), \nu \in \left(-1, -\frac{1}{\sigma}\right) \cup \left(\frac{1}{\sigma}, 1\right). \quad (\text{A.10c})$$

Finalmente as integrais $N_{\alpha\beta}$ são obtidas pela seguinte equação:

$$\begin{aligned} N_{\alpha\beta}(\nu) &= \lambda_{\theta_1\alpha}(\nu) \lambda_{1\beta}(\nu) + \lambda_{\theta_2\alpha}(\nu) \lambda_{2\beta}(\nu) \\ &+ \pi^2 \nu^2 \left[\Delta_{\theta_1\alpha}(\sigma\nu^2) \Delta_{1\beta}(\sigma\nu^2) + \Delta_{\theta_2\alpha}(\nu^2) \Delta_{2\beta}(\nu^2) \right]. \\ \alpha, \beta &= 1, 2, \nu \in \left(-\frac{1}{\sigma}, \frac{1}{\sigma}\right) \end{aligned} \quad (\text{A.11})$$

APÊNDICE B

Relação dos programas e subprogramas utilizados na resolução dos problemas propostos neste trabalho.

B – 1 Introdução

Faz-se a descrição sucinta do cálculo executado pelos programas e subprogramas elaborados para este trabalho.

B – 2 Solução da Equação de Dispersão

I – Programa Principal

PR1: cálculo dos autovalores discretos da equação de dispersão.

II – Subprogramas

a) FUNCTION ZFL(Z): Resolução da equação A.6.

b) FUNCTION ZFL(Z): Resolução da derivada da equação A.6.

B – 3 Solução dos Problemas Propostos

I – Programa Principal

O programa principal é constituído por um conjunto de comandos de definição de variáveis necessárias na solução dos problemas. Ele é construído de tal forma que permite obter as soluções de qualquer dos problemas modificando-se ou introduzindo-se apenas alguns comandos específicos de cada problema.

No Apêndice C são apresentadas as listagens tanto deste programa principal como dos subprogramas utilizados.

II – Subprogramas

a) **HMATRIX**: Calcula e testa a precisão dos resultados das matrizes $H(\mu)$, $L(\mu)$ e adjuntas.

b) **SHI(Z, I1, I2)**: Calcula o módulo do determinante do inverso da matriz $H(\mu)$ no ponto $z = \nu_1$. Os parâmetros I1 e I2, são controladores de cálculo.

c) **SINGH(Z, IC, IH)**: Faz o teste dos valores obtidos das matrizes $H(\mu)$ e $L(\mu)$ através da equação integral singular equação 4.3.15a e calcula o momento da equação 2.3.15.

d) **LAMBDA(Z)**: Calcula $\lambda_{\alpha\beta}$, $\Lambda_{\alpha\beta}$, $\Delta(\Sigma z^2)$, $\lambda_{\alpha\beta}$, $\Lambda_{\alpha\beta}$ e $\Lambda_d(\Sigma z^2)$.

e) **VECT(Z, I1, I2)**: Calcula os vetores de normalização, V e U .

- f) **FNORM(Z, I1 e I2)**: Cálculo dos integrais de normalização, $N(\nu_1)$, $N^{(1)}(\nu)$ e $N^2(\nu)$.
- g) **SOM(Z, I1, I2)**: Cálculo da matriz $\underline{\Omega}(z)$.
- h) **SOA(Z, I1, I2)**: Cálculo da matriz $\underline{\Omega}_g(z)$.
- i) **SOD(Z1, Z2, I1, I2)**: Cálculo do produto $\underline{\Omega}_g(z_1) \underline{D} \underline{\Omega}(z_2)$.
- j) **CHECK1(IC)**: Testa as condições de contorno, através dos momentos.
- l) **FLUXM(Z, UO, FLUX1, FLUX2)**: Cálculo da distribuição do fluxo angular, onde z é a distância em livres caminhos médios, e UO é o ângulo.
- m) **DENSM(Z, DEN1, DN2, DAS2)**: Cálculo dos fluxos escalares, (DEN1, DEN2) e dos fluxos assintóticos (DAS1, DAS2).
- n) **CURRM(Z, CUR1, CUR2)**: Cálculo da distribuição da corrente.
- o) **CHECK2**: Compara duas formas de obtenção das integrais de normalização no intervalo $(0, 1/\sigma)$ e calcula os coeficientes de expansão nos pontos 0, $1/\sigma$ e 1, quando se toma o limite analítico das equações (2.4.1.4, 5 e 6).


```

      DO 22 I=1,N
      X(I)=S1/2.00*(X(I)+1.00)
22  W(I)=S1/2.00*W(I)
      DO 23 I=1,M
      X(I)=1.00-S1)*2.00)/2.00*(1.00+S1/2.00)
23  W(I)=1.00-S1)/2.00)*2.00)
      WRITE(6,1)J,J,N,M,(X(I),W(I),I=1,M)
1013 FORMAT(//10X,'QUADRATURE',215,//115X,2F20.15)
L*****TESTE DAS QUADRATURAS *****
      DO 24 I=1,10
      SUM=0.00
      DO 24 J=1,NM
24  SUM=SUM+X(I)**(1-110*J)
26  WRITE(6,1)1501,SUM
1015 FORMAT(10X,15,20.15)
L*****TESTE DAS QUADRATURAS PARA P1 E P2 *****
      DO 100 I=1,10
      READ(5,1001) (Z(I),P1,P2)
1003 FORMAT(10X,15,20.15)
      W1=0.12**I
      W11=0.11**P1
      W12=0.11**P2
      W2=0.22**I
      W21=0.21**P1
      W22=0.21**P2
      W3=0.33**I
      W31=0.31**P1
      W32=0.31**P2
      W4=0.44**I
      W41=0.41**P1
      W42=0.41**P2
      W5=0.55**I
      W51=0.51**P1
      W52=0.51**P2
      W6=0.66**I
      W61=0.61**P1
      W62=0.61**P2
      W7=0.77**I
      W71=0.71**P1
      W72=0.71**P2
      W8=0.88**I
      W81=0.81**P1
      W82=0.81**P2
      W9=0.99**I
      W91=0.91**P1
      W92=0.91**P2
      WRITE(6,1011)P1,P2
1011 FORMAT(//10X,100110),//10X,'P1,P2',2F10.5)
      WRITE(6,1)10511, (Z(I),I=1,M)
1009 FORMAT(//15X,'AUTO-VALOR DISCRETOS',15,20.15)
L*****TESTE DAS AUTO-VALORES *****
      DO 28 I=1,10
      Z=Z(I)-1.00-1.
      Z2=Z(I)*Z(I)-1.
      CALL LAMBDA(Z)
      L21=1.000
      CALL LAMBDA(Z2)
      L22=1.000
      CALL LAMBDA(Z2)
      L23=1.000
28  WRITE(6,1)1061Z1,Z2,L21,L22
1016 FORMAT(//15X,'TESTE DO AUTO-VALOR',15,20.15,2F)
L*****TESTES DE NORMALIZACAO *****
      DO 31 I=1,10
      CALL ZG(Z(I),L)
      WRITE(6,30)I
30  CALL ZG(Z(I),L)
      WRITE(6,30)I
3009 FORMAT(//10X,'VECTORES DE NORMALIZACAO',2F)

```

```

WRITE(6,2010)(V1(1),V1(2),V1(3),V2(1),V2(2),V2(3),I=1,N)
WRITE(6,2010)(V3(1),V3(2),V3(3),U2(1),U2(2),U2(3),I=1,M)
2010 FORMAT(1X,4E15.3)
DO 32 I=1,AP
32 CALL VECTZU(I),I,11
WRITE(6,2010)(U1(I),U2(I),UA1(I),UA2(I),I=1,KP)
C*****INTEGRAIS DE NORMALIZAÇAO *****
DO 40 I=1,AM
40 CALL FFORMX(I),I,11
WRITE(6,2011)
2011 FORMAT(10X,'INTEGRAIS DE NORMALIZAÇAO',/)
WRITE(6,2010)(CN(I),I=1,AM)
DO 42 I=1,AP
42 CALL FFORMZU(I),I,11
WRITE(6,2010)(UN(I),I=1,KP)
C*****LAMBDA *****
WRITE(6,2013)
2013 FORMAT(10X,'LAMBDA',/)
DO 36 I=1,AM
CALL LAMBDA(X(I))
36 WRITE(6,2015)(LMO1,LMO2,LMO3,LMO4,LMO5)
2015 FORMAT(10X,'LMO',5D20.5)
C*****MATRIZES M E L *****
CALL MMATX
DO 43 I=1,AP
DO 43 J=1,AP
Z=ZU(I)
CALL SHIZ(I,J)
SD1=SD1+SDJ-Z*SDJ
43 WRITE(6,2017)(SD1,SD2,SD3,SD4,SD5)
1010 FORMAT(10X,'DETERMINANT MI-NYU-11',5D15.3)
DO 45 I=1,AP
IF(I.EQ.1)WRITE(6,1020)
1020 FORMAT(10X,'MATRIZ M',/)
IF(I.EQ.2)WRITE(6,1022)
1022 FORMAT(10X,'MATRIZ M ADJUNTA',/)
DO 45 J=1,AP
F1=1
U=0.1000F1
CALL SHIU(I,J)
45 WRITE(6,1024)(UM1,UM2,UM3,UM4)
1024 FORMAT(10X,'U',5F20.15)
WRITE(6,2012)
2012 FORMAT(10X,'TESTE DE SHI',/)
DO 120 I=1,AP
CALL SHI(X(AM),I,C)
120 WRITE(6,1024)(UM1,UM2,UM3,UM4)
DO 130 I=1,AP
WRITE(6,2002)
2002 FORMAT(10X,'CALCULO INTEGRAL SINGULAR DE HIAI',//15X,
1 'NYU',12X,'LE',27X,'LU',27X,'DEI',/)
DO 122 I=1,21
F1=1
U=0.0500F1
S1=0.20 U=0.650C
IF(I.EQ.1) U=0.710C
122 CALL SINGHC(0,SHI)

```

```

WRITE(6,2004)
2004 FORMAT(10X,'MOMENTO',4X,'LE',27X,'LD',27X,'DIF',/)
DO 124 I=1,11
124 CALL SUBROUTINE(I,IM)
130 CONTINUE
*****MATRIZES OMEGA *****
DO 44 I=1,4P
11=NM+I
CALL SUBROUTINE(I,11,1)
44 CALL SUBROUTINE(I,11,1)
DO 40 I=1,4M
CALL SUBROUTINE(I,1)
40 CALL SUBROUTINE(I,1,1)
*****PROBLEMA DE MILNE*****
WRITE(6,2020)
2020 FORMAT(10X,'PROBLEMAS PROPOSTOS',50(1H*))
*****COEFICIENTES DISCRETOS E CONTINUOS *****
DO 50 I=1,4P
11=NM+I
12=NM+I
CALL SUBROUTINE(I,11,12)
CALL I1=Z0(I)*Z0(I)/Z0(I)*Z0(I)/DN(I)*C1(A1(I)*S011+UA2(I)*S021)
1*0(I)*V1(I)*S011+V12(I)*S021+U2(I)
50 WRITE(6,1017),I,DA(I)
1017 FORMAT(710X,'COEFICIENTE DISCRETO',13,D2,1,1)
WRITE(6,1019)
1019 FORMAT(710X,'COEFICIENTE CONTINUO',X,A11,A12,/,/)
DO 52 I=1,4M
CALL SUBROUTINE(I,20(I),1,12)
CALL I1=A1(I)*Z0(I)/Z0(I)*Z0(I)/CN(I)*C1(V1(I)*S011+V12(I)*S021)
1*0(I)*V1(I)*S011+V12(I)*S021+U2(I)
CALL I1=A1(I)*Z0(I)/A1(I)*Z0(I)/CN(I)*C1(V2(I)*S011+V22(I)*S021)
1*0(I)*V1(I)*S011+V22(I)*S021+U2(I)
52 WRITE(6,1021),I,CA(I),CA2(I)
1021 FORMAT(15X,F15,10,2D6,15)
DO 54 I=1,4P
11=NM+I
CALL SUBROUTINE(I,Z0(I),11,12)
CALL I1=A1(I)*Z0(I)/Z0(I)*Z0(I)/CN(I)*C1(V1(I)*S011+V12(I)
1*S021+U1(I)*V1(I)*S011+V12(I)*S021+U2(I))
54 WRITE(6,1023),I,CA(I)
*****TESTE DOS COEFICIENTES*****
WRITE(6,1023)
1023 FORMAT(710X,'MOMENTOS DAS CONDIÇÕES DE CONTORNO DE CADA PROBLEMA',
17/12X,'MOMENTO',6X,'LE1',11X,'LD1',11X,'DIF1',11X,'LE2',11X,'LD2',
11X,'DIF2')
DO 56 I=1,11
J=I-1
56 CALL SUBROUTINE(I)
*****DISTRIBUIÇÃO DE FLUXO ANGULAR *****
TAU(1)=0.00
TAU(2)=0.00
TAU(3)=1.00
TAU(4)=2.00
TAU(5)=3.00
TAU(6)=1.00
TAU(7)=1.00

```

```

TAU(1)=4.01
WRITE(10,1025)
1025 FORMAT(//10X,'DISTRIBUIÇÃO FLUXO ANGULAR',//15X,'X',10X,'Y',10X,
1'FLUX1',10X,'FLUX2',//)
DO 00 I=1,8
Z=TAU(1)
IU=Z1
IF(I.EQ.1) IU=3
DO 00 J=1,IU
FJ=J-1
U=0.100*FJ-1.00
IF(I.EQ.1) U=0.0500*FJ-1.00
IF(I.EQ.1.AND.J.EQ.4)U=0.9900
IF(I.EQ.1.AND.J.EQ.4)U=0.99900
CALL FLUXM(Z,U,FLUX1,FLUX2)
IF(J.EQ.1) FLX1=FLUX1
IF(J.EQ.1) FLX2=FLUX2
FLX3=FLUX1/FLX1
FLX4=FLUX2/FLX2
DO WRITE(10,1027),U,FLUX1,FLUX2,FLX3,FLX4
1027 FORMAT(10X,2F10.3,2F15.15,2F15.10)
C*****DISTRIBUIÇÃO DA DENSIDADE *****
WRITE(10,1028)
1028 FORMAT(//10X,'DISTRIBUIÇÃO DO FLUXO ESCALAR',//12X,'X',7X,'FLUX-1',
1'FLUX-2',10X,'DAS1',24X,'FLUX-2',11X,'FLUX-2-ASS1',//)
DO 00 I=1,22
Z=I-2
IF(I.EQ.1)Z=0.00
IF(I.EQ.2)Z=0.500
CALL DENM(Z,DEN1,DEN2,DAS1,DAS2)
DN1=DAS1/DEN1
DN2=DAS2/DEN2
DO WRITE(10,1031),DN1,DAS1,DN1,DEN2,DAS2,DN2
1031 FORMAT(10X,2F6.2,6F17.12)
C*****DISTRIBUIÇÃO DA CORRENTE *****
WRITE(10,1033)
1033 FORMAT(//10X,'DISTRIBUIÇÃO DA CORRENTE',//)
DO 00 I=1,22
Z=I-2
IF(I.EQ.1)Z=0.00
IF(I.EQ.2)Z=0.500
CALL CORRM(Z,COR1,COR2)
DO WRITE(10,1032),COR1,COR2
1032 FORMAT(10X,2F10.5,20F5.15)
C*****DISTÂNCIA EXTRAPOLADA PROBLEMA DE MILNE*****
IF(XP.EQ.1)DIS1=ZUM1/2.0000LOG1-DAT1)
DIS2=DIS1
WRITE(10,1035)DIS1,DIS2
1035 FORMAT(10X,'DISTÂNCIA EXTRAPOLADA',//15X,20F5.12)
C*****COEFICIENTES, CALCULE TOMANDO-SE O LIMITE ANALITICAMENTE NA EQUAÇÃO
C (1-4.1-9.5.0) PROBLEMA DE MILNE*****
WRITE(10,1037)
1037 FORMAT(//10X,'COEFICIENTES CONTÍNUOS',//)
J=NM+1
DO 70 I=1,50
FI=I
U=0.0200*FI

```

```

      CALL CMCORZ
      CALL CMCORZ
      CALL CMCORZ
      CALL CMCORZ
      IF(U*GE*SI*CC) GO TO 66
      A110=-U*ZU11//U+ZU11//CNZ*(SV11*SU11+SV12*SU21)*U111)
      I*(SV11*SU12+SV12*SU22)*U2111)
      A120=-U*ZU11//U+ZU11//CNZ*(SV21*SU11+SV22*SU21)*U111)
      I*(SV21*SU12+SV22*SU22)*U2111)
      WRITE(6,1032)U,A110,A120
      GO TO 70
66 A20=-U*ZU11//U+ZU11//CNZ*(SUA1*SU11+SUA2*SU21)*U111)
      I*(SUA1*SU12+SUA2*SU22)*U2111)
      WRITE(6,1032)U,A20
70 CONTINUE
      CALL CMCORZ
C****NORMALIZACAO PARA A FONTE NO INFINITO, PROBLEMA DE MILNE ****
      IF(IPP.EQ.1)U=1.00
      IF(IPP.EQ.2)U=1.00
      U1=(U*U11)*LAL1(NM*1)+UAZ11)*LAL2(NM*1)/UN11//U10
      U2=(U*U11)*LAL2(NM*1)+UAZ11)*LAL2(NM*1)/UN11//U20
      IF(IPP.EQ.1)U=U1
      IF(IPP.EQ.2)U=U2
      WRITE(6,1032)U,U1,U2
1032 FORMAT(10X,'FATORES DE NORMALIZACAO DA FONTE,MILNE',//15A,2U25.15
1)
C****TESTE DO FLUXO EMERGENTE,MILNE ****
      Z=ZU11
      F51=U*U11*F5*Z-1.00//S/Z1
      F52=-1.00*F51*F5Z
      F53=U*U10-S*Z*U11.00-S*Z*F51
      F54=-U*U11*F5Z-1.00//Z1
      F55=-1.00*F51*F5Z
      F56=-U*U10-Z*Z*F51
      EXF1=Z*U111)*U111*F51- Z*U11*F52)*U211)*U12*F51- Z*U12*F531)
      EXF2=Z*U111)*U121*F51- Z*U11*F52)*U211)*U12*F51- Z*U22*F531)
      EXU1=Z*U111)*U111*F52- Z*U11*F53)*U211)*U12*F52- Z*U12*F531)
      EXU2=Z*U111)*U121*F52- Z*U11*F53)*U211)*U12*F52- Z*U22*F531)
      F51=U*U11*F5*Z+1.00//S/Z1,
      F52=1.00-F51*F5Z
      F53=U*U10-S*Z*U11.00-S*Z*F51
      F54=U*U11*F5Z+1.00//Z1
      F55=1.00-F51*F5Z
      F56=U*U10-Z*Z*F51
      EXF1=EXF1+U*U111)
      EXF2=EXF2+U*U111)
      EXU1=EXU1+U*U111)
      EXU2=EXU2+U*U111)
      I
      Z=ZU11
      F51=U*U11*F5*Z+1.00//S/Z1
      F52=U*U11*F5Z+1.00//S/Z1
      F53=1.00-S*U*F51

```



```

JAK2(199),AAK2(199),HMK2(199),AMM2(199),LPC2(199),CAP2(199),
qAK2(199),AAK2(199),HMK2(199),AMM2(199),LPC2(199),CAP2(199),
PAJ1(199),AAJ1(199),UA1(199),
GAJ2(199),AAJ2(199),UA2(199),
TAK2(199),AAK2(199),DA2(199),
BAJ2(199),AAJ2(199),DA2(199)
AU1S=-2*U*U11
AU1C=-2*U*U12
AU2S=-2*U*U21
AU2C=-2*U*U22
AAU1S=-2*U*U11
AAU1C=-2*U*U12
AAU2S=-2*U*U21
AAU2C=-2*U*U22
C****MATRIZES V E V-INVERSA E INVERSAS ****
Z1=2*(V11)*Z(V11)
Z1=2*(V11)
Z2=U*U
V11=U*U11+Z11*S*AA11*UA111+(U12+Z11*S*AA12)*UA211
V21=U*U11+Z11*S*AA11*UA111+(U22+Z11*S*AA22)*UA211
V12=U*U12
V22=U*U22
IF (NPAR=1) GO TO 30
Z2=2*(V11)*Z(V11)
Z2=2*(V11)
V12=U*U11+Z22*S*AA11*UA111+(U12+Z22*S*AA12)*UA211
V22=U*U11+Z22*S*AA11*UA111+(U22+Z22*S*AA22)*UA211
30 U=U11*U
V11=V11*V11+V11*V12
V12=V11*V12
V21=V11*V21
V22=V11*V22
AV11=U*U11+Z11*S*AA11*UA111+(U21+Z11*S*AA12)*UA211
AV21=U*U11+Z11*S*AA11*UA111+(U22+Z11*S*AA22)*UA211
AV12=U*U12
AV22=U*U22
IF (NPAR=1) GO TO 31
AV12=U*U11+Z22*S*AA11*UA111+(U21+Z22*S*AA12)*UA211
AV22=U*U11+Z22*S*AA11*UA111+(U22+Z22*S*AA22)*UA211
31 U=U11*U
AV11=AV11*AV22+AV21*AV12
AV12=AV12*AV22
AV21=AV21*AV22
AV22=AV22*AV22
C****MATRIZES P E R-INVERSA E INVERSAS ****
UP=U*U11*U
PK1=U*U11
PK2=U*U21
PK3=U*U12
PK4=U*U22
IF (NPAR=1) GO TO 32
PK1=U*U11+Z11*S*AA11*UA111+(U12+Z11*S*AA12)*UA211
PK2=U*U11+Z11*S*AA11*UA111+(U22+Z11*S*AA22)*UA211
PK3=U*U12
PK4=U*U22
32 U=U11*U
PK1=PK1*PK1+PK1*PK2
PK2=PK1*PK2
PK3=PK1*PK3
PK4=PK1*PK4
AR111=U*U11+Z11*S*AA11*UA111+(U12+Z11*S*AA12)*UA211
AR211=U*U11+Z11*S*AA11*UA111+(U22+Z11*S*AA22)*UA211
AR112=U*U12
AR212=U*U22
AR2211=U*U11+Z22*S*AA11*UA111+(U21+Z22*S*AA12)*UA211
AR22211=U*U11+Z22*S*AA11*UA111+(U22+Z22*S*AA22)*UA211

```



```

C*****11X40,AM *****
      N=40
      I=1
C*****MATH12 P *****
      *1 CONTINUE
      BC1=BH011*5*A11+BHC21*421
      BC2=BH011*5*A12+BHC21*422
      BC3=BH012*5*A11+BHC22*421
      BC4=BH012*5*A12+BHC22*422
      DO 60 I=1,PL
      ZN1=(ZNY(1)-1.00)/(ZNY(1)*X(1))
      CP1(1)=ZN1*(11.00+Z11*BC1)*U1(1)+Z11*BC2*U2(1)
      CP2(1)=ZN1*(Z11*BC3*U1(1)+11.00+Z11*BC4)*U2(1)
      CP1(1)=C,CC
      CP2(1)=C,CC
      IF (AP,CG,1) GO TO 70
      ZN2=(ZNY(2)-1.00)/(ZNY(2)*X(1))
      CP1(2)=ZN2*(11.00+Z22*BC1)*U1(2)+Z22*BC2*U2(2)
      CP2(2)=ZN2*(Z22*BC3*U1(2)+11.00+Z22*BC4)*U2(2)
      70 CONTINUE
      80 CONTINUE
C*****MATH12 Q *****
      BC1=BL011*5*A11+BLC21*421
      BC2=BL011*5*A12+BLC21*422
      BC3=BL012*5*A11+BLC22*421
      BC4=BL012*5*A12+BLC22*422
      DO 60 I=1,PL
      ZN1=(ZNY(1)-1.00)/(ZNY(1)*X(1))
      AQ1(1)=ZN1*(Z11*AG11+Z11*BL1)*U1(1)+(Z11*AG12+Z11*BL2)*U2(1)
      AQ2(1)=ZN1*(Z11*AG21+Z11*BL3)*U1(1)+(Z11*AG22+Z11*BL4)*U2(1)
      AQ1(1)=C,CC
      AQ2(1)=C,CC
      IF (AP,CG,1) GO TO 50
      ZN2=(ZNY(2)-1.00)/(ZNY(2)*X(1))
      AQ1(2)=ZN2*(Z22*AG11+Z22*BL1)*U1(2)+(Z22*AG12+Z22*BL2)*U2(2)
      AQ2(2)=ZN2*(Z22*AG21+Z22*BL3)*U1(2)+(Z22*AG22+Z22*BL4)*U2(2)
      50 CONTINUE
      80 CONTINUE
C*****MATH12 S *****
      CR1=1.00-C11*BH011-C12*BH012
      CR2=C11*BHC21-C12*BH022
      CR3=C21*BH011-C22*BH012
      CR4=C21*1.00-C22*BH021-C22*BH022
      DO 60 I=1,PL
      F11=1-X(1)*B11*BL011-X(1)*B12*BL012
      F12=X(1)*B11*BL021-X(1)*B12*BL022
      F21=X(1)*B21*BL011-X(1)*B22*BL012
      F22=1.00-X(1)*B21*BL021-X(1)*B22*BL022
      F01=F11*F22-F21*F12
      G11=F22/F01
      G12=-F12/F01
      G21=-F21/F01
      G22=F11/F01
      GG1=CR1*G11+CR2*G12
      GG2=CR3*G11+CR4*G12
      GG3=CR3*G21+CR4*G22
      GG4=CR2*G21+CR2*G22

```

```

D1111=0.01*011*002*021
D1211=0.01*012*002*022
D2111=0.01*011*004*021
D2211=0.01*012*004*022
91 CONTINUE
L*****A MATRIZ H-ADJUNTA *****
DELTA=0.00
DU 34 T=1,ML
PK7=X(1)*X(1)
S11=0.00
S12=0.00
S21=0.00
S22=0.00
Q11=0.00
Q12=0.00
Q21=0.00
Q22=0.00
DU 35 J=1,ML
TH=1.00
IF (J.GT.N)TH=0.00
PK6=X(J)/X(1)*X(1)
S11=S11+0.0H11(J)*TH*AK11(J)+0.0H21(J)*AK21(J)*PK6
S12=S12+0.0H11(J)*TH*AK12(J)+0.0H21(J)*AK22(J)*PK6
S21=S21+0.0H12(J)*TH*AK11(J)+0.0H22(J)*AK21(J)*PK6
S22=S22+0.0H12(J)*TH*AK12(J)+0.0H22(J)*AK22(J)*PK6
Q11=Q11+0.0L11(J)*TH*AK11(J)+0.0L21(J)*AK21(J)*PK6
Q12=Q12+0.0L11(J)*TH*AK12(J)+0.0L21(J)*AK22(J)*PK6
Q21=Q21+0.0L12(J)*TH*AK11(J)+0.0L22(J)*AK21(J)*PK6
Q22=Q22+0.0L12(J)*TH*AK12(J)+0.0L22(J)*AK22(J)*PK6
35 CONTINUE
SP11=011*0P11(1)
SP12=012*0P12(1)
SP21=021*0P21(1)
SP22=022*0P22(1)
SA11=X(1)*0L11*SP11+0L12*0P21
SA12=X(1)*0L11*SP12+0L12*0P22
SA21=X(1)*0L21*SP11+0L22*0P21
SA22=X(1)*0L21*SP12+0L22*0P22
SK11=SA11*0MY1(1)+SA12*0MY2(1)
SK12=SA11*0MY1(2)+SA12*0MY2(2)
SK21=SA21*0MY1(1)+SA22*0MY2(1)
SK22=SA21*0MY1(2)+SA22*0MY2(2)
QP11=011*0Q11(1)
QP12=012*0Q12(1)
QP21=021*0Q21(1)
QP22=022*0Q22(1)
QA11=PK7*0(1111)*QP11+01211*0P21
QA12=PK7*0(1111)*QP12+01211*0P22
QA21=PK7*0(2111)*QP11+02211*0P21
QA22=PK7*0(2111)*QP12+02211*0P22
QJ11=QA11*0MY1(1)+QA12*0MY2(1)
QJ12=QA11*0MY1(2)+QA12*0MY2(2)
QJ21=QA21*0MY1(1)+QA22*0MY2(1)
QJ22=QA21*0MY1(2)+QA22*0MY2(2)
H11=0.01*011*001
H12=0.01*012*001
H21=0.01*011*002

```

```

BBZ2=1.00-5K22*QBZ2
UDET=0011*BB22-BB21*BB12
BA011=0022/BUDET
BA012=0012/HUDET
BA021=0021/HUDET
BA022=0011/BUDET
C*****TESTE DA CONVERGENCIA *****
DELTA1=DA05(BA011-BA011(1))+DA05(BA012-BA012(1))
* DA05(BA021-BA021(1))+DA05(BA022-BA022(1))
IF(DELTA1.GT,DELTA2)DELTA2=DELTA1
BA011(1)=BA011
BA012(1)=BA012
BA021(1)=BA021
BA022(1)=BA022
34 CONTINUE
C*****O MOMENTO DA MATRIZ H-ADJUNTA ****
BAH011=0.00
BAH012=0.00
BAH021=0.00
BAH022=0.00
DJ_Z0_I=1,ML
TH=1.00
IF(I.GT,N)TH=0.00
PK11=H(1)
BAH011=BAH011+PK11*TH*BA011(1)
BAH012=BAH012+PK11*TH*BA012(1)
BAH021=BAH021+PK11*TH*BA021(1)
26 BAH022=BAH022+PK11*TH*BA022(1)
C*****MATRIZ L-ADJUNTA *****
DJ_Z0_I=1,ML
F11=S1-X(1)*011*BL011-X(1)*012*BL012
F12=-X(1)*011*BL021-X(1)*012*BL022
F21=-X(1)*021*BL011-X(1)*022*BL012
F22=1.00-X(1)*021*BL021-X(1)*022*BL022
FUE=F11*F22-F21*F12
G11=F22/FUE
G12=-F12/FUE
G21=-F21/FUE
G22=F11/FUE
G01=CK11*G11+CK12*G21
G02=CK11*G12+CK12*G22
G03=CK21*G11+CK22*G21
G04=CK21*G12+CK22*G22
CAL11=X(1)*011*BA011(1)+G01*BA012(1)+G03
CAL12=X(1)*011*BA011(1)+G02*BA012(1)+G04
CAL21=X(1)*021*BA021(1)+G01*BA022(1)+G03
CAL22=X(1)*021*BA021(1)+G02*BA022(1)+G04
DELTA1=DA05(CAL11-FAL11(1))+DA05(CAL12-FAL12(1))
* DA05(CAL21-FAL21(1))+DA05(CAL22-FAL22(1))
IF(DELTA1.GT,DELTA2)DELTA2=DELTA1
FAL11(1)=CAL11
FAL12(1)=CAL12
FAL21(1)=CAL21
38 FAL22(1)=CAL22
C*****O MOMENTO DA MATRIZ L-ADJUNTA *****
BAL011=0.00
BAL012=0.00

```

```

      0Z1=0.00
      BAL022=0.00
      DT=39.1=1,ML
      TH=1.00
      IF(1.0E-10)TH=0.00
      PK11=0.11
      BAL011=BAL011*PK11*TH*FAL21(1)
      BAL012=BAL012*PK11*TH*FAL12(1)
      BAL021=BAL021*PK11*FAL21(1)
      39 BAL022=BAL022*PK11*FAL22(1)
C*****MATRIZES P-ADJUNTAS *****
      B0A1=BAM011*S*AA11*BAM021*AAZ1
      B0A2=BAM011*S*AA12*BAM021*AAZ2
      B0A3=BAM012*S*AA11*BAM022*AAZ1
      B0A4=BAM012*S*AA12*BAM022*AAZ2
      DT=9.1=1,ML
      ZN1=(ZNY(1)-1.00)/(ZNY(1)*X(1))
      CAP11(1)=ZN1*(1.00+Z11*BCA1)*UA1(1)+Z11*BCA2*UA2(1)
      CAP21(1)=ZN1*(Z11*BCA3*UA1(1)+(1.00+Z11*BCA4)*UA2(1))
      CAP12(1)=0.00
      CAP22(1)=0.00
      IF(KP=0)GO TO 32
      ZN2=(ZNY(2)-1.00)/(ZNY(2)*X(1))
      CAP11(2)=ZN2*(1.00+Z22*BCA1)*UA1(2)+Z22*BCA2*UA2(2)
      CAP21(2)=ZN2*(Z22*BCA3*UA1(2)+(1.00+Z22*BCA4)*UA2(2))
32 CONTINUE
9 CONTINUE
C*****MATRIZES Q-ADJUNTAS *****
      B1A1=BAL011*S*AA11*BAL021*AAZ1
      B1A2=BAL011*S*AA12*BAL021*AAZ2
      B1A3=BAL012*S*AA11*BAL022*AAZ1
      B1A4=BAL012*S*AA12*BAL022*AAZ2
      DT=17.1=1,ML
      ZN1=(ZNY(1)-1.00)/(ZNY(1)*X(1))
      AAQ11(1)=ZN1*(Z1*AG11+Z11*B1A1)*UA1(1)+(Z1*AG21+Z11*B1A2)*UA2(1)
      AAQ13(1)=ZN1*(Z1*AG12+Z11*B1A3)*UA1(1)+(Z1*AG22+Z11*B1A4)*UA2(1)
      AAQ12(1)=0.00
      AAQ22(1)=0.00
      IF(KP=0)GO TO 33
      ZN2=(ZNY(2)-1.00)/(ZNY(2)*X(1))
      AAQ12(2)=ZN2*(Z2*AG11+Z22*B1A1)*UA1(2)+(Z2*AG21+Z22*B1A2)*UA2(2)
      AAQ22(2)=ZN2*(Z2*AG12+Z22*B1A3)*UA1(2)+(Z2*AG22+Z22*B1A4)*UA2(2)
33 CONTINUE
17 CONTINUE
C*****MATRIZES S-ADJUNTAS *****
      UK11=1.00-C11*BAM011-C21*BAM012
      UK12=-C11*BAM021-C21*BAM022
      UK21=-C12*BAM011-C22*BAM012
      UK22=1.00-C12*BAM021-C22*BAM022
      DU=20.1=1,ML
      F011=U1-X(1)*H11*BAL011-X(1)*H21*BAL012
      F012=-X(1)*H11*BAL021-X(1)*H21*BAL022
      F021=-X(1)*H12*BAL011-X(1)*H22*BAL012
      F022=1.00-X(1)*H12*BAL021-X(1)*H22*BAL022
      F00=F011*F022-F021*F012
      G01=F022/F00
      G02=-F012/F00

```

```

GGZ1=F0Z1/F0Z
GGZ2=F0Z1/F0Z
GH1=UK11*GG11+UK12*GGZ1
GH2=UK11*GG12+UK12*GGZ2
GH3=UK21*GG11+UK22*GGZ1
GH4=UK21*GG12+UK22*GGZ2
UA11(1)=GH1*OB11+GH2*OB12
UA12(1)=GH1*OB21+GH2*OB22
UA21(1)=GH3*OB11+GH4*OB12
UA22(1)=GH3*OB21+GH4*OB22
20
CONTINUE
C0000 MATRIX M 00000
DO 27 J=1,ML
PK7=X(1)*X(1)
S11=0.00
S12=0.00
S21=0.00
S22=0.00
W11=0.00
W12=0.00
W21=0.00
W22=0.00
DO 26 J=1,ML
TH=1.00
IF (J.GT.N) TH=0.00
PK5=1.00
PK6=X(J)/X(J)+X(1)
S11=S11+PK5*(BAH1(1,J)+TH*AAK1(1,J)+BAH2(1,J)+AAK2(1,J))*PK6
S12=S12+PK5*(BAH1(1,J)+TH*AAK1(2,J)+BAH2(1,J)+AAK2(1,J))*PK6
S21=S21+PK5*(BAH1(2,J)+TH*AAK1(1,J)+BAH2(2,J)+AAK2(1,J))*PK6
S22=S22+PK5*(BAH1(2,J)+TH*AAK1(2,J)+BAH2(2,J)+AAK2(1,J))*PK6
W11=W11+PK5*(FAL1(1,J)+TH*AAK1(1,J)+FAL2(1,J)+AAK2(1,J))*PK6
W12=W12+PK5*(FAL1(1,J)+TH*AAK1(2,J)+FAL2(1,J)+AAK2(1,J))*PK6
W21=W21+PK5*(FAL1(2,J)+TH*AAK1(1,J)+FAL2(2,J)+AAK2(1,J))*PK6
W22=W22+PK5*(FAL1(2,J)+TH*AAK1(2,J)+FAL2(2,J)+AAK2(1,J))*PK6
26
CONTINUE
SP11=S11*CAP1(1)
SP12=S12*CAP1(2)
SP21=S21*CAP2(1)
SP22=S22*CAP2(2)
SA11=X(1)*C(1)10*SP11+C21*SP21
SA12=X(1)*C(1)10*SP12+C22*SP22
SA21=X(1)*C(1)20*SP11+C22*SP21
SA22=X(1)*C(1)20*SP12+C22*SP22
SM11=S41*(AHM1(1)+SA12*AHM2(1))
SM12=S41*(AHM1(2)+SA12*AHM2(2))
SM21=S42*(AHM1(1)+SA22*AHM2(1))
SM22=S42*(AHM1(2)+SA22*AHM2(2))
WP11=W11+AAL1(1)
WP12=W12+AAL2(1)
WP21=W21+AAL2(1)
WP22=W22+AAL2(1)
WA11=PK7*(LA1(1)+P11*DA12(1))*CP21
WA12=PK7*(LA1(1)+P12*DA12(1))*CP22
WA21=PK7*(LA2(1)+P11*DA22(1))*CP21
WA22=PK7*(LA2(1)+P12*DA22(1))*CP22
WK11=WA11*AHM1(1)+WA12*AHM1(2)

```

```

QH12=QA11*QAM12(1)+QA12*QAM22(1)
QH13=QA21*QAM11(1)+QA22*QAM21(1)
QH22=QA21*QAM12(1)+QA22*QAM22(1)
QU11=1.00-QH11*QK11
QU12=-QH12*QK11
QU22=1.00-QH22*QK22
BAUL1=QU11*QU22-QU21*QU12
BML12=QU22/ZBAUL1
BML13=QU21/ZBAUL1
BML22=QU11/ZBAUL1
C0000 TESTE DA CONVERGENCIA ***
DELTA1=ABS(BML11-BH11(1))+ABS(BML12-BH12(1))+ABS(BML21-BH21(1))
+ABS(BML22-BH22(1))
IF(DELTA1.GT.DELTA2)DELTA2=DELTA1
BH11(1)=BH11
BH12(1)=BH12
BH21(1)=BH21
BH22(1)=BH22
27 CONTINUE
C0000 O MOMENTO DA MATRIZ H ***
BH11=0.00
BH12=0.00
BH21=0.00
BH22=0.00
LH(2,1)=1.0/ML
TH=1.00
IF(LH(2,1).NE.0.00)
  PK11=TH(1)
  BH11=0.001+PK11*TH*BH11(1)
  BH12=0.0012+PK11*TH*BH12(1)
  BH21=0.0001+PK11*TH*BH21(1)
  BH22=0.00022+PK11*TH*BH22(1)
29 BH22=0.00022+PK11*TH*BH22(1)
C0000 MATRIZ L *****
LH(3,1)=1.0/ML
F011=(1-X11)*G11*OBAL011-X11*021*OBAL012
F012=(1-X11)*G11*OBAL021-X11*021*OBAL022
F021=(1-X11)*G12*OBAL011-X11*022*OBAL012
F022=(1.00-X11)*G11*OBAL021-X11*022*OBAL022
F03=F011*F022-F012*F021
F04=F021*F012-F022*F011
G11=OB11*OG11+OB12*OG21
G12=OB11*OG12+OB12*OG22
G13=OB12*OG11+OB22*OG21
G14=OB12*OG12+OB22*OG22
G21=X11*G11+G21(1)+G21*OBH12(1)*G21(1)
G22=X11*G11+G22(1)+G22*OBH12(1)*G22(1)
G23=X11*G12+G23(1)+G23*OBH22(1)*G23(1)
G24=X11*G12+G24(1)+G24*OBH22(1)*G24(1)
C0000 TESTE DA CONVERGENCIA *****
DELTA1=ABS(G11-FL1(1))+ABS(G12-FL12(1))+ABS(G13-FL13(1))
+ABS(G14-FL14(1))
IF(DELTA1.GT.DELTA2)DELTA2=DELTA1

```

```

FL1111)=CL11
FL1211)=CL12
FL2111)=CL21
FL2211)=CL22
30 CONTINUE
WRITE(6,4027) IT,ULLTAZ
1027 FORMAT(2CA,'ITERACAO',I5,D15.3)
C0000 U MUMENTO DA MATH12 L 0000
BL011=0.00
BL012=0.00
BL021=0.00
BL022=0.00
OU 37 I=1,PL
TH=1.00
IF(1.0T.A)TH=0.00
PK11=H(1)
BL011=BL011+PK11*TH*FL1111)
BL012=BL012+PK11*TH*FL1211)
BL021=BL021+PK11*TH*FL2111)
37 BL022=BL022+PK11*TH*FL2211)
IF(ULLTAZ.LT.EPS)GO TO 40
IT=IT+1
IF(1.0E.AN)GO TO 41
40 CONTINUE
WRITE(6,1028)
1028 FORMAT(10A,'HA11(1)=',20X,'HA21(1)=',20X,'HA21(1)=',20X,
* 'HA22(1)=',/)
OU 42 I=1,PL
42 WRITE(6,2001)BAH11(1),BAH12(1),BAH21(1),BAH22(1)
2001 FORMAT(2R,4(L20.15,2X))
WRITE(6,1031)
1031 FORMAT(10A,'H11(1)=',20X,'H12(1)=',20X,'H21(1)=',20X,
* 'H22(1)=',/)
OU 43 I=1,PL
43 WRITE(6,2001)BH11(1),BH12(1),BH21(1),BH22(1)
WRITE(6,1032)
1032 FORMAT(10A,'L11(1)=',20X,'L12(1)=',20X,'L21(1)=',20X,
* 'L22(1)=',/)
OU 44 I=1,PL
44 WRITE(6,2001)FL11(1),FL12(1),FL21(1),FL22(1)
WRITE(6,1033)
1033 FORMAT(10A,'LA11(1)=',20X,'LA12(1)=',20X,'LA21(1)=',20X,
* 'LA22(1)=',/)
OU 45 I=1,PL
45 WRITE(6,2001)FAL11(1),FAL12(1),FAL21(1),FAL22(1)
WRITE(6,1034)
1034 FORMAT(10A,'HA011=',25X,' HA012=',25X,' HA021=',25X,' HA022=',/)
WRITE(6,2002)BAH011,BAH012,BAH021,BAH022
2002 FORMAT(2R,4(L20.15))
WRITE(6,1035)
1035 FORMAT(10A,'H011=',25X,' H012=',25X,' H021=',25X,' H022=',/)
WRITE(6,2002)BH011,BH012,BH021,BH022
WRITE(6,1036)
1036 FORMAT(10A,'L011=',25X,' L012=',25X,' L021=',25X,' L022=',/)
WRITE(6,2002)BL011,BL012,BL021,BL022
WRITE(6,1037)
1037 FORMAT(10A,'LA011=',25X,' LA012=',25X,' LA021=',25X,' LA022=',/)

```


PU12=PU11*0.11*0.0001*0.0001
 PU13=PU12*0.11*0.0001*0.0001
 PU22=PU11*0.11*0.0001*0.0001-1.00
 PA5=PU11*0.01*0.0001*0.0001
 PA6=PU11*0.01*0.0001*0.0001
 PA7=PU11*0.01*0.0001*0.0001
 PA8=PU11*0.01*0.0001*0.0001
 PI11=PA5*0.11*0.0001*0.0001
 PI12=PA5*0.11*0.0001*0.0001
 PI21=PA7*0.11*0.0001*0.0001
 PI22=PA7*0.11*0.0001*0.0001
 PM11=-1*0.01*0.0001*0.0001*0.0001
 PM12=-1*0.01*0.0001*0.0001*0.0001
 PM21=-1*0.01*0.0001*0.0001*0.0001
 PM22=-1*0.01*0.0001*0.0001*0.0001
 PU11=PU11*0.01*0.0001*0.0001*0.0001
 PU12=PU11*0.01*0.0001*0.0001*0.0001
 PU21=PU21*0.01*0.0001*0.0001*0.0001
 PU22=PU22*0.01*0.0001*0.0001*0.0001
 PM11=-1*0.01*0.0001*0.0001*0.0001
 PM12=-1*0.01*0.0001*0.0001*0.0001
 PM21=-1*0.01*0.0001*0.0001*0.0001
 PM22=-1*0.01*0.0001*0.0001*0.0001
 PU11=PU11*0.01*0.0001*0.0001*0.0001
 PU12=PU11*0.01*0.0001*0.0001*0.0001
 PU21=PU21*0.01*0.0001*0.0001*0.0001
 PU22=PU22*0.01*0.0001*0.0001*0.0001
 PA11=PU11*0.01*0.0001*0.0001
 PA12=PU11*0.01*0.0001*0.0001
 PA21=PU21*0.01*0.0001*0.0001
 PA22=PU22*0.01*0.0001*0.0001
 PU11=PU11*0.01*0.0001*0.0001*0.0001
 PU12=PU11*0.01*0.0001*0.0001*0.0001
 PU21=PU21*0.01*0.0001*0.0001*0.0001
 PU22=PU22*0.01*0.0001*0.0001*0.0001
 PA11=PU11*0.01*0.0001*0.0001
 PA12=PU11*0.01*0.0001*0.0001
 PA21=PU21*0.01*0.0001*0.0001
 PA22=PU22*0.01*0.0001*0.0001
 PY11=PU11*0.01*0.0001*0.0001
 PY12=PU11*0.01*0.0001*0.0001
 PY21=PU21*0.01*0.0001*0.0001
 PY22=PU22*0.01*0.0001*0.0001
 PU11=PU11*0.01*0.0001*0.0001*0.0001
 PU12=PU11*0.01*0.0001*0.0001*0.0001
 PU21=PU21*0.01*0.0001*0.0001*0.0001
 PU22=PU22*0.01*0.0001*0.0001*0.0001
 PA11=PU11*0.01*0.0001*0.0001
 PA12=PU11*0.01*0.0001*0.0001
 PA21=PU21*0.01*0.0001*0.0001
 PA22=PU22*0.01*0.0001*0.0001
 PY11=PU11*0.01*0.0001*0.0001
 PY12=PU11*0.01*0.0001*0.0001
 PY21=PU21*0.01*0.0001*0.0001
 PY22=PU22*0.01*0.0001*0.0001
 -11110,10431,PU11,PU12,PV11,PV12,PU21,PU22,PV21,PV22,PS11,PS12,
 PY11,PY12,PS21,PS22,PT21,PT22

```

1043 FORMAT(10A,'RELACAO DE MOMENTO,LE',//110A,4015.311
WRITE(LC,LC4=)PZ11,PZ12,P111,P112,PZ21,PZ22,PT21,PT22,P11,P12,
*
P111,P112,P121,P122,P121,P122
1045 FORMAT(10A,'RELACAO DE MOMENTO,LC',//110A,4015.311
F1=UABS(F011-PZ11)
F2=UABS(F012-PZ12)
F3=UABS(F021-PZ21)
F4=UABS(F022-PZ22)
F5=UABS(F022-PZ22)
F6=UABS(F011-P111)
F7=UABS(F012-P112)
F8=UABS(F021-P121)
F9=UABS(F022-P122)
G1=UABS(FS11-P111)
G2=UABS(FS12-P112)
G3=UABS(FS21-P121)
G4=UABS(FS22-P122)
G5=UABS(FY11-P111)
G6=UABS(FY12-P112)
G7=UABS(FY21-P121)
G8=UABS(FY22-P122)
WRITE(LC,1047)F1,F2,F3,F4,F5,F6,F7,F8,G1,G2,G3,G4,G5,G6,G7,G8
1047 FORMAT(10A,'RELACAO DE REPEATU,DIF',//110A,4015.311
) CONTINUE
) RETURN
END
SUBROUTINE LAMBDA(Z)
***** CALCULO DE LAMBDA E DELTA, EQUACOES APENDICI A ****
FF=1-0.001LAMBDA**2.00*PI/(1.00-PI**2)/2.00
ZZ=Z**2
FZ=FZ**2
FZ=0.00
Z=UABS(Z)-Z
IF (Z.LT.EP) GO TO 10
FZ=FZ**2
10 ULL1=U11*5**Z**A11
ULL2=U12*5**Z**A12
ULL3=U21* Z**A21
ULL7=U22* Z**A22
UAA1=U11*5**Z**AA11
UAA2=U21*5**Z**AA12
UAA3=U12* Z**AA21
UAA7=U22* Z**AA22
LMD1=1.00*Z.00*AA11*Z-2.00*Z*ULL1*FZ
LMD2= Z.00*AA12*Z-2.00*Z*ULL2*FZ
LMD7= Z.00*AA21*Z-2.00*Z*ULL7*FZ
LMD77=1.00*Z.00*AA22*Z-2.00*Z*ULL77*FZ
LMA11=1.00*Z.00*AA11*Z-2.00*Z*UAA11*FZ
LMA12= Z.00*AA12*Z-2.00*Z*UAA12*FZ
LMA21= Z.00*AA21*Z-2.00*Z*UAA21*FZ
LMA22=1.00*Z.00*AA22*Z-2.00*Z*UAA22*FZ
LMD=LMD1*LMD2-LMD7*LMD77
RETURN
END
SUBROUTINE XLL1(Z,A11,Z)
***** CALCULO DOS VALORES DE NORMALIZACAO U.E U ****
IF (Z.LT.EP) AT 11

```



```

      U11=U11+I11+U21*I11+U12*I11
      U12=U12+I12+U21*I12+U11*I12
      U21=U21+I21+U11*I21+U12*I21
      U22=U22+I22+U11*I22+U12*I22
      U11=U11+I11+U21*I11+U12*I11
      U12=U12+I12+U21*I12+U11*I12
      U21=U21+I21+U11*I21+U12*I21
      U22=U22+I22+U11*I22+U12*I22
      S011=1.0D-20*U11+Z0*Z0*(U11*U11+U12*U12)
      S012=      -Z0*U12+Z0*Z0*(U11*U12+U12*U21)
      S021=      -Z0*U21+Z0*Z0*(U12*U11+U12*U21)
      S022=1.0D-20*U22+Z0*Z0*(U21*U12+U22*U22)
      IF (Z0.EQ.1)MEJORN
      S00=S011+S022-S012*S021
      UH11=S022/S00
      UH12=-S012/S00
      UH21=-S021/S00
      UH22=S011/S00
      RETURN
      END
      SUBROUTINE SINGMIZ,IC,IMJ
C
C ***** TESTE DA EQUACAO INTEGRAL SINGULAR ,EQUACAO II-3.15A *****
C   IF IC=0, VOS PONTOS DE NYU=Z
C   IF IC=1, COMPLEMENTO DE UNDAE IC=1
C   IF IM=1, EQUACAO DA MATRIZ M
C   IF IM=2, EQUACAO DA MATRIZ M-ADJUNTA
      DIMENSION P(2,2)
      T=0.0D
      T2=0.0D
      IF (IM.EQ.1)T=1.0D
      IF (IM.EQ.2)T2=1.0D
      IF (IC.NE.0)T0 =Z
      CALL LAMRGAIZ
      CALL SMIZ,IP=0J
      UH11=U11+I11+U21*I11+I12
      UH12=U12+I12+U21*I12+U11*I12
      UH21=U21+I21+U11*I21+U12*I21
      UH22=U22+I22+U11*I22+U12*I22
      UH11=UH11+UH11+UH21*I11+UH12*I11
      UH12=UH12+UH21*I12+UH11*I12
      UH21=UH21+UH11*I21+UH12*I21
      UH22=UH22+UH11*I22+UH12*I22
      T2=1.0D
      IF (Z0.EQ.1)T2=Z0*Z0
      CA11=IC11+Z0*Z0*S011+I11+U11+Z0*Z0*S011+I12
      CA12=IC12+Z0*Z0*S012+I12+U12+Z0*Z0*S012+I11
      CA21=IC21+Z0*Z0*S021+I21+U21+Z0*Z0*S021+I22
      CA22=IC22+Z0*Z0*S022+I22+U22+Z0*Z0*S022+I21
      LUZ=0.0D+I11+I22+Z0*Z0
      MH11= UH11+Z0*CA11+UH21*CA21
      MH12= UH12+Z0*CA12+UH21*CA22
      MH21= UH21+Z0*CA11+UH22*CA21
      MH22= UH22+Z0*CA12+UH22*CA22
      MH11=Z0*LUZ+MH11
      MH22=Z0*LUZ

```

```

MH21=MH21*ACCLZ
MH22=MH22*ALLLZ*DU
UU 10 1=1,AP
U=AI11
TH=1.00
IF 11.01.N)TH=0.00
CA11=FI*IC11*U*Z*5*AA11)*I2*(C11*U*Z*5*AA11)
CA12=FI*IC12*U*Z*5*AA12)*I2*(C12*U*Z*5*AA12)
CA21=FI*IC21*U*Z *AA21)*I2*(C12*U*Z *AA21)
CA22=FI*IC22*U*Z *AA22)*I2*(C22*U*Z *AA22)
M2=H(1)/(C-Z)*Z
MH11=MH11)*I1*(MA11(1))*I2
MH12=MH12)*I1*(MA12(1))*I2
MH21=MH21)*I1*(MA21(1))*I2
MH22=MH22)*I1*(MA22(1))*I2
MH11=MH11)*I1*(H*CA11+MH21*CA21-MZ11)*wZ
MH12=MH12)*I1*(H*CA12+MH21*CA22-MZ12)*wZ
MH21=MH21)*I1*(H*CA11+MH22*CA21-MZ21)*wZ
10 MH22=MH22)*I1*(H*CA12+MH22*CA22-MZ22)*wZ
UM11=UAD*H11*(MH11)
UM12=UAD*H12*(MH12)
UM21=UAD*H21*(MH21)
UM22=UAD*H22*(MH22)
wZ=I2*(C11*U*Z*5*AA11+MH11+MH12+DM11+UM12+LM21+LM22+MH21+MH22+
10MH21+UM22)
11 FOR MATRICE,7L15.3,7254,6U15.3,7)
RETURN
20 I=I*U-1
FI=IC
P(I) =A1.00
LM11=J.00
LM12=J.00
LM21=J.00
LM22=J.00
MH11=I.00/FI
MH12=J.00
MH21=J.00
MH22=I.00/FI
UU 10 1=1,AP
U=AI11
TH=1.00
IF 11.01.N)TH=0.00
CALL CA*CA*IC
LM11=FI*IC11*U*Z*LM11)
LM12=FI*IC12*U*Z*LM12)
LM21=FI*IC21*U*Z*LM21)
LM22=FI*IC22*U*Z*LM22)
MH11=FI*H11(1)*I2*(MA11(1))
MH12=FI*H12(1)*I2*(MA12(1))
MH21=FI*H21(1)*I2*(MA21(1))
MH22=FI*H22(1)*I2*(MA22(1))
U) 22 11=1,IC
24 PUI1(1)=M(C11)*U
LM12=LM12*(MH11+LM12+MH21+LM21)*PUI1(1)*wZ
LM12=LM12*(MH11+LM12+MH21+LM21)*PUI1(1)*wZ
LM21=LM21*(MH11+LM12+MH21+LM21)*PUI1(1)*wZ
LM22=LM22*(MH12+LM12+MH22+LM22)*PUI1(1)*wZ

```



```

HLA1(111)=GLA11
HLA2(111)=GLA12
HLA(1111)=GLA21
HLA22(111)=GLA22
RETURN
END
SUBROUTINE SLUZZ1(XX,YY,ZZ)
C**** CALCULO DO PRODUTO OMEGA-ADJUNTA DO OMEGA ****
C IF 11=0, CALCULA OMEGA-ADJUNTA(11)
C IF 12=0, CALCULA OMEGA(12)
IF 11.EQ.0.GO TO 12
  OHA11=OHA11(11)
  OHA12=OHA12(11)
  OHA21=OHA21(11)
  OHA22=OHA22(11)
  OLA11=OLA11(11)
  OLA12=OLA12(11)
  OPA11=OPA11(11)
  OPA22=OPA22(11)
  GO TO 14
12 CALL SUBZ1(YY,ZZ)
14 IF 12.EQ.0.GO TO 16
  OMI1=OMI1(12)
  OMI2=OMI2(12)
  OMI3=OMI3(12)
  OMI4=OMI4(12)
  OMI5=OMI5(12)
  OMI6=OMI6(12)
  OMI7=OMI7(12)
  OMI8=OMI8(12)
  GO TO 16
16 CALL SUBZ2(YY,ZZ)
18 OLI1=OLI1(11) OLI2=OLI2(11)
  OLI3=OLI3(11) OLI4=OLI4(11)
  OLI5=OLI5(11) OLI6=OLI6(11)
  OLI7=OLI7(11) OLI8=OLI8(11)
  OLI9=OLI9(11) OLI10=OLI10(11)
  OLI11=OLI11(11) OLI12=OLI12(11)
  OLI13=OLI13(11) OLI14=OLI14(11)
  OLI15=OLI15(11) OLI16=OLI16(11)
  OLI17=OLI17(11) OLI18=OLI18(11)
  OLI19=OLI19(11) OLI20=OLI20(11)
  OLI21=OLI21(11) OLI22=OLI22(11)
  OLI23=OLI23(11) OLI24=OLI24(11)
  OLI25=OLI25(11) OLI26=OLI26(11)
  OLI27=OLI27(11) OLI28=OLI28(11)
  OLI29=OLI29(11) OLI30=OLI30(11)
  OLI31=OLI31(11) OLI32=OLI32(11)
  OLI33=OLI33(11) OLI34=OLI34(11)
  OLI35=OLI35(11) OLI36=OLI36(11)
  OLI37=OLI37(11) OLI38=OLI38(11)
  OLI39=OLI39(11) OLI40=OLI40(11)
  OLI41=OLI41(11) OLI42=OLI42(11)
  OLI43=OLI43(11) OLI44=OLI44(11)
  OLI45=OLI45(11) OLI46=OLI46(11)
  OLI47=OLI47(11) OLI48=OLI48(11)
  OLI49=OLI49(11) OLI50=OLI50(11)
  OLI51=OLI51(11) OLI52=OLI52(11)
  OLI53=OLI53(11) OLI54=OLI54(11)
  OLI55=OLI55(11) OLI56=OLI56(11)
  OLI57=OLI57(11) OLI58=OLI58(11)
  OLI59=OLI59(11) OLI60=OLI60(11)
  OLI61=OLI61(11) OLI62=OLI62(11)
  OLI63=OLI63(11) OLI64=OLI64(11)
  OLI65=OLI65(11) OLI66=OLI66(11)
  OLI67=OLI67(11) OLI68=OLI68(11)
  OLI69=OLI69(11) OLI70=OLI70(11)
  OLI71=OLI71(11) OLI72=OLI72(11)
  OLI73=OLI73(11) OLI74=OLI74(11)
  OLI75=OLI75(11) OLI76=OLI76(11)
  OLI77=OLI77(11) OLI78=OLI78(11)
  OLI79=OLI79(11) OLI80=OLI80(11)
  OLI81=OLI81(11) OLI82=OLI82(11)
  OLI83=OLI83(11) OLI84=OLI84(11)
  OLI85=OLI85(11) OLI86=OLI86(11)
  OLI87=OLI87(11) OLI88=OLI88(11)
  OLI89=OLI89(11) OLI90=OLI90(11)
  OLI91=OLI91(11) OLI92=OLI92(11)
  OLI93=OLI93(11) OLI94=OLI94(11)
  OLI95=OLI95(11) OLI96=OLI96(11)
  OLI97=OLI97(11) OLI98=OLI98(11)
  OLI99=OLI99(11) OLI100=OLI100(11)
  RETURN
END
SUBROUTINE UPGRI(IG)
C**** FICHA DAS CALCULOS DE CONTINHO ****
C CALCULO DO PIMENTO DE ORDEN IC
DIMENSION PSU(20),PSI(20)
PSU(1)=1.00
PSI(1)=1.00

```

```

SRZ=0000
DD 20 11=1,AP
Z=70111
CALL LAMBDAZ1
DD 20 12=1,2
TH=1,00
IF 112=0,21111=1,00
IF 111=0,1,AND,12,0,2100 TO 20
S1=0,00
S2=0,00
S3=0,00
S4=0,00
DD 10 13=1,AP
U=AT111
UU=0,010
S1=S1+0,111+TH*0,0,0111/15*Z-TH*0,000,0111
S2=S2+0,112+TH*0,0,012/15*Z-TH*0,000,0111
S3=S3+0,113+TH*0,0,013/15*Z-TH*0,000,0111
S4=S4+0,114+TH*0,0,014/15*Z-TH*0,000,0111
10 IF 112=0,2111 TO 14
SR1=SR1+0,0111*Z*0,1011*52-LMU12*0,511
SR2=SR2+0,0111*Z*0,1011*54-LMU12*0,531
DD 10 20
12 S11=-Z*0,1011*52-LMU12*0,511
S12=-Z*0,1011*54-LMU12*0,531
20 CONTINUE
DD 40 1=1,AP
U=AT11
CALL LAMBDAZ1
IF 110=0,2111 TO 33
DD 32 11=1,10
P01=11*11*0,0111*0,500
32 P0111=11*0,0111*0,0
33 P01=P0110+1,000015*0,11,00-5*0,0
P02=P01*0,0
P03=P0110+1,000010,11,00-0,11
P04=P03*0,0
IF 110=0,2111 TO 36
DD 34 11=1,10
P1=11
P01=P01-P0110*0,1-11/2,1
P02=P02-P0110*0,2-11/2,1
P03=P03-P0110*0,1-11/2,1
34 P04=P04-P0110*0,2-11/2,1
36 P110=1
P02=P02-1,000,1
P04=P04-1,000,1
SR1=SR1+0,0111*0,0111*0,01+0,0111*0,021*0,5011*0,11*0,0111*0,0111
SR2=SR2+0,0111*0,0111*0,021*0,01+0,021*0,5011*0,11*0,0111*0,0111
SR3=SR3+0,0111*0,0111*0,022*0,01+0,022*0,041*0,5011*0,11*0,0111*0,0111
40 CONTINUE
DD 50 1=1,AP
U=AT111
CALL LAMBDAZ1
IF 110=0,2111 TO 43
DD 42 11=1,10

```

```

      F01=F1*(1+PSU(11)*S0
42  PS1(11)*F1*(11)*U
43  F01=PS1(11)*100LOG(S0/(S0-1.00))
      F02=F01*S0
      F03=PS1(11)*100LOG(1/(1.00-U))
      F04=F03*S0
      F1(11)=0.0100 TL 40
      U1=94.11*(11)
      F1=11
      F01=F01-PSU(11)*1-111/F1
      F02=F02-PSU(11)*2-111/F1
      F03=F03-PSU(11)*1-111/F1
44  F04=F04-PSU(11)*2-111/F1
40  F1=10+1
      F02=F02-1.00/F1
      F04=F04-1.00/F1
      SK1=SK1+CA(11)*0.01*(LM011*0.12-LM012*0.11)*F01
1   0.01*(LM011*0.12-LM012*0.11)*F02*(N+1)
      SK2=SK2+CA(11)*0.01*(LM011*0.22-LM012*0.21)*F03
1   0.01*(LM011*0.22-LM012*0.21)*F04*(N+1)
2   W1*(N+1)
50  CONTINUE
      U1=UBAGS1*(1-SK1)
      U1=UBAGS2*(1-SK2)
      W1(11)=0.01*(U1+SK1+U1F1+SU2+SM2+G1F2)
51  F04=AT(11)*S0*(1.00+U1)
      RETURN
      END
      SUBROUTINE DOSEFLUR(FLUAM1,FLUAM2,FLUAM3,FLUAM4,FLUAM5)
0000  CALL DOSEFLUR(FLUAM1,FLUAM2,FLUAM3,FLUAM4,FLUAM5)
      CAP=CAP*(-1/200000)
      DO 10  I=1,200000
      DO 10  J=1,200000
      F1(11)=0.0100 TL 20
      U1=94.11*(11)
      F1=11
      F01=F01-PSU(11)*1-111/F1
      F02=F02-PSU(11)*2-111/F1
      F03=F03-PSU(11)*1-111/F1
      F04=F04-PSU(11)*2-111/F1
      SK1=SK1+CA(11)*0.01*(LM011*0.12-LM012*0.11)*F01
1   0.01*(LM011*0.12-LM012*0.11)*F02*(N+1)
      SK2=SK2+CA(11)*0.01*(LM011*0.22-LM012*0.21)*F03
1   0.01*(LM011*0.22-LM012*0.21)*F04*(N+1)
2   W1*(N+1)
      RETURN
      END
      SUBROUTINE DOSEFLUR(FLUAM1,FLUAM2,FLUAM3,FLUAM4,FLUAM5)
0000  CALL DOSEFLUR(FLUAM1,FLUAM2,FLUAM3,FLUAM4,FLUAM5)
      Z=1-A-DISTAN(1A,DU,1-D-ANGUL)
0000  F1(11)=0.0100 TL 20
      U1=94.11*(11)
      F1=11
      F01=F01-PSU(11)*1-111/F1
      F02=F02-PSU(11)*2-111/F1
      F03=F03-PSU(11)*1-111/F1
      F04=F04-PSU(11)*2-111/F1
      SK1=SK1+CA(11)*0.01*(LM011*0.12-LM012*0.11)*F01
1   0.01*(LM011*0.12-LM012*0.11)*F02*(N+1)
      SK2=SK2+CA(11)*0.01*(LM011*0.22-LM012*0.21)*F03
1   0.01*(LM011*0.22-LM012*0.21)*F04*(N+1)
2   W1*(N+1)
      RETURN
      END

```

```

IF100-LE.EPSIGU TO 10
FLUX1=Z1/15*Z1*U0)*ILMU11*IC12-Z1*U0*A12)-LMU12*IC11-Z1*U0*A11)
1 /UCAP(-Z/Z1)
FLUX2=Z1/15 *Z1*U0)*ILMU11*IC22-Z1*U0*A22)-LMU12*(IC21-Z1*U0*A21)
1 /UCAP(-Z/Z1)
IF100-LE.EPS.ANU.1.EU.1)WRITE(6,11)Z,U0,FLUX1,FLUX2
11 FURMATECX,Z7,Z2,ZF15,10)
10 FLUX1=Z1/15*Z1*U0)*ILMU11*IC12+Z1*U0*A12)-LMU12*IC11+Z1*U0*A11)
1 /UCAP(-Z/Z1)OLCA11)*FLUX1
FLUX2=Z1/15 *Z1*U0)*ILMU11*IC22+Z1*U0*A22)-LMU12*(IC21+Z1*U0*A21)
1 /UCAP(-Z/Z1)OLCA11)*FLUX2
20 CONTINUE
IF100-LE.EPSIGU TO 22
C0000 CONTINUUM,FLUX1,REGION 1,U0,GT,0 000
C0000 REGULARIZACAO 000000
US=U0/5
CALL VECTICS,C)
J1=NM+1
CALL SUB (LS,ZU(1),C,J1)
CALL FURMATECX(U0)
A15=(SV11*SC11+SV12*SU21)*U11)+(SV11*SU12+SV12*SU22)*U21)
A25=(SV21*SU11+SV22*SU21)*U11)+(SV21*SU12+SV22*SU22)*U21)
A15=A15*LS*ZU(11)/LS*ZU(11)/CHZ
A25=A25*LS*ZU(11)/LS*ZU(11)/CHZ
FU1=US*A15*IC11+US*A11*UCAP(-Z/US)
FU2=US*A25*IC12+US*A12*UCAP(-Z/US)
GU TO 22
22 FU1=U0*U0
FU2=U0*U0
24 SUM1=U0*U0
SUM2=U0*U0
DO 40 I=1,N
U=U(1)
EAU=UCAP(-Z/L)
SUM1=SUM1*(OLCA11)*IC11+U0*U0*A11)*EAU-FU1/15*U-U0)*U11)
40 SUM2=SUM2*(OLCA11)*IC12+U0*U0*A12)*EAU-FU2/15*U-U0)*U11)
IF100-LE.EPSIGU TO 41
FLUX1=FLUX1+SUM1*SU2*(FU1+FU2)*OLCA11*(U-U0)/U0/5
CALL LA4UBA(LS)
EAU=UCAP(-Z/L5)
FLUX1=FLUX1+A15*LMU11*EAU/5+A25*LMU12*EAU/5
GU TO 42
41 FLUX1=FLUX1+SUM1*SU2
42 SUM1=U0*U0
C0000 FLUX1,REG1AU2
DO 50 I=1,N
U=U(1)
50 SUM1=SUM1*OLCA11*U/15*U-U0)*IC11+U0*U0*A11)*EAU+111)
1 *IC12+U0*U0*A12)*U2211)
2 /UCAP(-Z/L)EAU)
FLUX1=FLUX1+SUM1
C0000 FIM UO FLUX1
C0000 FLUX1,REG1AU 1,REGULARIZACAO 000
IF100-LE.EPS.ANU.U0,GT,5) GU TO 51
CALL VECTICS,U,0)
J1=NM+1
CALL SUB (LU,ZU(1),0,J1)

```

```

CALL FINTM(CO,CO)
CALL LAMUO(1,0)
A15=(SV11*SV11+SV12*SV21)*U1111+(SV11*SV12+SV12*SV22)*U2111
A25=(SV21*SV21+SV22*SV22)*U1111+(SV21*SV22+SV22*SV22)*U2111
A15A=-A15*U1111/(U1111+U2111)/CNZ
A25A=-A25*U1111/(U1111+U2111)/CNZ
FUI=U1111*A15+(U2111*U1111)*OEXPI-Z/U11
FUZ=U1111*A25+(U2111*U1111)*OEXPI-Z/U11
UU TU 5J
51 FUI=0.00
FUZ=0.00
5J SUM1=0.00
SUM2=0.00
DU 24 I=1,N
U=1111
OEXPI=OEXPI-Z/L1
SUM1=SUM1+(U*OEXPI11)*(L21*U*U*OEXPI11)*OEXPI-FUI)/(U-U1111)
52 SUM2=SUM2+(U*OEXPI21)*(L22*U*U*OEXPI21)*OEXPI-FUZ)/(U-U1111)
IF(UO.LT.EPS).UM.UO.GT.S1) GO TO 55
FLUXZ=FLUXZ+SUM1*SU22+FU1*FU21*OEXPI11*(U-U1111)
I OEXPI11=OEXPI11*(L21*U*U*OEXPI11)*OEXPI-FUI)/(U-U1111)
UU TU 5U
55 FLUXZ=FLUXZ+SUM1*SU22
C0000 FLUXU Z,MEVIAU Z,0000
56 EPS1=1.00-EPS
IF(UO.LT.EPS).UM.UO.GT.EPS1) GO TO 58
CALL VET(UL,UG)
J1=1
CALL SUO(UL,ZL11),G,J1)
CALL FUM(UL,U,0)
CALL LAMUO(1,0)
U1111=U1111
A15=(SUA1*SV11+SUA2*SV21)*U1111+(SUA1*SV12+SUA2*SV22)*U2111
A15A=-A15*U1111/(U1111+U2111)/CNZ
FUI=U1111*A15+(U2111*U1111)*OEXPI-Z/U11
UU TU 6U
58 FUI=0.00
6U SUM1=0.00
UU 74 I=1,M
U=X(I)
74 SUM1=SUM1+(L1A1111)*OEXPI11*(L21*U*U*OEXPI11)*OEXPI-FUI)/(U-U1111)
I OEXPI11=OEXPI11*(L21*U*U*OEXPI11)*OEXPI-FUI)/(U-U1111)
FLUXZ=FLUXZ+SUM1
IF(UO.LT.EPS).UM.UO.GT.EPS1) RETURN
FLUXZ=FLUXZ+FUI*OEXPI11*(U-U1111)/(U-U1111)*A15*OEXPI-Z/U11
RETURN
END
SUBROUTINE LAMUO(Z,CUM1,CUM2)
C0000 CALLUO DA DISTRIUUI(CU DA LUMMEATE0000
OEXPI=OEXPI-Z/L1111)
CUM1=ZU1111*(OEXPI11)*OEXPI-1.00/OEXPI*(OEXPI1111)*OEXPI1111
CUM2=ZU1111*(OEXPI21)*OEXPI-1.00/OEXPI*(OEXPI2111)*OEXPI2111
IF(XP.EU.1166 TO ZL
UU 10 I=2,MP
OEXPI=OEXPI-Z/L1111)
CUM1=CUM1+OEXPI11*(OEXPI1111)*OEXPI1111*(OEXPI1111)*OEXPI
10 CUM2=CUM2+OEXPI21*(OEXPI2111)*OEXPI2111*(OEXPI2111)*OEXPI

```

```

20 GO 22 1=1,N
   U=1111
   EAU=DCAP1-276)
   LUN1=LUN1+LUN1*CA1111*G11*CA2111*G121)*EXU*(N+1)
24 LUN2=LUN2+LUN2*CA1111*G21*CA2111*G221)*EXU*(N+1)
   DU 24 1=1,P
   U=(N+1)
   EAU=DCAP1-276)
   LUN1=LUN1+CA2111*G11*G12111)*G12*G22111)*EXU*(N+1)
24 LUN2=LUN2+CA2111*G21*G121111)*G22*G221111)*EXU*(N+1)
   RETURN
   END
SUBROUTINE CPELR2
C     CALCULO DOS COEFICIENTES CONTINUOS, EN 0, 1/5, E 1 PARA PROBLEMA
C     DE MILNE
   WRITE(6,11)
11  FORMAT(10A,'TESTE DAS INTEGRALS DE NORMALIZACAO, REGIAO 1',/)
   DU 20 1=1,N
   U=1111
   LUN=0*V111111)*V221111)*V121111)*V211111)
   LUN=0*AH1111N2-UN1111)
20  WRITE(6,21)CNZ,UN11,LCN
21  FORMAT(15A,2G15.3)
C     COEFICIENTE EM C
   AL10=-LC11*P1111*(N+1)*G12*AH2111*(N+1)*G1111)
1   -LC11*P1111*(N+1)*G12*AH2111*(N+1)*G2111)
   AL20=-LC21*P1111*(N+1)*G22*AH1111*(N+1)*G1111)
1   -LC21*P1111*(N+1)*G22*AH2111*(N+1)*G2111)
   WRITE(6,31)AL10,AL20
20  FORMAT(10A,'A1111',AL10),/205,15)
C     COEFICIENTE EM 1/5
   CALL CALCOA151)
   PZ=PI*P1051051
   CNZ= DE A11*LEL11*ILPA21*LMU22*PZ*(DE A12*LEL12*DE A22*DE L221)
1   +DE A12*LEL12*ILPA21*LMU21*PZ*(DE A11*LEL11*DE A21*DE L211)
2   -DE A11*LEL11*ILPA21*LMU21*PZ*(DE A12*LEL11*DE A22*DE L211)
3   -DE A12*LEL11*ILPA21*LMU22*PZ*(DE A11*LEL12*DE A21*DE L221)
   AL11= DE A12*LEL12/CNZ
   AL12= DE A11*LEL11/CNZ
   AL21= DE A11*LEL11/LA7
   AL22= DE A11*LEL11/CNZ
   IZ=0*0)
   CALL SOLISE,201),C,I2)
   DU1=SU11*G1111)*SU12*G211)
   DU2=SU21*G1111)*SU22*G211)
   A15=- 2011/151)*201111)*AL11*G111)*AL12*G11)
   A25=- 2011/151)*201111)*AL21*G111)*AL22*G11)
   WRITE(6,31)A15,A25
31  FORMAT(10A,'A1111/5), AL211/5),/205,15)
   RETURN
   END
C***** PHIGRAPH: PH1,CALCULO DOS ALTO-VALORES *****
C     IMPLICIT = ALPH (A=0,0-V,X,Y), INTEGER(1)=N1, COMPLEX(10) (M,N,2)
C     COMMON/SUBR1/SE1,S,P1,AL1,A12,A21,A22,B11,B22,B12,B21,C11,C22,C12,C
C     21,C1A
C     DIMENSION T(100), L(100), Y(1,100), Y1(1), Z(1,1), PP(12)
C     OUT, PP(12)

```

```

PIY)=DLG6(UABS((1.00*Y)/(1.00-Y)))/2.00
ZJ=DCMPLX(10.00,1.00)
C
VAIAVEIS
N=20
M1=3
M2=4
M3=M1+1
M=M1*M2
M2=N/2
PI=3.14159265358979320
AL=0
C
INPUT
REALD,10CG(11(N2+1),U(N2+1),1=1,N2)
1000 FORMAT(2F20.15)
WRITE(10,101C)
1010 FORMAT(10X,'AGS ',ZJ,'PESOS ',//)
WRITE(10,1011)(I(N2+1),U(N2+1),1=1,N2)
1011 FORMAT(10A,2F20.15)
DO 12 K=1,N2
T(K)=-T(N+1-K)
12 U(K)=U(N+1-K)
REALD,10C25(1PP(1),1=1,20)
REALD,10C25(1PP(1),1=1,20)
1025 FORMAT(2G20.2)
90 REALD,10C11(S1,S2,S11,S12,S21,S22)
1001 FORMAT(0F0.4)
S=S1/S2
S1=1.00/S
WRITE(10,1012)S1,S2,S11,S12,S21,S22,S,S1
1012 FORMAT(10X,'DATA SET S1,S2,S11,S12,S21,S22,S,S1',//,10X,0F10.5)
C
SUB=10TEMVALS
X(1)=0.00
X(2)=0.00
X(3)=1.00/2-C.0100
X(4)=1.00/S
X(5)=0.0000
X(6)=0.0000
X(7)=0.0000
X(8)=1.00
DO 20 J=1,N
DO 20 J=1,N
20 Y(J)=(X(1)+1)-X(1))/2.00*(J)+(X(1)+1)+X(1))/2.00
WRITE(10,1013)
1013 FORMAT(10X,'TESTE DA QUADRATURA')
DO 10 I=1,16
I=I-1
SUM=0.00
DO 21 J=1,N
DO 21 K=1,A
21 SUM=SUM+(X(I*J)-X(J))/2.00*(J,K)+X(I*J)
10 WRITE(10,1014)I,SUM
1014 FORMAT(10X,15F25.15)
*****LIMANLUS DE DEFINIÇÃO DA MATRIZ C,VER NO OUTRO PROGRAMA*****
DO 100 IPP=1,20
Y1=PP1(IPP)
Y2=PP2(IPP)
WRITE(10,1020)

```

```

1020 FURMATI / /, 1CR, 126(11*))
      WRITE(10, 101) P1, P2
1013 FURMATI / 15A, *P1=*, FIC.5, /, 15A, *P2=*, F10.5)
C*****CUMANDOS DE LL*INICIAO DA MATRIZ B, VEM NO OUTRO PROGRAMA*****
C*****CUMANDOS DE DEFINICAO DA MATRIZ A, VEM NO OUTRO PROGRAMA*****
C      CALLULO LA INTEGRAL
      WRITE(10, 1002)
1002 FURMATI / CR, *RYU=*, 10R, *SIXI*, 11R, *NIXI*, 11R, *THETA*, /)
      SUM1=0.0C
      SUM2=0.0C
      TH=0.00
      THEFAZ=0.0C
      DO 30 I=1, P
      DO 30 J=1, A
      A=Y(I, J)
      P1L=A11+A22+2.0C*A0E1
      P2L=L11+L22+2.0C*L11*A22-2.0C*L12*A21+2.0C*L21*A12+2.0C*L22*A11
      P3L=L22+L11+2.0C*L22*A11-2.0C*L21*A12+2.0C*L21*A12+2.0C*L22*A11
      P4L=L11+L22+2.0C*L11*A22-L12*A21-2.0C*L21*A12+2.0C*L21*A12+2.0C*L22*A11
      THEFAZ=1.0C
      IF (A(1, 5)) THEFAZ=L.0C
      SA=P1*A0+P2*L0+THEFAZ*P3L-2.0C*P4L*OF(TIX)*THEFAZ-2.0C*P4L*
      I = TIX*J)
      AX=1.0C+2.0C*L22*J*P1L-2.0C*P4L*OF(TIX*J)-2.0C*P4L*OF(TIX*J)+6.0C*J*
      I = P4L*OF(TIX*J)*OF(TIX)-P1*P1*EJ*P4L*THEFAZ
      EJ=AXA
      THEFAZ=ATAN2(SX, MY)
      IF (THEFAZ-THEFAZ.LT.-5.0C) TH=TH+1.0C
      IF (THEFAZ-THEFAZ.GT.5.0C) TH=TH-1.0C
      THEFAZ=THEFAZ
      THEFAZ=THEFAZ+2.0C*TH*PI
      SUM1=SUM1+(AXI*PI)-N1(1))/2.0C*THEFAZ*(I*J+1.0C)*PI*J)
      SUM2=SUM2+(AXI*PI)-N1(1))/2.0C*THEFAZ*(I*J+1.0C)*PI*J)
30      WRITE(10, 1003) A, SA, HA, THEFAZ
1003 FURMATI / 5A, *E15.5)
      WRITE(10, 1004) SUP1, SUP2
1004 FURMATI / 10A, *INTEGRAL=*, D20.15, 10X, L.0, 15)
      ZMI=ZLIZJ)
      NMI=ZMI
      WRITE(10, 1017) ZMI
1017 FURMATI / 10A, *LAPUUA(1)=*, D20.5)
      NMI=ZMI-2.0C*(L11+A11/3.0C/5)/5)*11.0C-2.0C*(L22+A22/3.0C)
      I = (2.0C*(L12+A12/3.0C/5)/5)*11.0C*(L21+A21/3.0C)
      WRITE(10, 1005) NMI, NMI=
1005 FURMATI / 10A, *LAPUUA(1)=*, D20.15, //, 10X, *LAMBDA(1NF)=*, L.0, 15)
C      TESTE DE KAPPA, NUMERO DE AUTO-VALORES
      IF (NLA.LL.P1) GO TO 40
      IF (NLA.LL-2.0C*PI) GO TO 30
      WRITE(10, 1016)
1016 FURMATI / 10A, *KAPPA PAIOM DO LUE 2*)
      GO TO 10C
      40 (NYI)=1.0C+2.0C*DEAPI-2.0C/PI*SUM1*ONMI/RMI*
      KPI=1
      WRITE(10, 1018)
1018 FURMATI / 10X, *NYL=1 GUADADO=*, D20.15)
      (NYI)=1056N1(NYI)
      WRITE(10, 1001)

```

```

1007 FORMAT(/OJ,'AUTO-VALGR DISCRETG',ZD26.15)
GO TO 43
DO UEL=4.00*DEL*PI-2.00/PI*SUM1/ORMI/RMINF
UEL2=25.00*UEXP1-2.00/PI*SUM2/ORMI/RPINF
NY=3.00*DEL1-DEL2//3.00
SY=4.00*PI*4.00*DEL1-DEL2//3.00
UEL=NY*NY-4.00*SY
IF(UEL.GT.0.00) GO TO 52
WRITE(6,IC49)
1029 FORMAT(/OJ,'MAIZES COMPLEXAS')
GO TO 100
22 NY=2
ZNY11=(NY-0.5*DEL1)/2.00
ZNY12=(NY+0.5*DEL1)/2.00
WRITE(6,IC50)ZNY11,ZNY12
1030 FORMAT(/OJ,'NYU-1 QUADRADU',ZD26.15//,IOX,'NYU-2 QUADRADU',
1 ZD26.15)
ZNY11=0.5*DEL1/ZNY11)
ZNY12=0.5*DEL1/ZNY12)
WRITE(6,IC51)ZNY11,ZNY12
1031 FORMAT(/OJ,'ALTO-VALGHE DISCRETG',ZD26.15//,IOX,ZD26.15)
ITERAÇÃO PARA REFINAR AS MAIZES E TESTAR OS RESULTADOS
23 WRITE(6,IOZ1)NP
1021 FORMAT(/OJ,'KAPPA',I2)
EP=1.0-13
NN=3
OU 1 11=1,NP
IT=1
Z=(NY11)
M=(ZL12)
M2=(ZL12)
WRITE(6,IC22)11,M,M2
1022 FORMAT(/OJ,'EM NYU-',I1//,IOX,'LAMBDA',ZD26.15//,IOX,'DUMIYUA
1 UE LAMBUA',ZD26.15)
2 ZPAM=ZL12)
ZPLA=ZPL12)
IF(1.0001ZPLA).LT.EPS) GO TO 3
GO TO 4
3 Z=Z*1.0-C3
GO TO 2
4 Z1=Z-ZPAM/ZPLA
WRITE(6,IOZ2)11
1020 FORMAT(/OJ,'ITERAÇÃO',I3)
OU 2 11=1,C
EP1=1.0-C3*1.0-0200(11-1)
ZL1=ZL1/Z1*EP1)
ZL2=ZL1/Z1*2J*EP1)
ZL3=ZL1/Z1-EP1)
ZL4=ZL1/Z1-2J*EP1)
2 WRITE(6,IC23)Z1,EP1,ZL1,ZL2,ZL3,ZL4
1023 FORMAT(/OJ,'TESTE DAS ITERAÇÕES',ZD26.15//,IOX,'I=1',I1.2,
1 /IC2,ZD26.2)
IF(1.0001(Z1-Z).LT.EPS) GO TO 7
Z=Z1
IT=IT+1
IF(IT.LT.NN) GO TO 2
WRITE(6,IC15)

```

```

1049 FURMATI/10X,'ITERAÇÃO FALHOU')
      GO TO 106
      7  WRITE(6,1020)II,ZI
1020 FURMATI/10X,'MAIZ CONVERGENTE,I=0,12,/,10X,2U30.15)
      1  CONTINUE
100  CONTINUE
      NL=NL+1
      IF(NL-1)50,50,57
      97 CONTINUE
      STOP
      END
      FUNCTION ZL(Z)
      ZT(H)=CULOG((1.00+H)/(1.00-H))/2.00
      ZP=Z*Z
      n12=A11+A22+2.00*A*ZP
      n22=C11+(5*A11+2.00*C11+A22-2.00*C12*A21)*ZP+2.00*S*A*ZP*ZP
      n32=C22+(A22+2.00*C22*A11-2.00*C21*A12)*ZP+2.00*A*ZP*ZP
      n42=C+(5*C22*A11+C11+A22-C12*A21-S*C21*A12)*ZP+S*A*ZP*ZP
      ZL=1.00+2.00*ZP*n12-2.00*ZP*n22*ZT(1.00/S/Z)-2.00*ZP*n32*ZT(1.00/Z)
      1  +4.00*ZP*n42*ZT(1.00/S/Z)*ZT(1.00/Z)
      RETURN
      END
      FUNCTION ZFL(Z)
      ZTL(H)=1.00/(1.00-H*H)
      ZT(H)=CULOG((1.00+H)/(1.00-H))/2.00
      ZP=Z*Z
      nL1=4.00*A*Z
      nL2=(5*A11+2.00*C11+A22-2.00*C12*A21)*Z+2.00*Z+0.00*S*A*ZP*Z
      nL3=(A22+2.00*C22*A11-2.00*C21*A12)*Z+2.00*Z+8.00*A*ZP*Z
      nL4=(5*C22*A11+C11+A22-C12*A21-S*C21*A12)*Z+2.00*Z+4.00*S*A*ZP*Z
      ZFL=4.00*Z*nL2+2.00*ZP*nL1-2.00*nL2*ZT(1.00/Z)-2.00*Z*nL2*
      1  ZT(1.00/S/Z)-2.00*Z*nL3*ZT(1.00/Z)+2.00*nL3*ZT(1.00/Z)-2.00*Z*
      2  nL3*ZT(1.00/Z)-2.00*Z*nL4*ZT(1.00/Z)+4.00*Z*nL4*ZT(1.00/S/Z)*
      3  ZT(1.00/Z)+4.00*ZP*nL4*ZT(1.00/S/Z)*ZT(1.00/Z)+4.00*ZP*ZFL(5*Z
      4  )*S*ZT(1.00/Z)+4.00*ZP*nL4*ZT(1.00/S/Z)*ZL(Z)
      RETURN
      END

```

ABSTRACT

Typical half-space problems in two-group neutron transport theory are solved numerically using the singular-eigenfunction-expansion technique, considering isotropic and linearly anisotropic scattering.

Numerical results are reported for the Albedo, Milne and Constant-Source problems in a half-space pure light-water medium using isotropic scattering data set of Metcalf and Zweifel and considering various degrees of anisotropy.

REFERÊNCIAS BIBLIOGRÁFICAS

1. BOSLER, G. E. & METCALF, D. R. Critical slab solution to the two-group neutron-transport equation for linearly anisotropic scattering. *Trans. Am. nucl. Soc.*, 15(2): 913-4, Nov. 1972.
2. BURNISTON, E. E. & SIEWERT, C. E. The use of Reimann problems in solving a class of transcendental equations. *Proc. Camb. Phil. Soc.*, 73(1):111-8, Jan. 1973.
3. _____ et alii. Matrix Reimann-Hilbert problems related to neutron transport theory. *Nucl. Sci. Engng.*, 45(3):331-2, Sep. 1971.
4. _____ et alii. Steady-state solutions in two-group theory of neutron diffusion. *J. math. Phys.*, 13(10):1481-5, Oct. 1972.
5. CASE, K. M. Elementary solutions of the transport equation and their applications. *Ann. Phys.*, 9:1-23, 1960.
6. _____ et alii. *Linear transport theory*. Reading, Mass., Addison-Wesley, 1967.
7. CHANDRASEKHAR, S. *Radiative transfer*. London, Oxford University Press, b.d.l.
8. CLARK, Jr., M. & HANSEN, K. F. *Numerical methods of reactor analysis*. New York, Academic Press, 1964.
9. ISHIGURO, Y. *Two-group neutron-transport theory with linearly anisotropic scattering: half-range orthogonality and critical slab problem*. São Paulo, Instituto de Energia Atômica, ago. 1973. (IEA-306).
10. _____ et alii. *Two-group Milne Problem: a numerical study of the effect of scattering anisotropy*. São Paulo, Instituto de Energia Atômica, dez. 1974. (IEA-368).
11. JORGE, E. & ISHIGURO, Y. Two-group transport calculations with linearly anisotropic scattering. *Trans. Am. nucl. Soc.*, 22:353, Nov. 1975.
12. KAPER, H. G. Elementary solutions of the reduced three-dimensional transport equation. *J. math. Phys.*, 10(2):286-97, Feb. 1969.
13. KRIESE, J. T. & SIEWERT, C. E. An expedient method for calculating H-matrices. *Astrophys. J.*, 164:389-91, 1971.
14. _____ et alii. Two-group critical problems for slabs and spheres. *Nucl. Sci. Engng.*, 50(1):3-9, Jan. 1973.

15. LEONARD, A. & FERZIGER, J. H. Energy-dependent neutron transport theory in plane geometry. 3. Half-range completeness and half space problems. *Nucl. Sci. Engng.*, 26(2):181-91, Oct. 1966.
16. METCALF, D. R. & ZWEIFEL, P. F. Solution of the two-group neutron transport equation. I. *Nucl. Sci. Engng.*, 33(3):307-17, Sep. 1968.
17. _____ & ZWEIFEL, P. F. Solution of the two-group neutron transport equation II. *Nucl. Sci. Engng.*, 33(3):318-26, Sep. 1968.
18. PAHOR, S. Albedo and Milne's problem for thermal neutrons. *Nucl. Sci. Engng.*, 31(1):110-6, Jan. 1968.
19. _____. A new approach to half-space transport problems. *Nucl. Sci. Engng.*, 26(2):192-99, Oct. 1966.
20. _____. One-speed neutron transport in slab geometry. *Nucl. Sci. Engng.*, 29(2):248-53, Aug. 1967.
21. _____ & SHULTIS J. K. Half-space general multigroup transport theory. *J. Nucl. Energy*, 23(8):477-93, 1969.
22. REITH, R. J. & SIEWERT, C. E. Two-group neutron transport theory with anisotropic scattering. *Nucl. Sci. Engng.*, 47(1):156-62, Jan. 1972.
23. SCHNATZ, T. W. & SIEWERT, C. E. Two-group transport theory in spherical geometry. *J. math. Phys.*, 11(3):766-71, Mar. 1970.
24. SCHULTIS, J. K. Anisotropic multigroup transport theory. *Nucl. Sci. Engng.*, 38(2):83-93, Nov. 1969.
25. SIEWERT, C. E. An the half-range orthogonality theorem appropriate to the scattering of polarized light. *J. Quant. Spectrosc. Radiat. Transfer*, 12:683-94, 1972.
26. _____ & ISHIGURO, Y. Two-group neutron transport theory: half-range orthogonality, normalization integrals, applications and computation. *J. Nucl. Energy*, 26(5):251-69, 1972.
27. _____ & SHIEH, P. S. Two group transport theory. *J. Nucl. Energy*, 21(5):383-92, 1967.
28. _____ & ZWEIFEL P. F. An exact solution of equations of radioactive transfer for local thermodynamic equilibrium in the nongray case. Picket fence approximation. *Ann. Phys.*, 36(1): 61-85, Jan. 1966.
29. _____ & ZWEIFEL, P. F. Radiative transfer, II. *J. math. Phys.*, 7(11):2092-102, Nov. 1966.
30. _____ et alii. Two-group neutron-transport theory: existence and uniqueness of the H -matrix. *J. nucl. Energy*, 26(9):469-82, 1972.
31. SILVENNOINEN, P. & ZWEIFEL, P. F. On the discrete spectrum of the transport operator. *Nucl. Sci. Engng.*, 42(1):103-4, Oct. 1970.
32. _____ & ZWEIFEL, P. F. On multigroup transport theory with a degenerate transfer Kernel. *J. math. Phys.*, 13(8):1114-7, Aug. 1972.
33. YOSHIMURA, T. & KATSURAGI, S. Multigroup treatment of neutron transport in plane geometry. *Nucl. Sci. Engng.*, 33(3):297-302, Sep. 1968.

34. ZELAZNY, R. & KUSZELL, A. Two-group approach in neutron transport theory in plane geometry. *Ann. Phys.*, 16(1):81-95, Oct. 1961.



INSTITUTO DE ENERGIA ATÔMICA
Caixa Postal, 11049 - Pinheiros
CEP 05508
01000 - São Paulo - SP

Telefone: 211-6011
Endereço Telefônico - IEATOMICA
Telex - 011-23502 IENA BR